

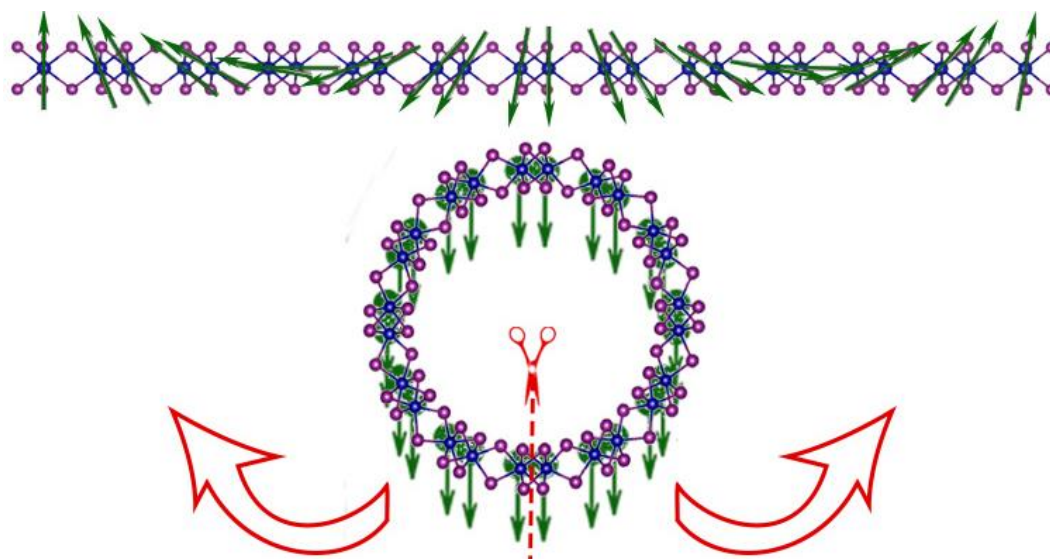


«ВСЯ МОЯ ФИЗИКА - НЕ ЧТО ИНОЕ, КАК ГЕОМЕТРИЯ»

*геометрические идеи
в физике материалов*

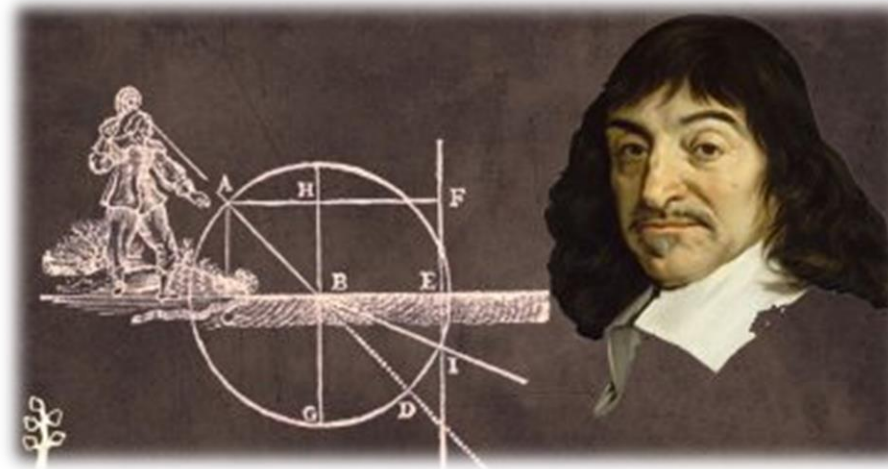
А.П. Пятаков

МГУ им. М.В. Ломоносова



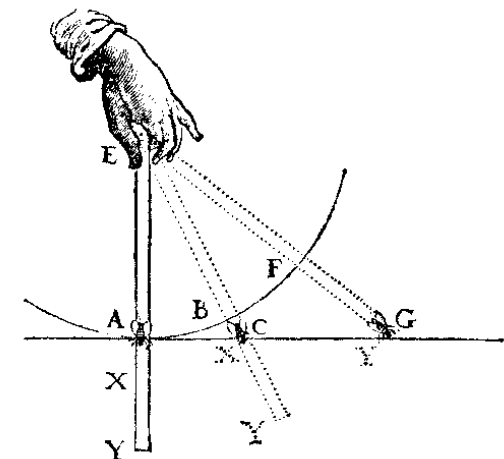
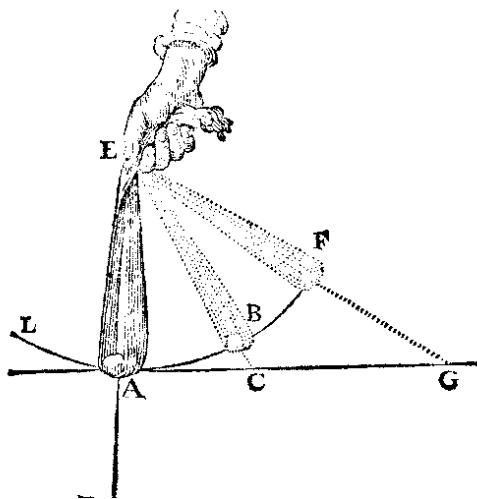


Цитата



"Toute ma Physique n'est que géométrie"

René Descartes

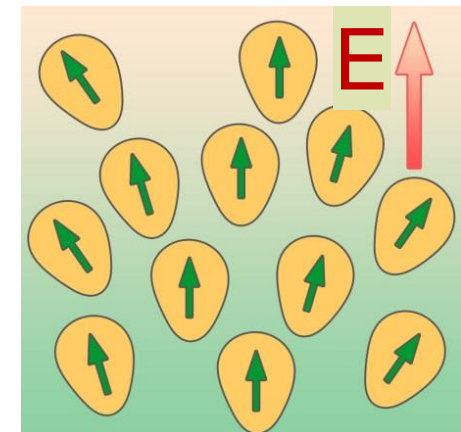




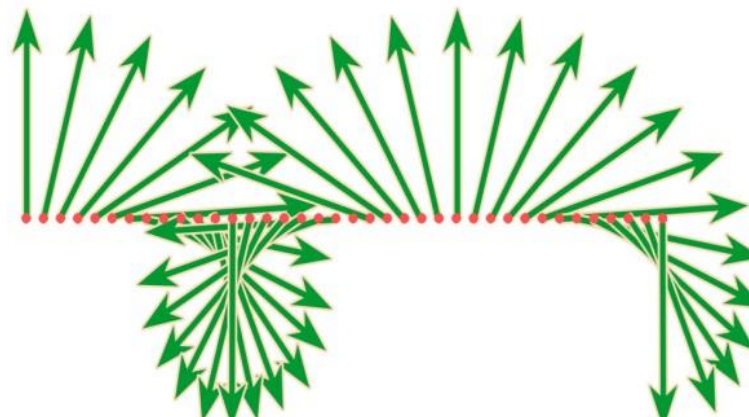
Что общего?



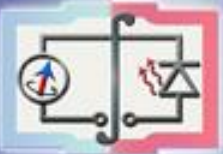
Землятрясение в Сычуани
2008



Структуры в нематических
жидких кристаллах



Магнитные спирали
в кристаллах



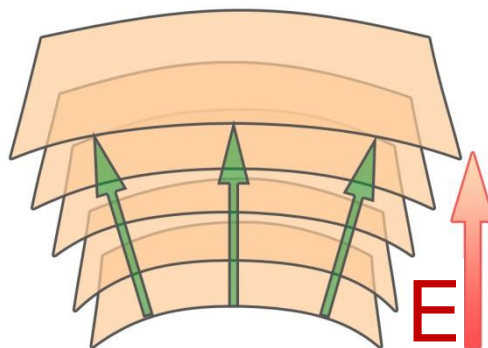
Что общего?



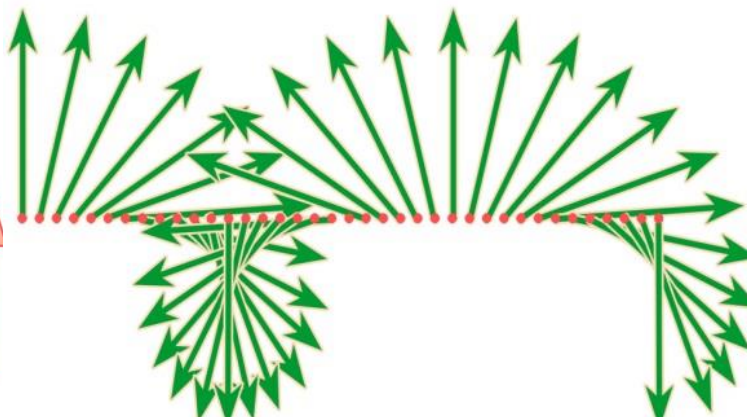
Землетрясение в Сычуани
2008



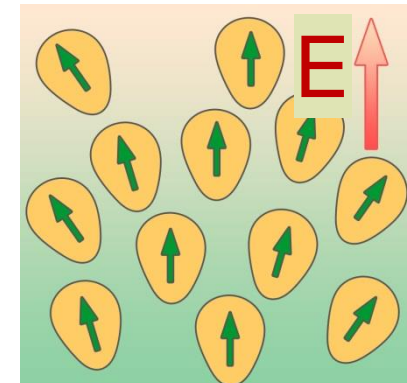
Землетрясение в Антакье 2023



Флексоэлектрический
эффект



Магнитные спирали
в кристаллах



Жидкие кристаллы



Flexibility of “flexo” semantics



to flex (stretching)



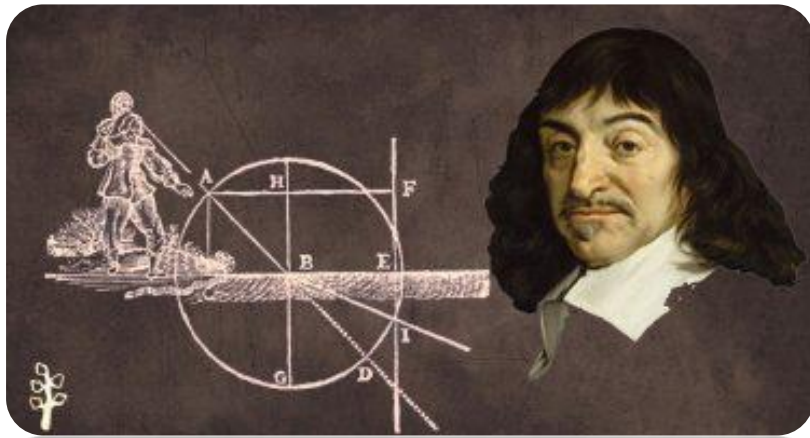
to flex (muscles)



to flex
(about smb's lifestyle)



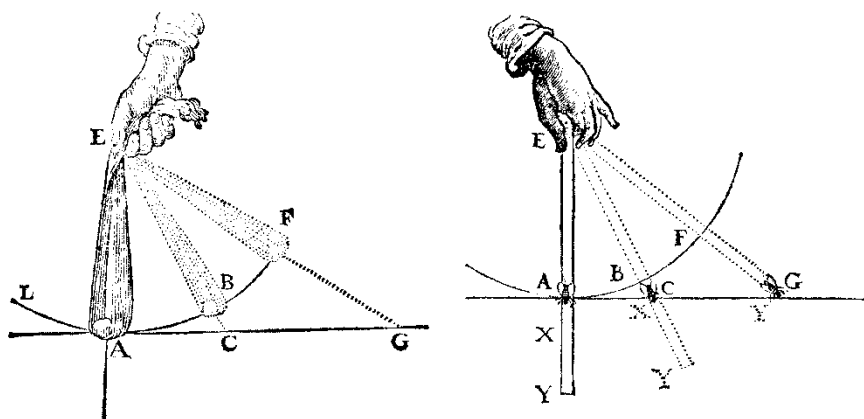
Cherchez la... dissymétrie



"Toute ma Physique n'est que géométrie"
René Descartes



*"c'est la dissymétrie
qui crée le phénomène"*
Piere Curie

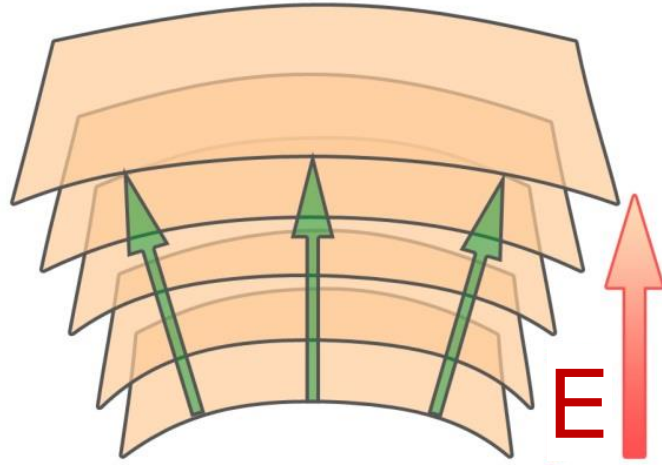


«Когда в каких-либо явлениях обнаруживается определённая диссимметрия, то эта же диссимметрия должна проявляться и в причинах, их породивших»



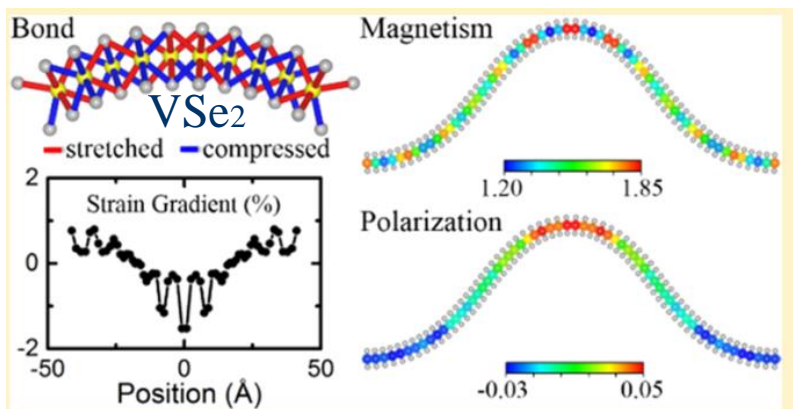
Cherchez la... dissymétrie

Флексоэлектрический эффект



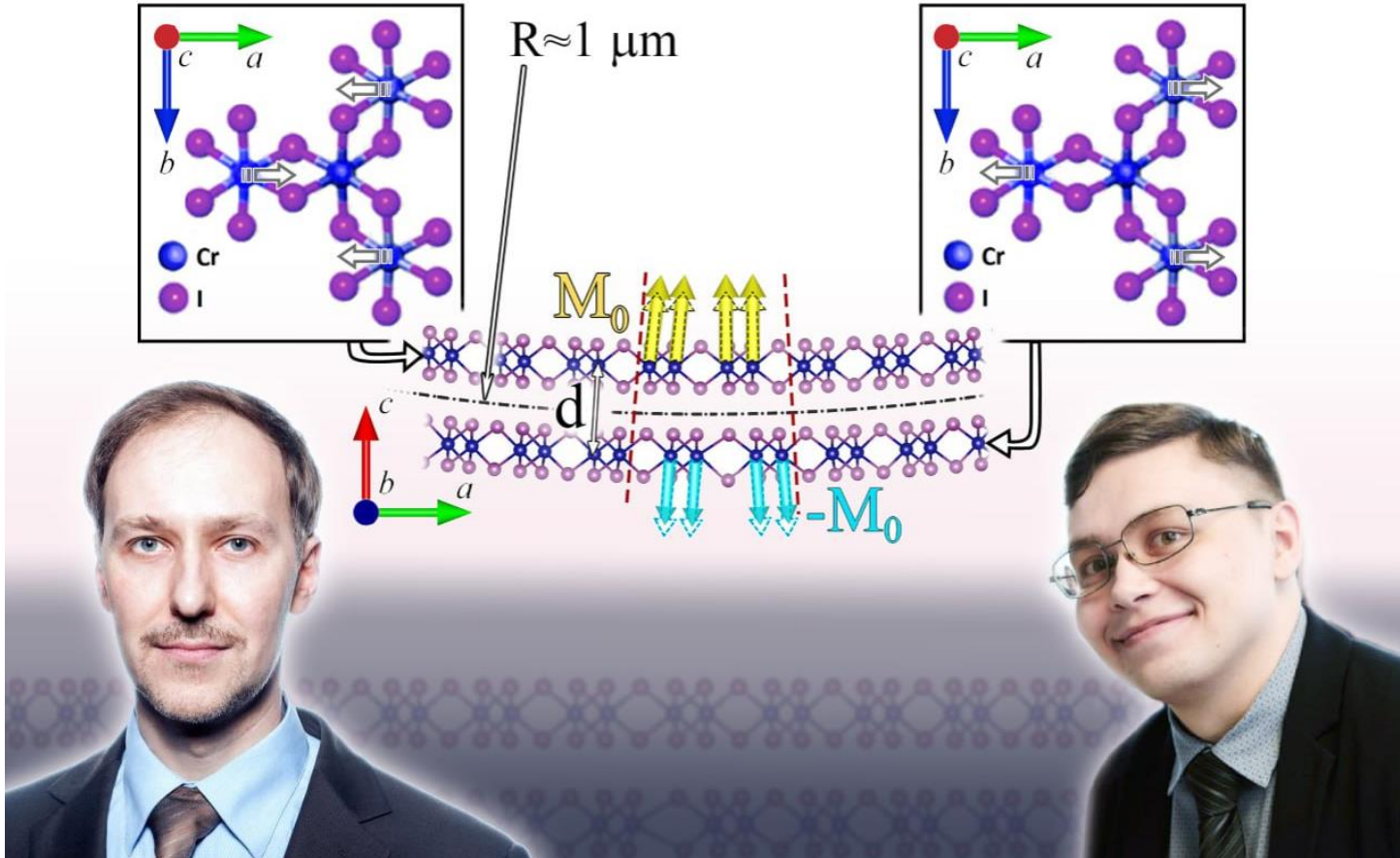
*“c'est la dissymétrie
qui crée le phénomène”*

Pierre Curie



«Когда в каких-либо явлениях обнаруживается определённая диссимметрия, то эта же диссимметрия должна проявляться и в причинах, их породивших»

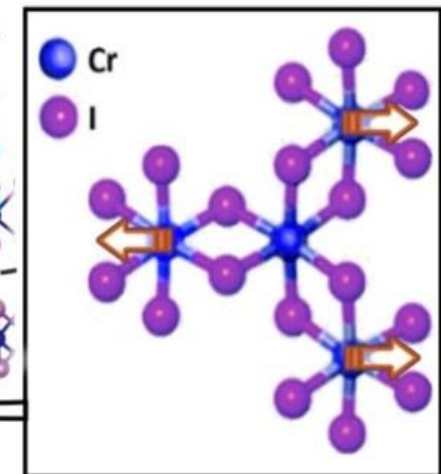
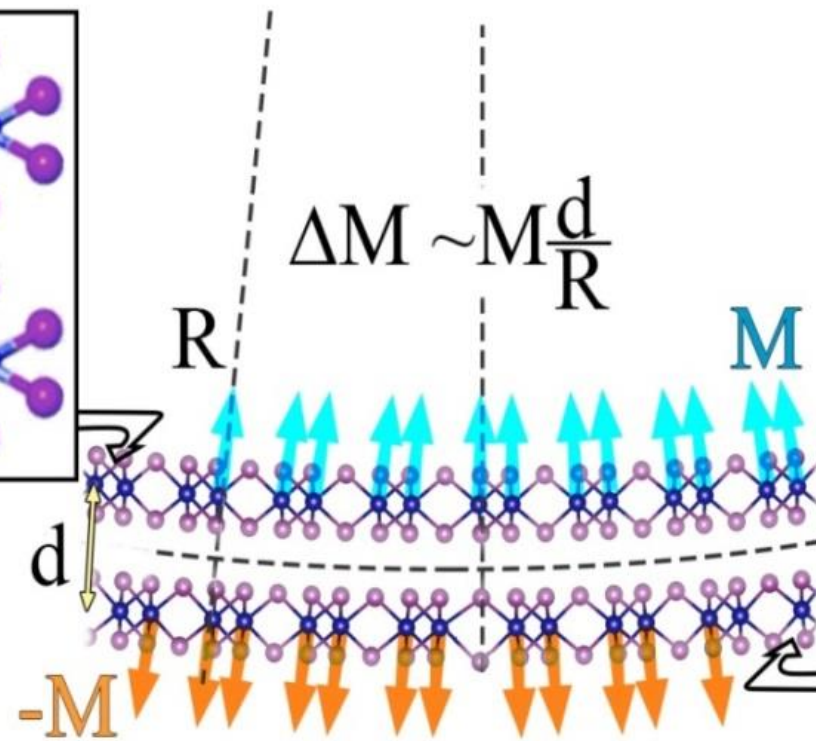
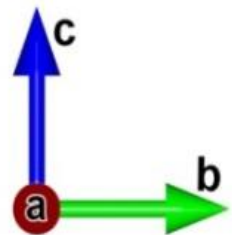
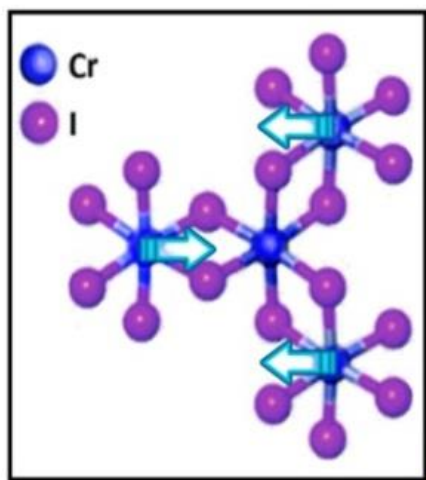
Флексомагнитный эффект



Flexomagnetic effect = $200 \mu_B \text{ \AA}$

Lei Qiao, Ren Wei, A.S. Kaminskiy, A. Pyatakov et al,
Phys. Rev. B, **109**, 014410 (2024)

Флексомагнитный эффект

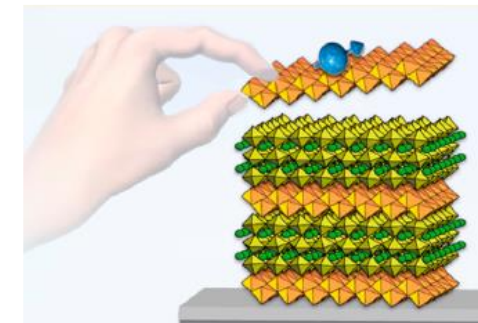
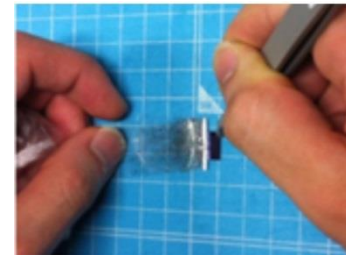


Flexomagnetic effect = $200 \mu_B \text{\AA}$

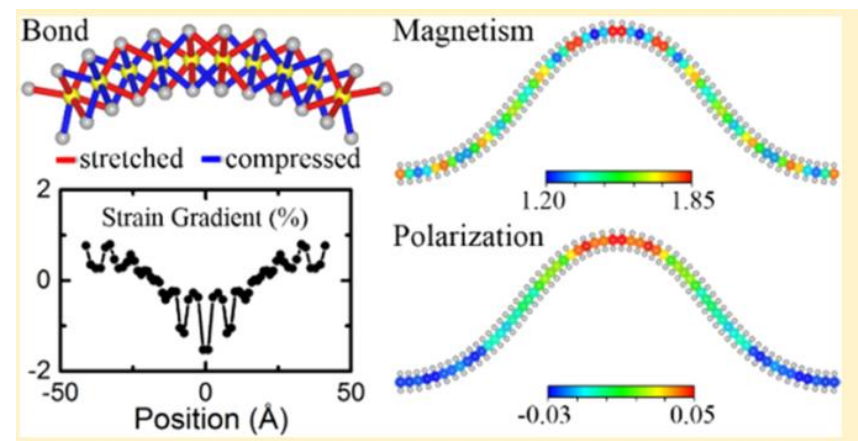
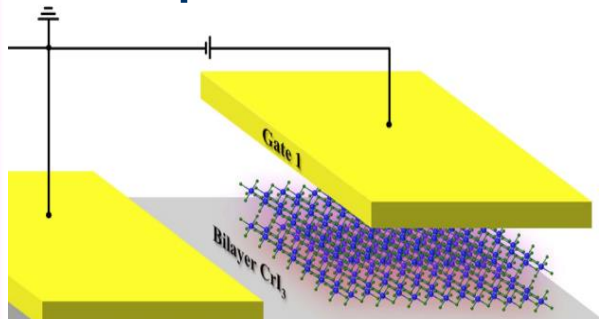
Lei Qiao, Ren Wei, A.S. Kaminskiy, A. Pyatakov et al,
Phys. Rev. B, **109**, 014410 (2024)

2D магнитные материалы

- Графеноподобность
- Эксфолиация и сборка: атомное Lego

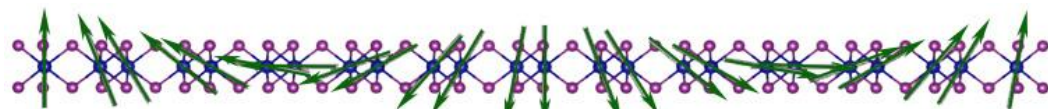
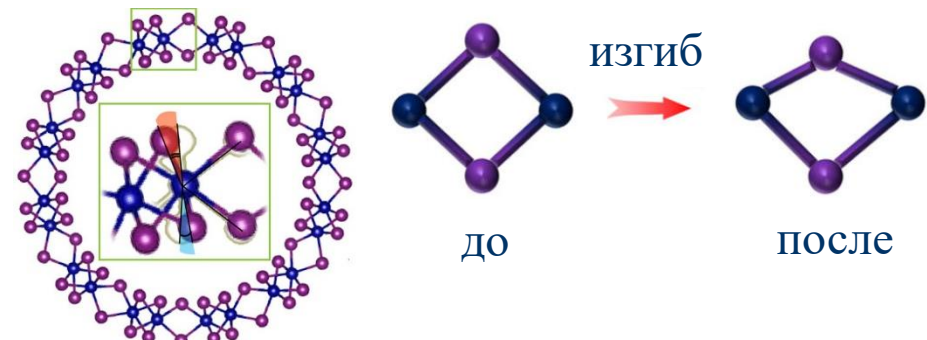
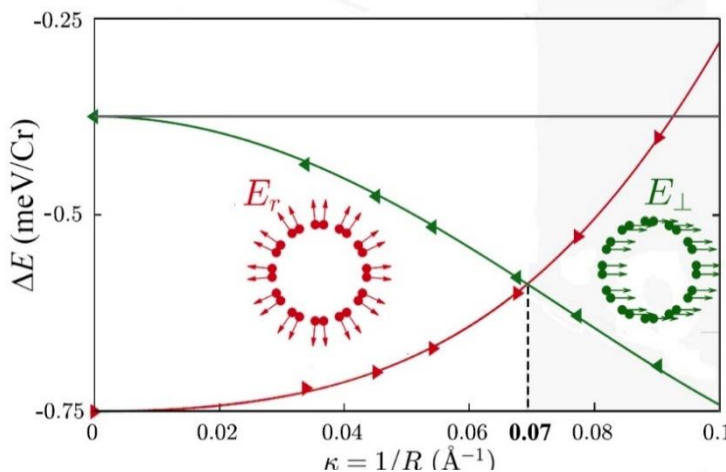


- Чувствительность
к механическим
напряжениям

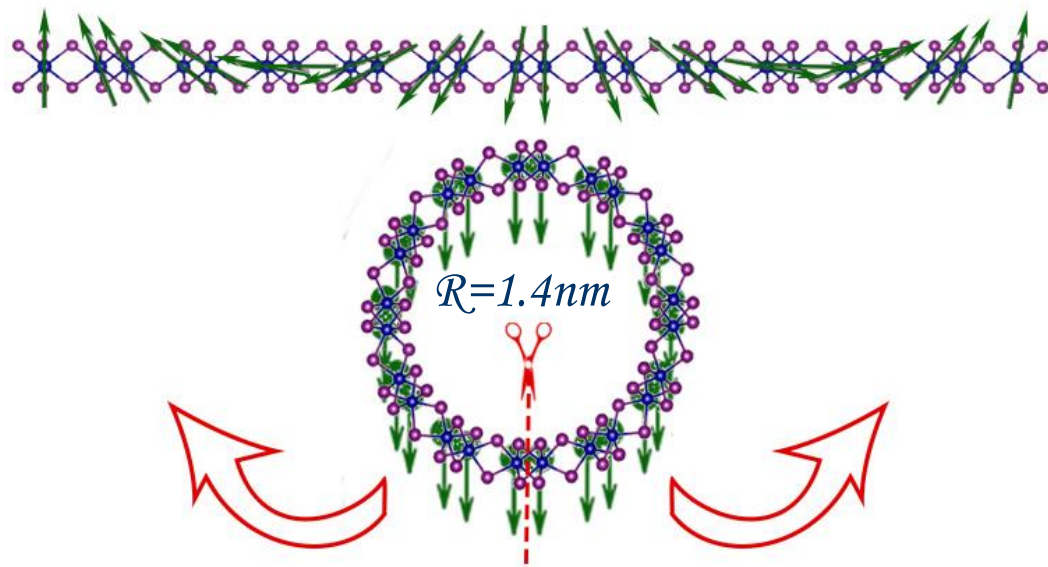


- Отсутствие экранировки:
electric gating

Спиновое флексоэлектричество



A. Edstroem, D. Amoroso,
S. Picozzi et al,
PRL, 128, 177202 (2022)





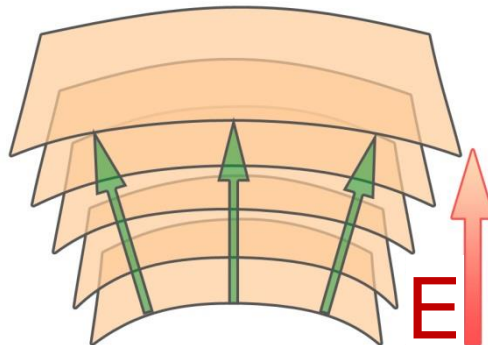
«Веерообразные структуры»



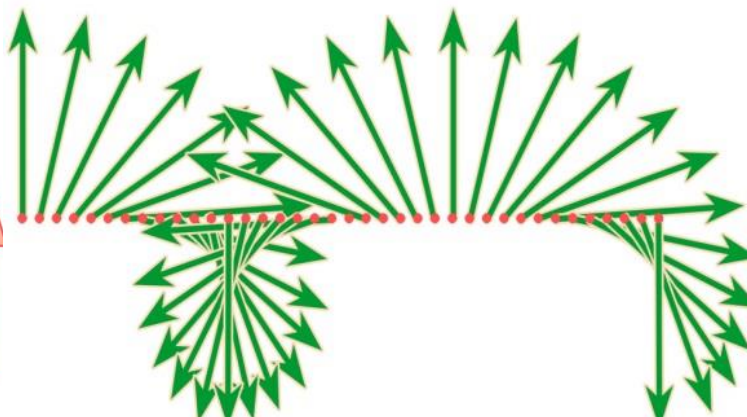
Землятрясение в Сычуани
2008



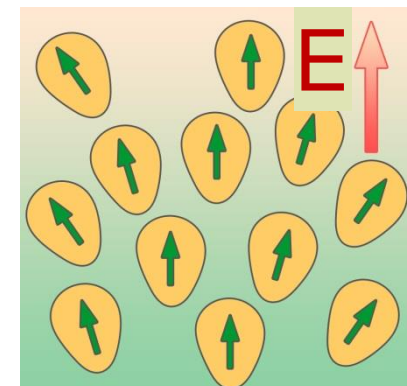
Землятрясение в Антакье 2023



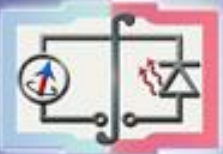
Флексоэлектрический
эффект



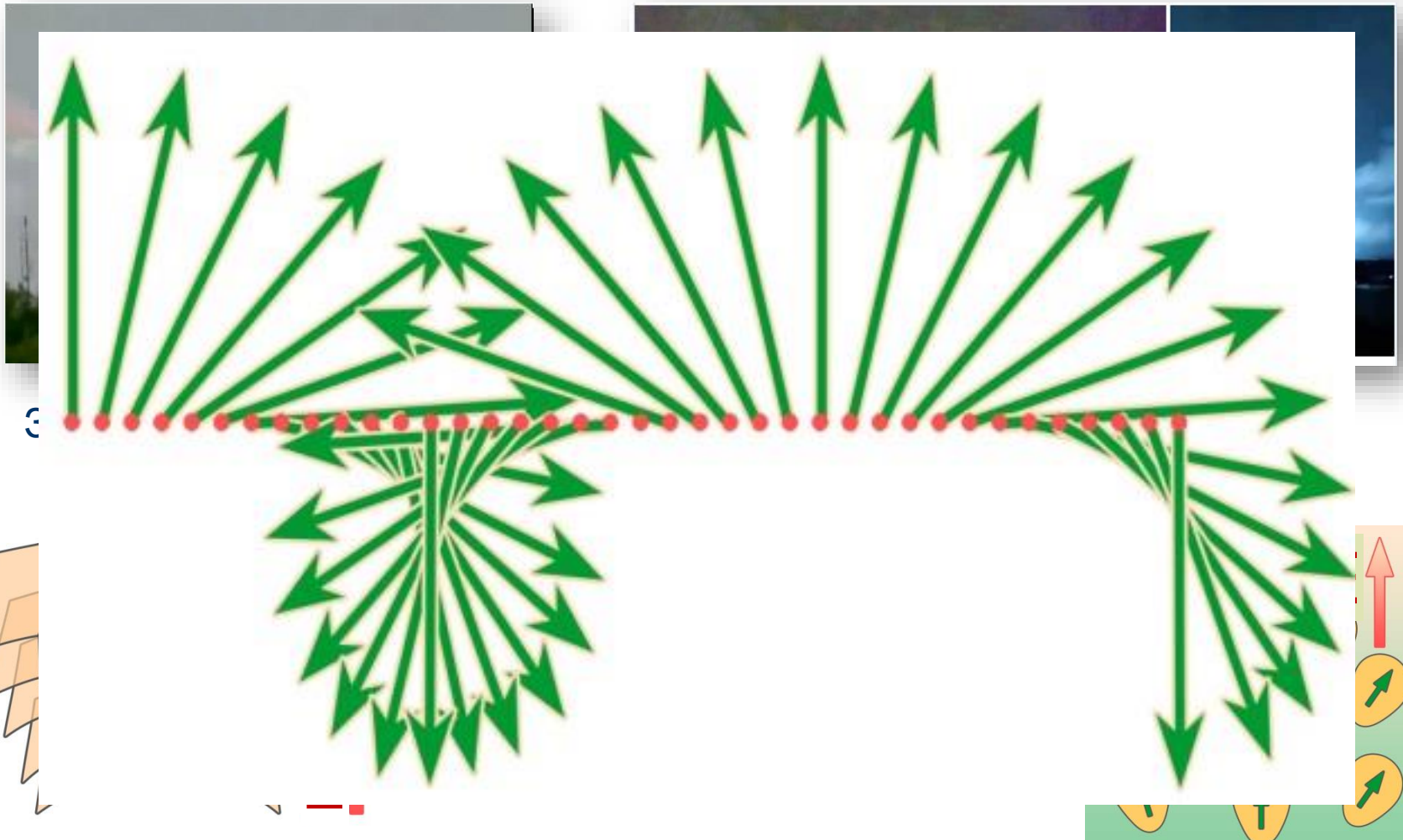
Магнитные спирали
в кристаллах



Жидкие кристаллы



Спиновая циклоида

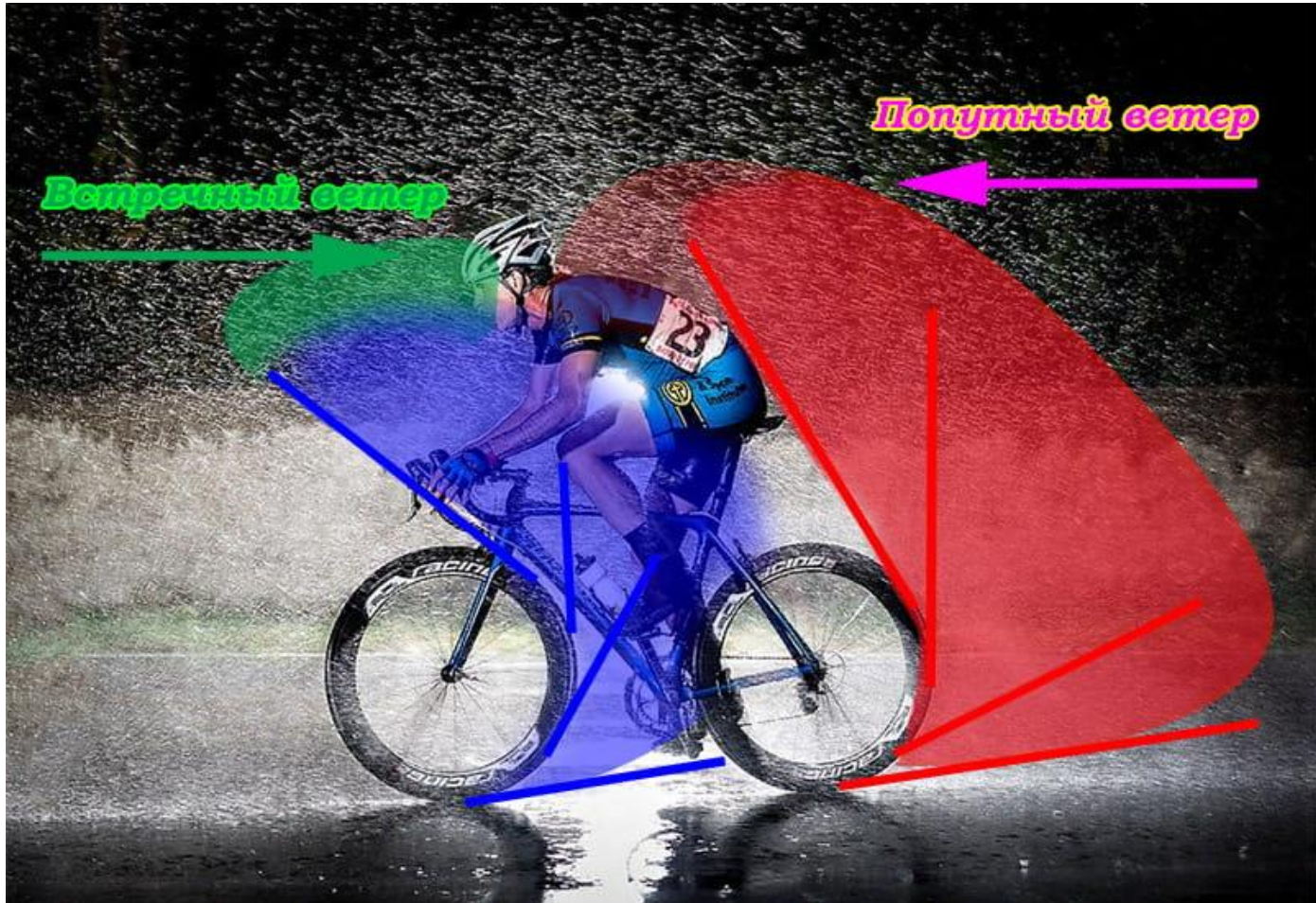


Магнитные спирали
в кристаллах

Как это получается?



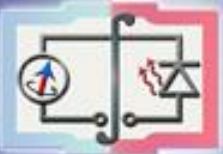
«Доказательство»



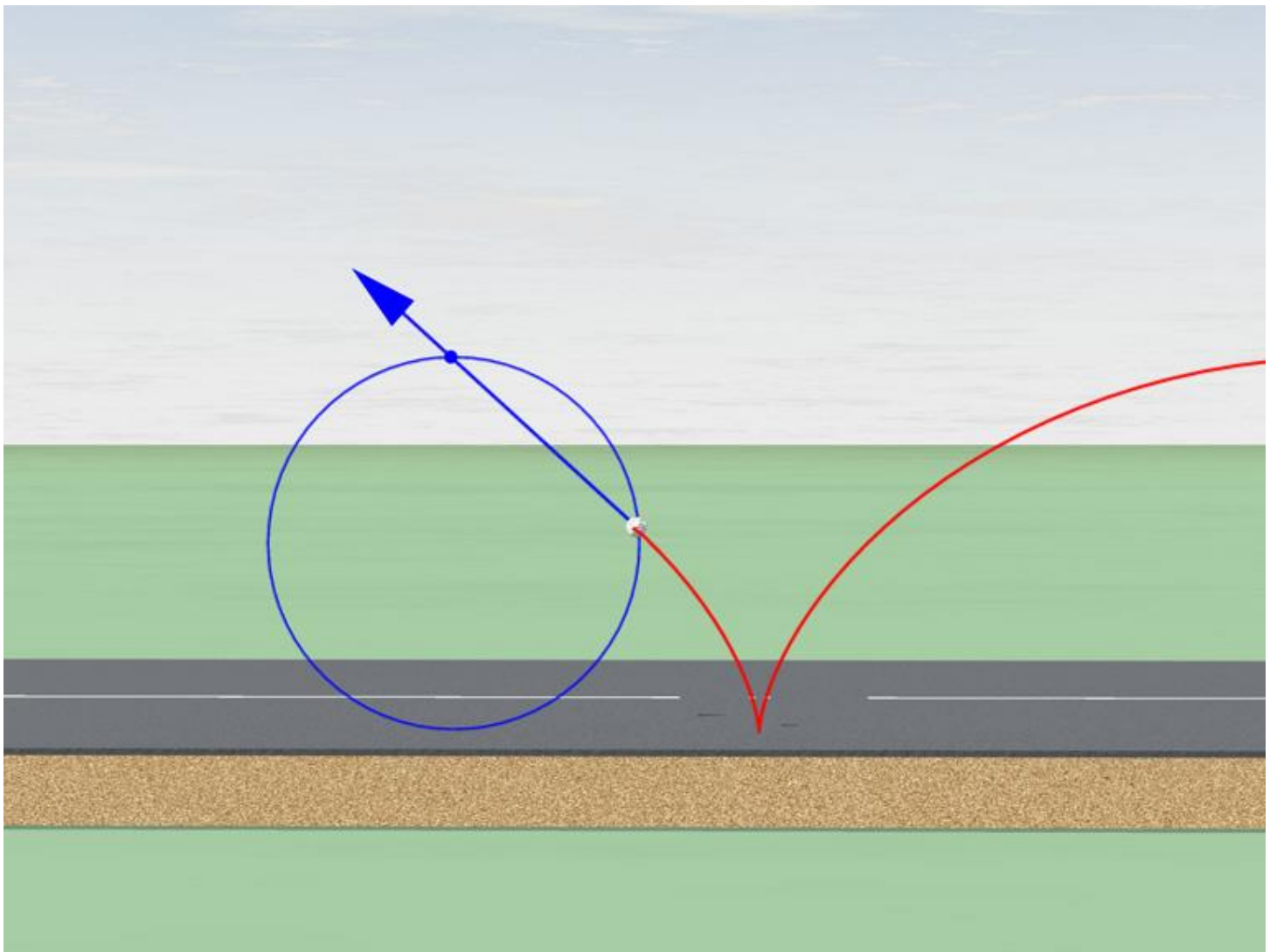


На самом деле



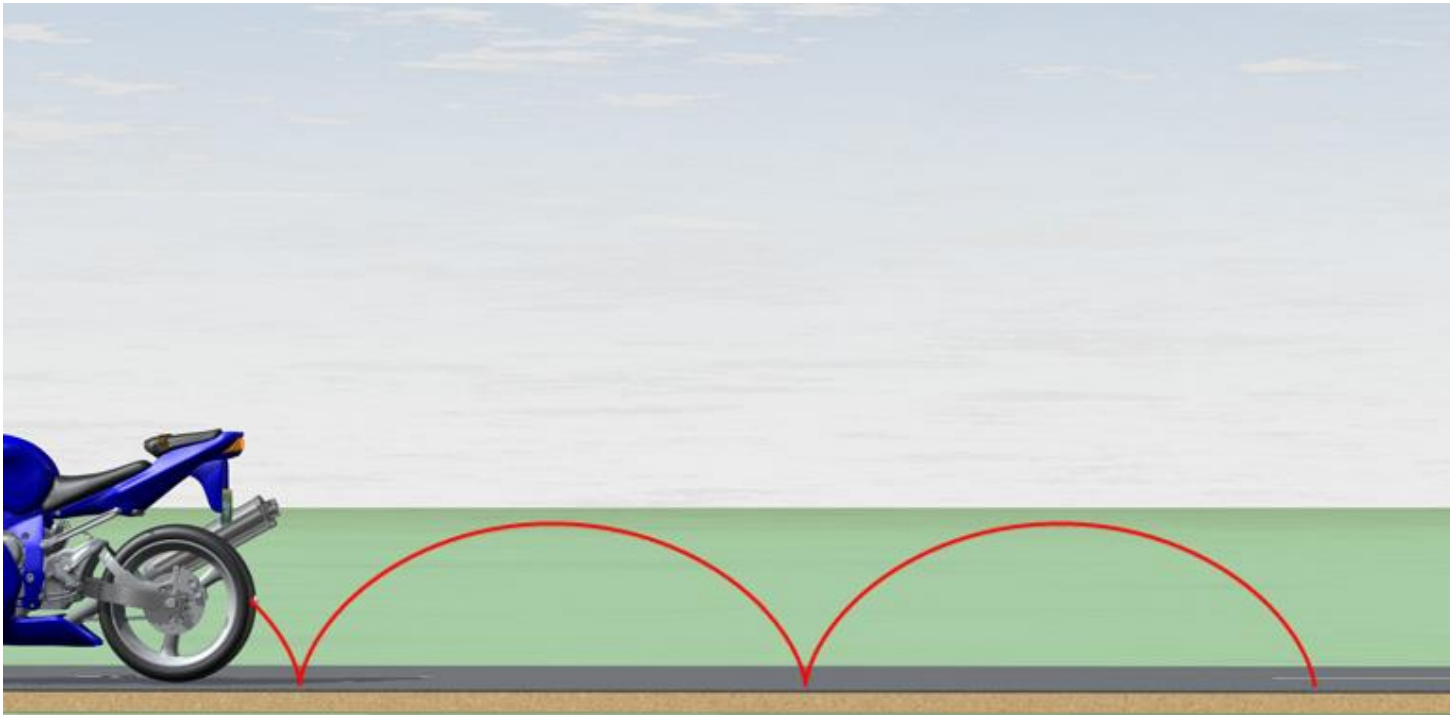


Циклоида



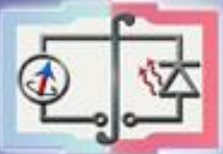


Циклоида



Рулетта является линией столь обычной, что после прямой и окружности нет более часто встречающейся линии; она так часто вычерчивается перед глазами каждого, что надо удивляться тому, как не рассмотрели её древние... ибо это не что иное, как путь, описываемый в воздухе гвоздём колеса...

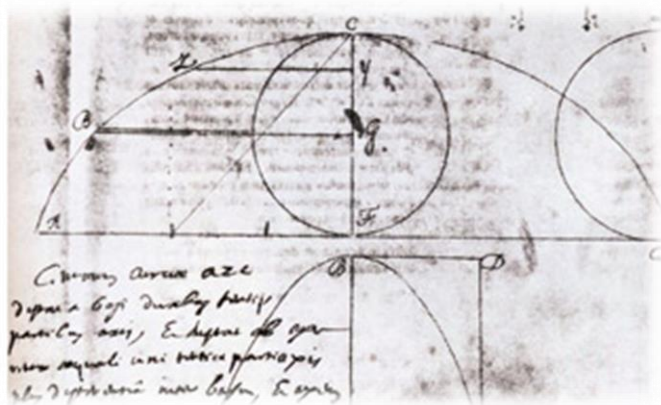
Блез Паскаль



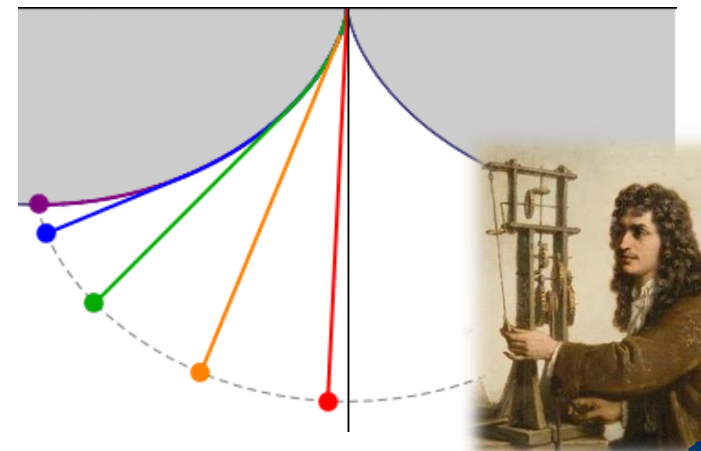
«Возлюбленная математиков»



Блез Паскаль:
1658 год: 6 задач на конкурс

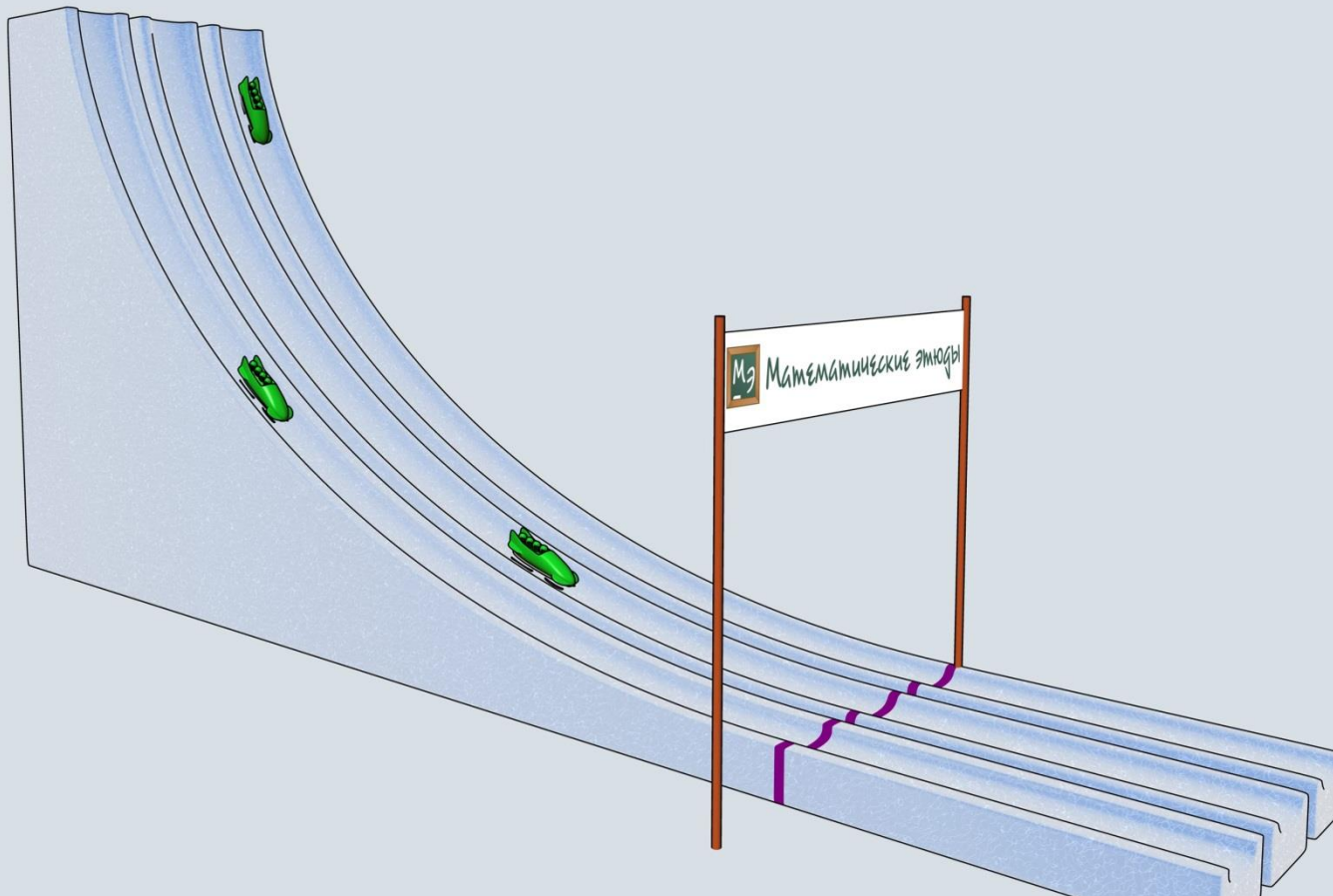


Христиан Гюйгенс:
четыре задачи + щёчки



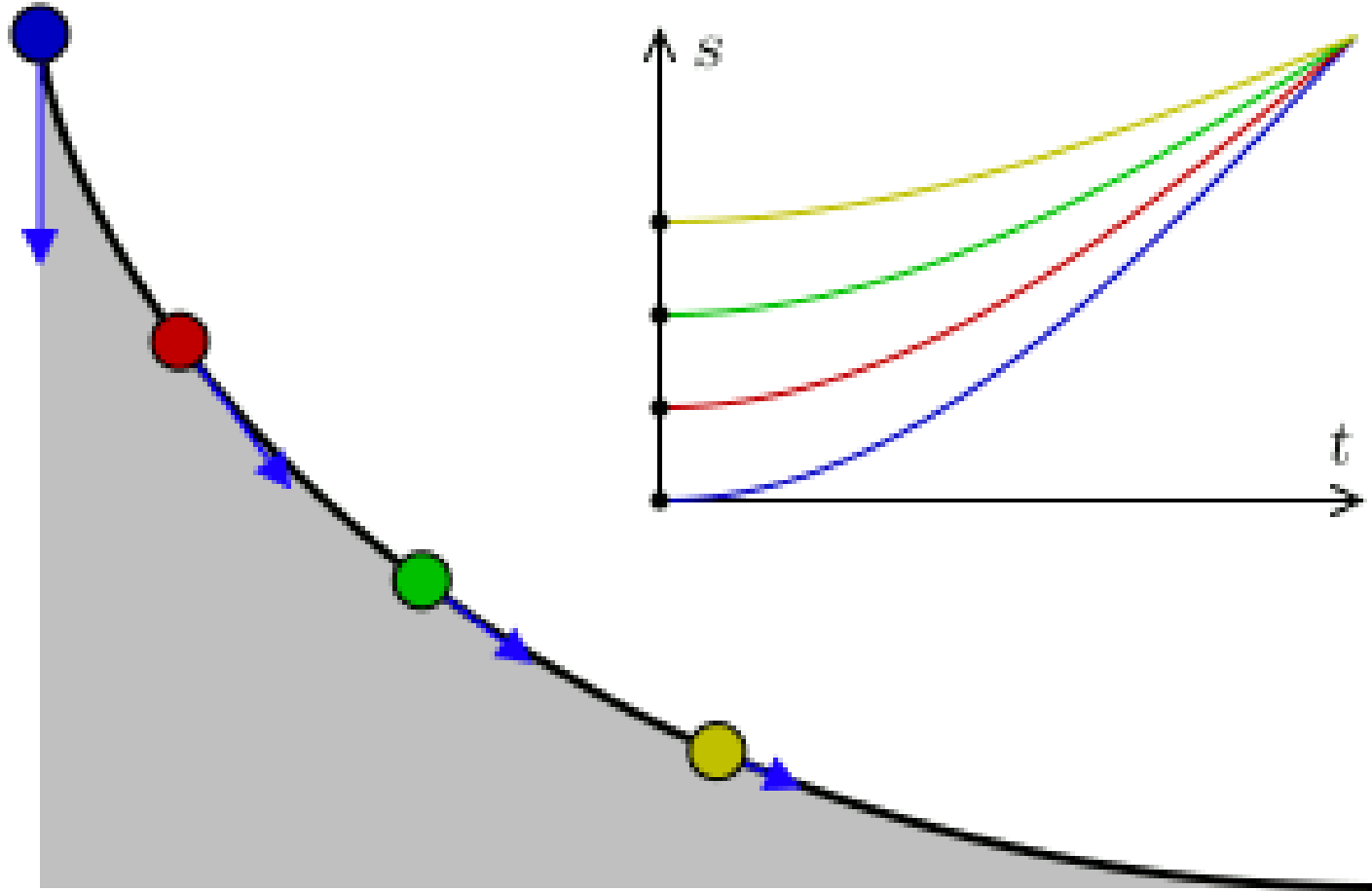


Кто придет первым?

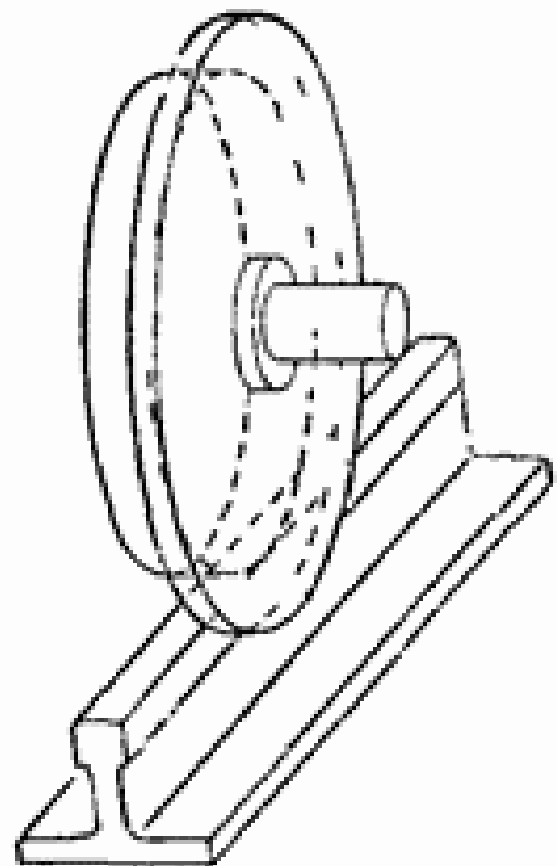




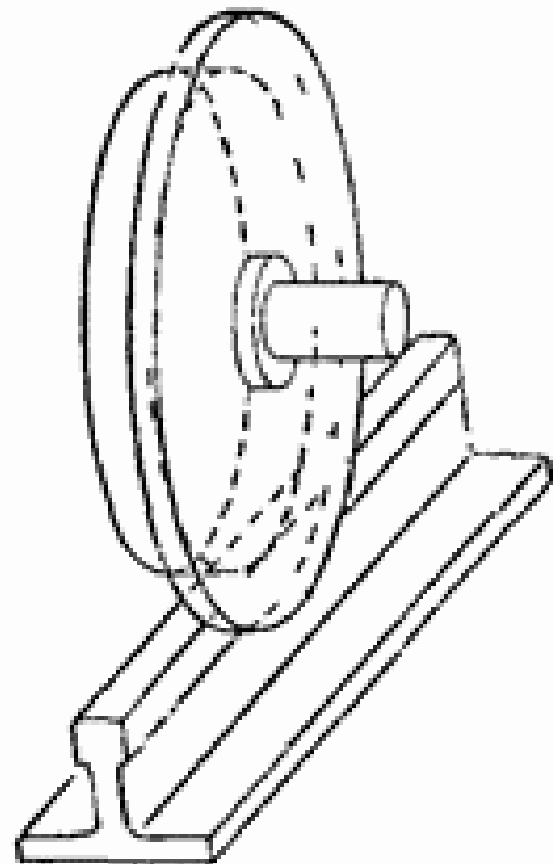
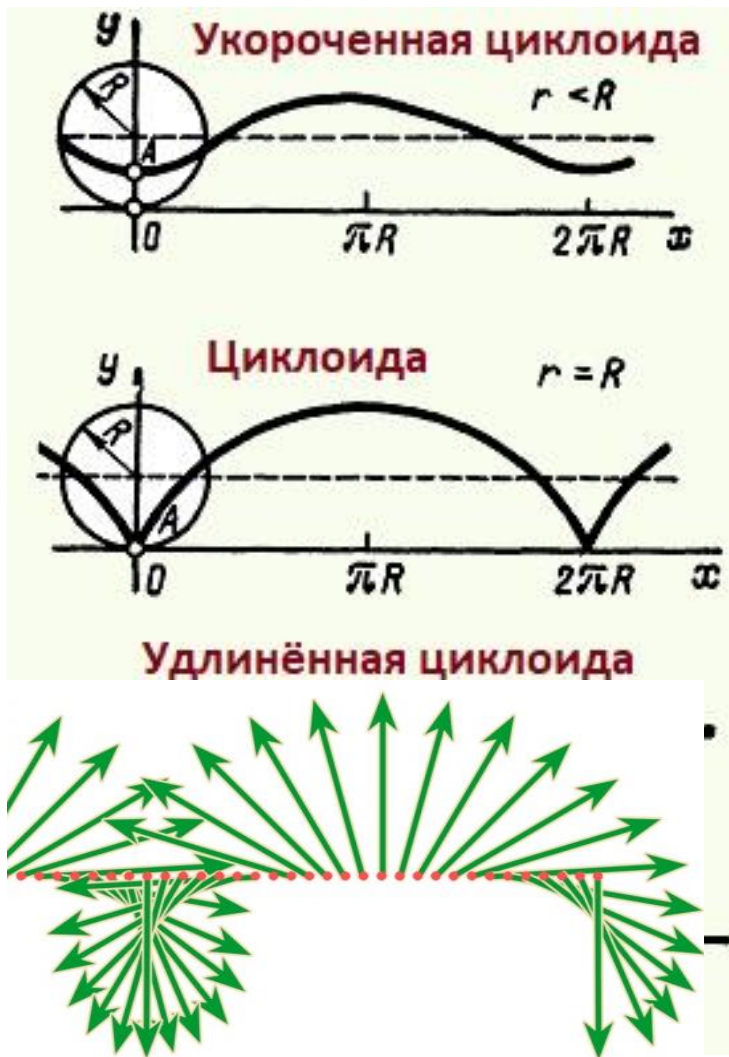
Таутохронность циклоиды

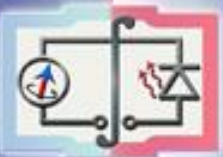


Циклоида на реборде



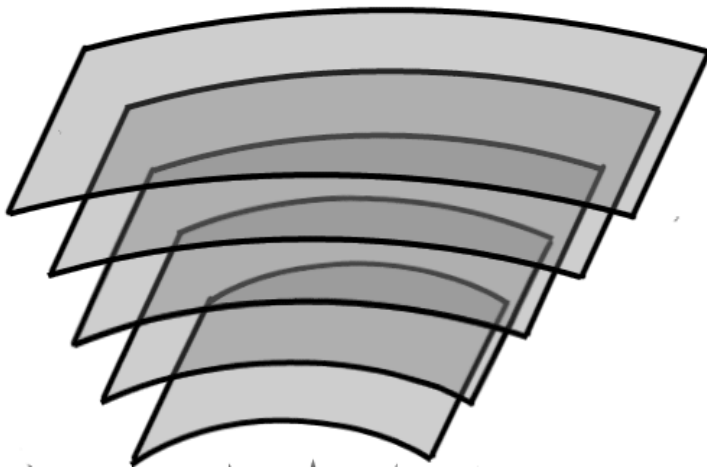
Циклоида на реборде



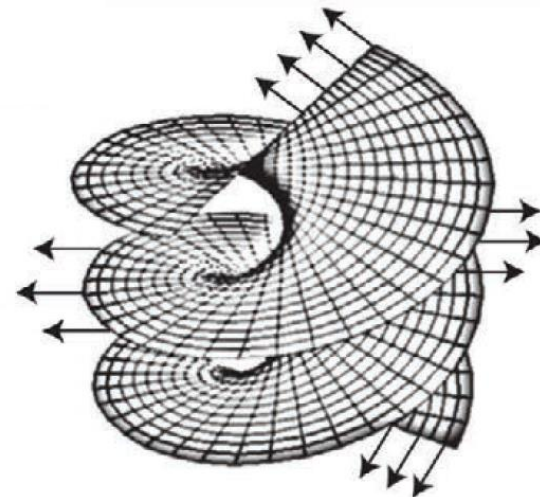


Два типа неоднородных деформаций

Изгиб



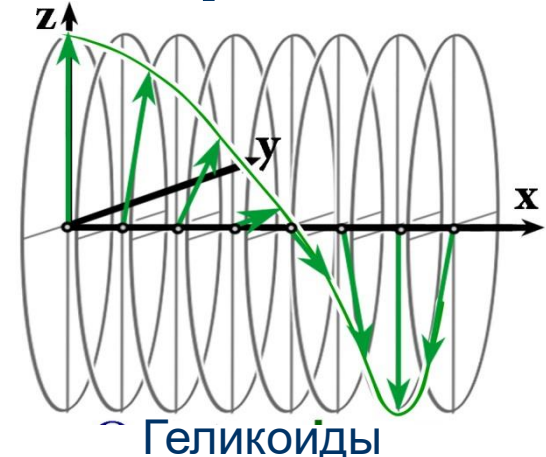
Скручивание



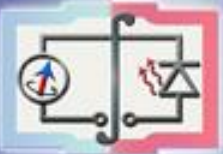
Два типа магнитных спиралей



Циклоиды

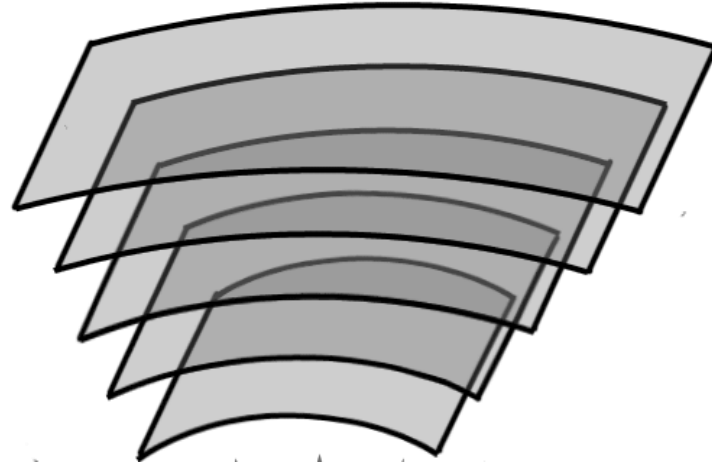


Геликоиды

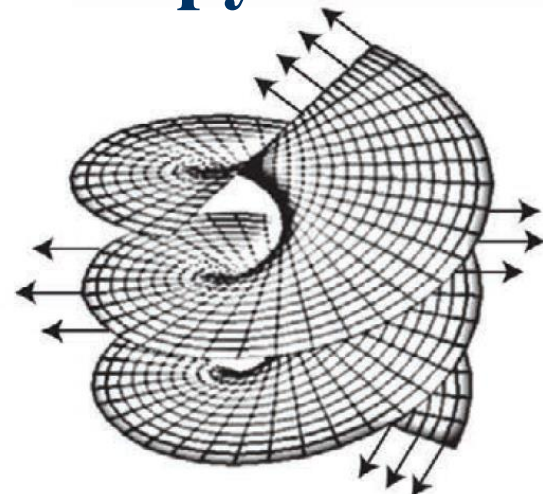


Два типа неоднородных деформаций

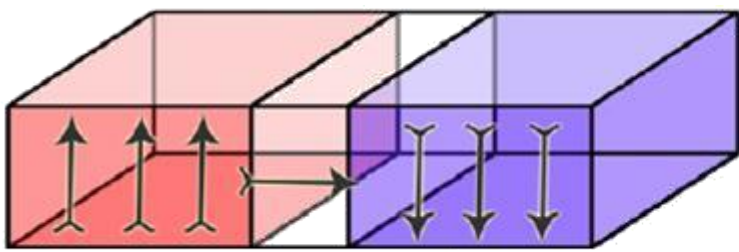
Изгиб



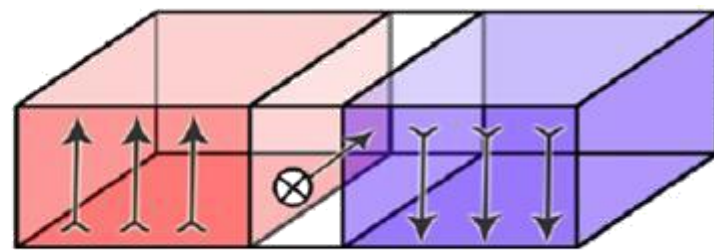
Скручивание



Два типа доменных стенок



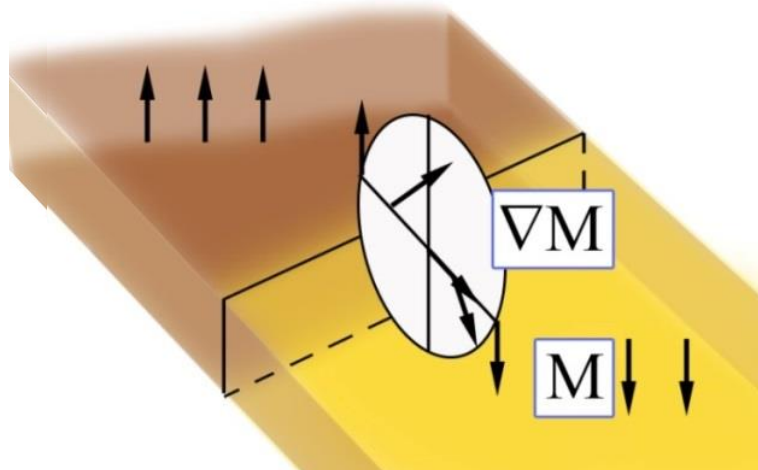
Стенка Нееля



Стенка Блоха



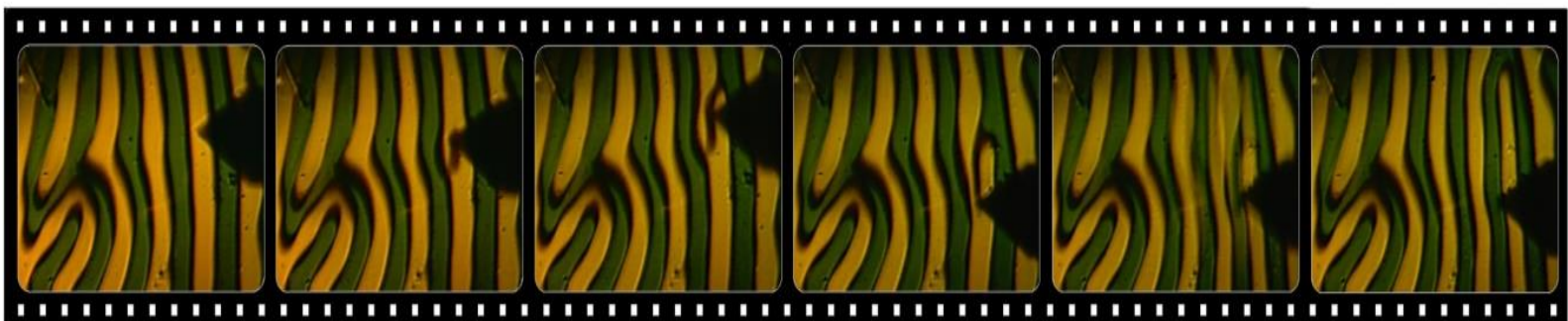
«Электроиглоукальвание» магнитных доменов



Комнатные температуры

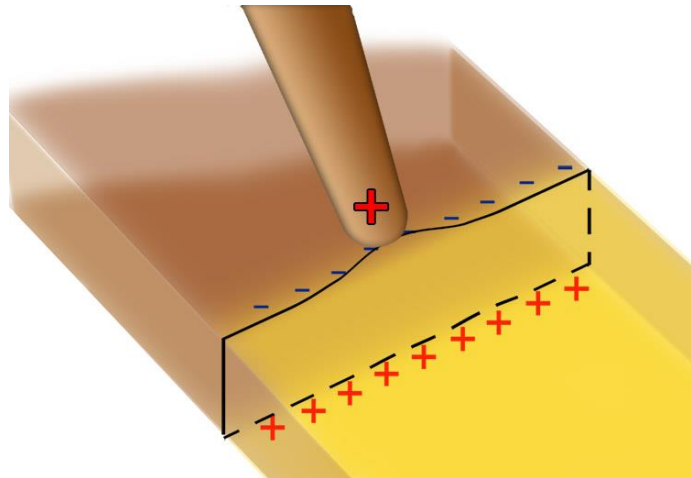
Атмосферное давление

Оптическое детектирование





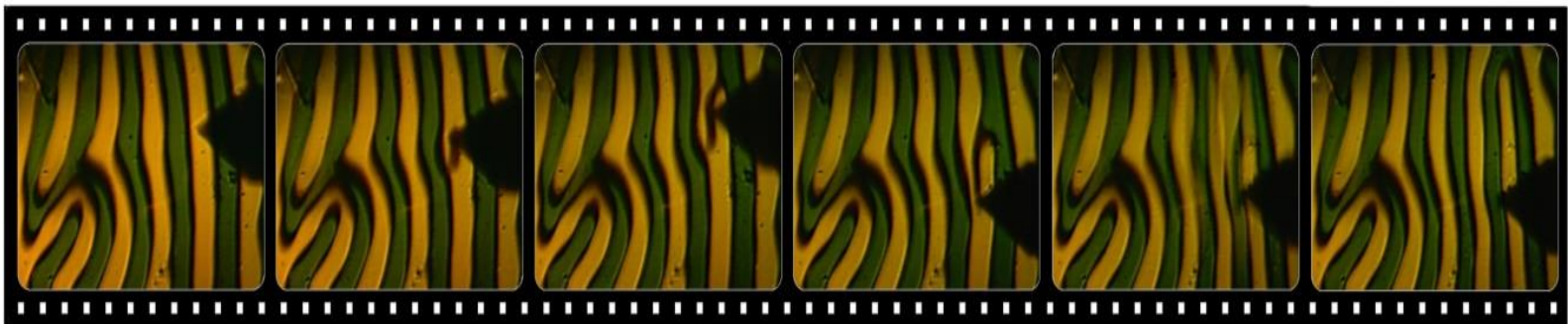
«Электроиглоукальвание» магнитных доменов



Комнатные температуры

Атмосферное давление

Оптическое детектирование

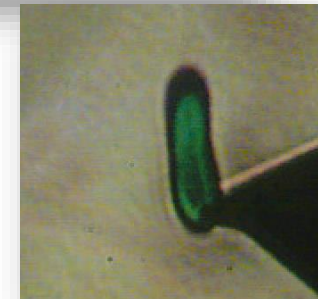
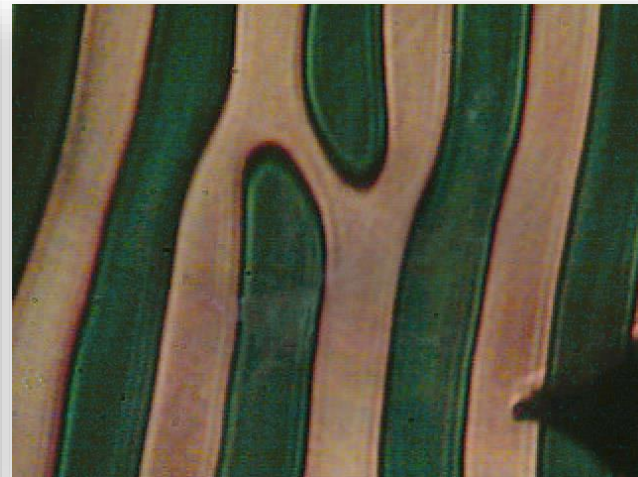




«Выдувание» ЦМД



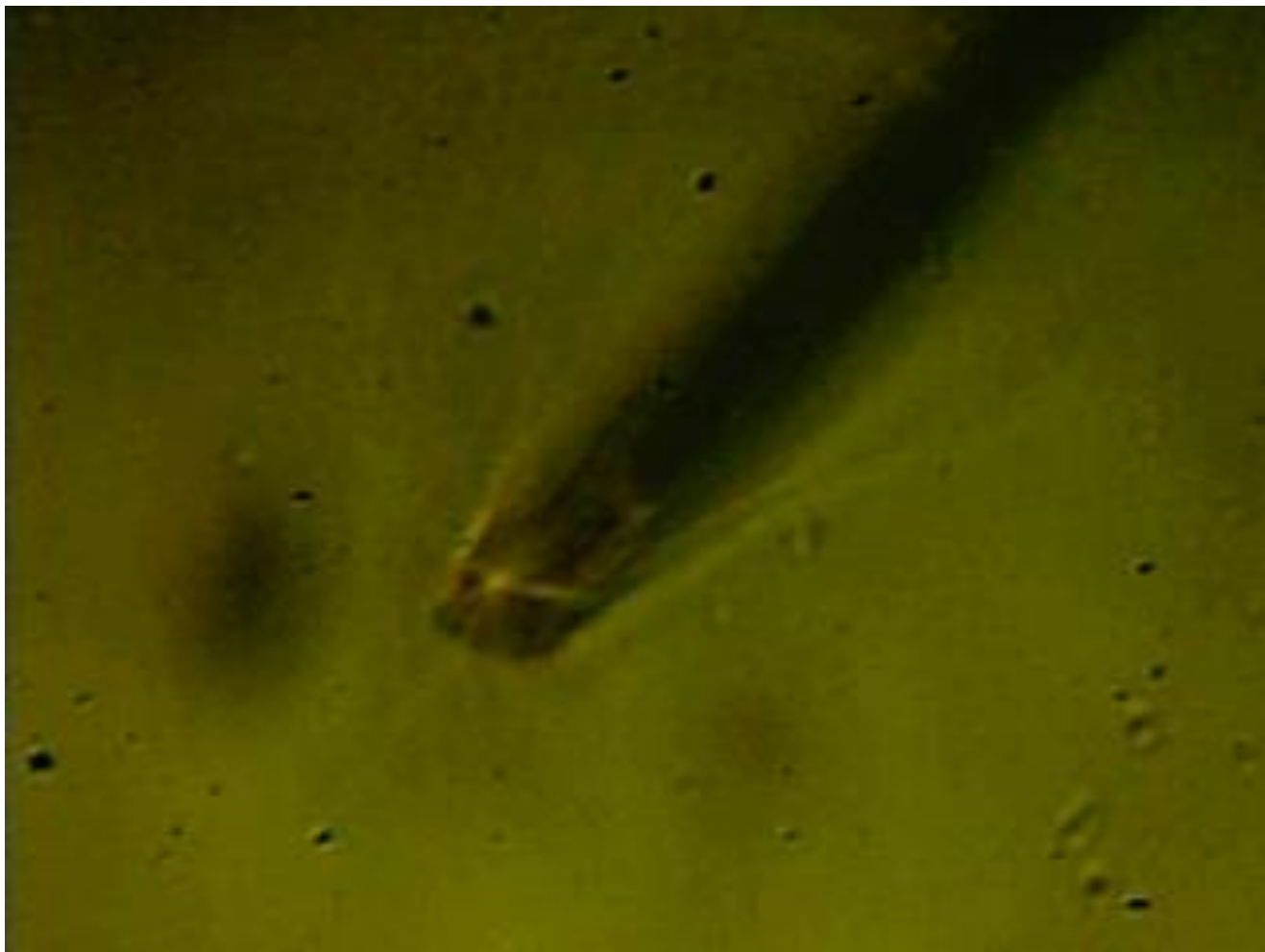
асп. Куликова Дарья



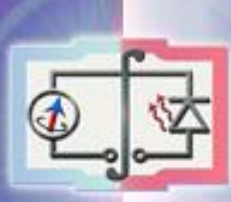
D.P. Kulikova et al, Physica Status Solidi, Rapid Research Letters,
v. 12, 1800066 (2018)



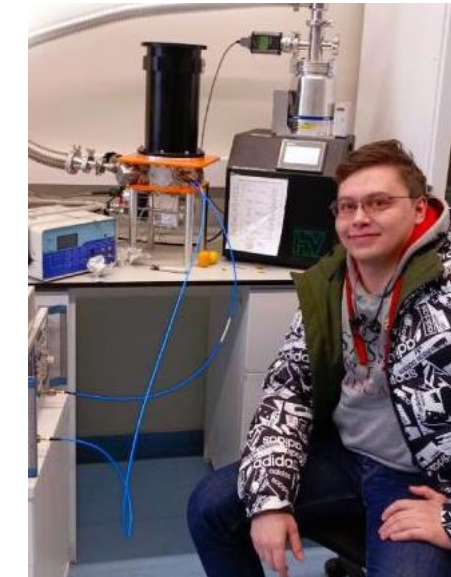
«Выдувание» ЦМД



Д.П. Куликова и др. Письма в ЖЭТФ,
104, 196-200 (2016)



«Рисование» магнитных доменов



О громоотводах



Опыты Бенджамина Франклина



Споры о форме громоотводов



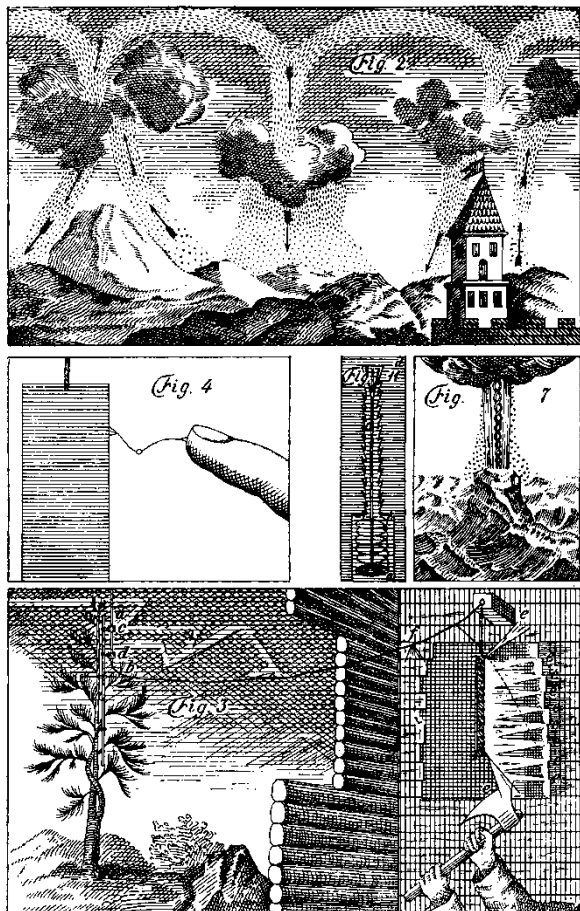
или
?



О громоотводах



Опыты Ломоносова



1753 «Слово о явлениях воздушных,
от электрической силы происходящих»

Споры о форме громоотводов



или
?

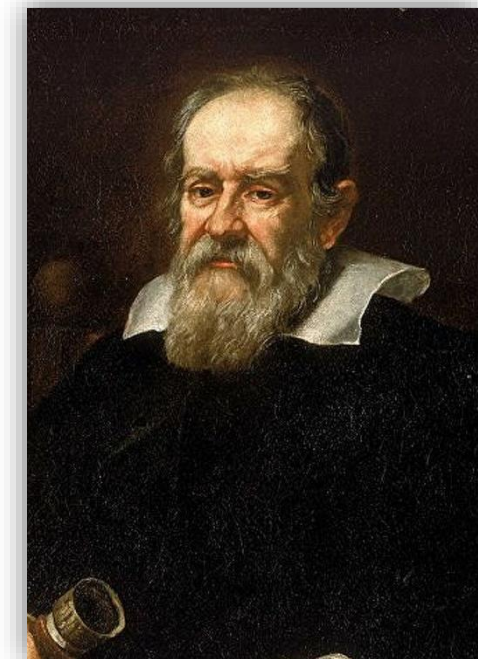
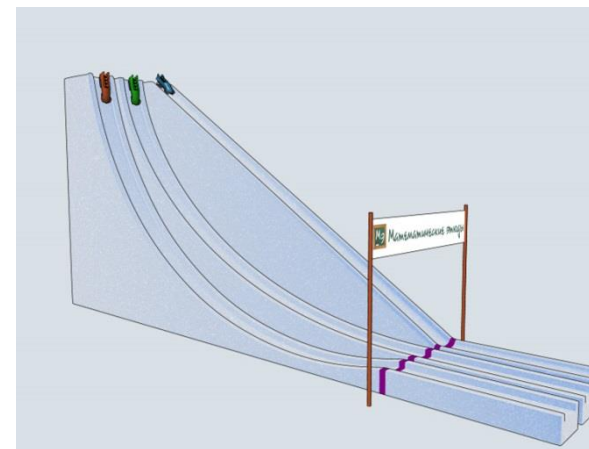
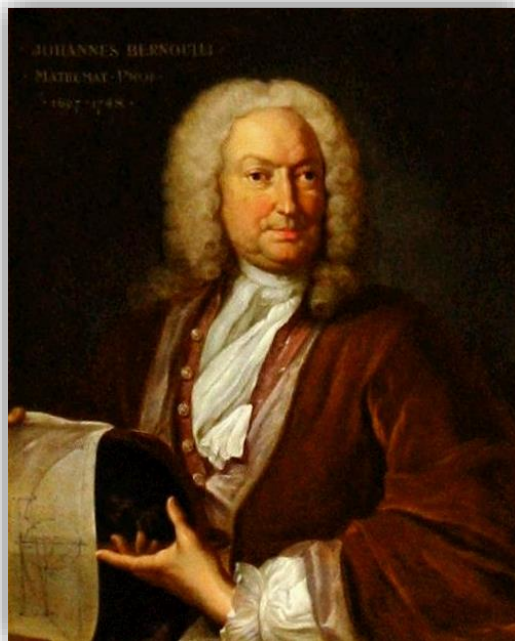




Брахистохрона

«Новая задача, к решению которой приглашаются математики»

И. Бернулли 1696



Бернулли
(1667-1748)

против

Галилея
(1564-1642)¹⁹

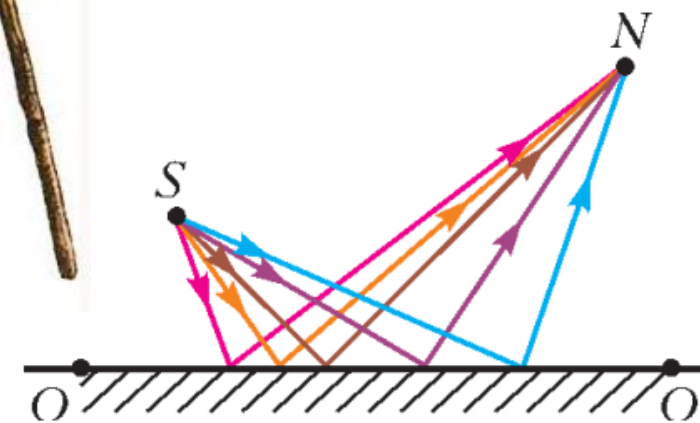
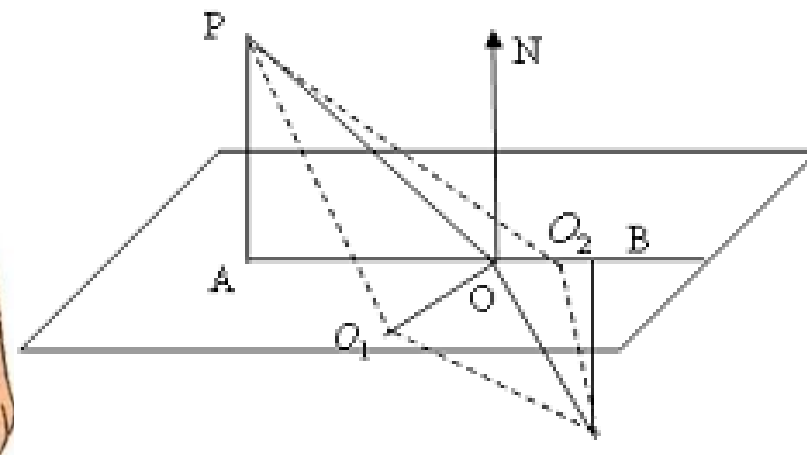


Принцип наименьшего времени

Герон
Александрийский



I в. н.э.



Пьер Ферма

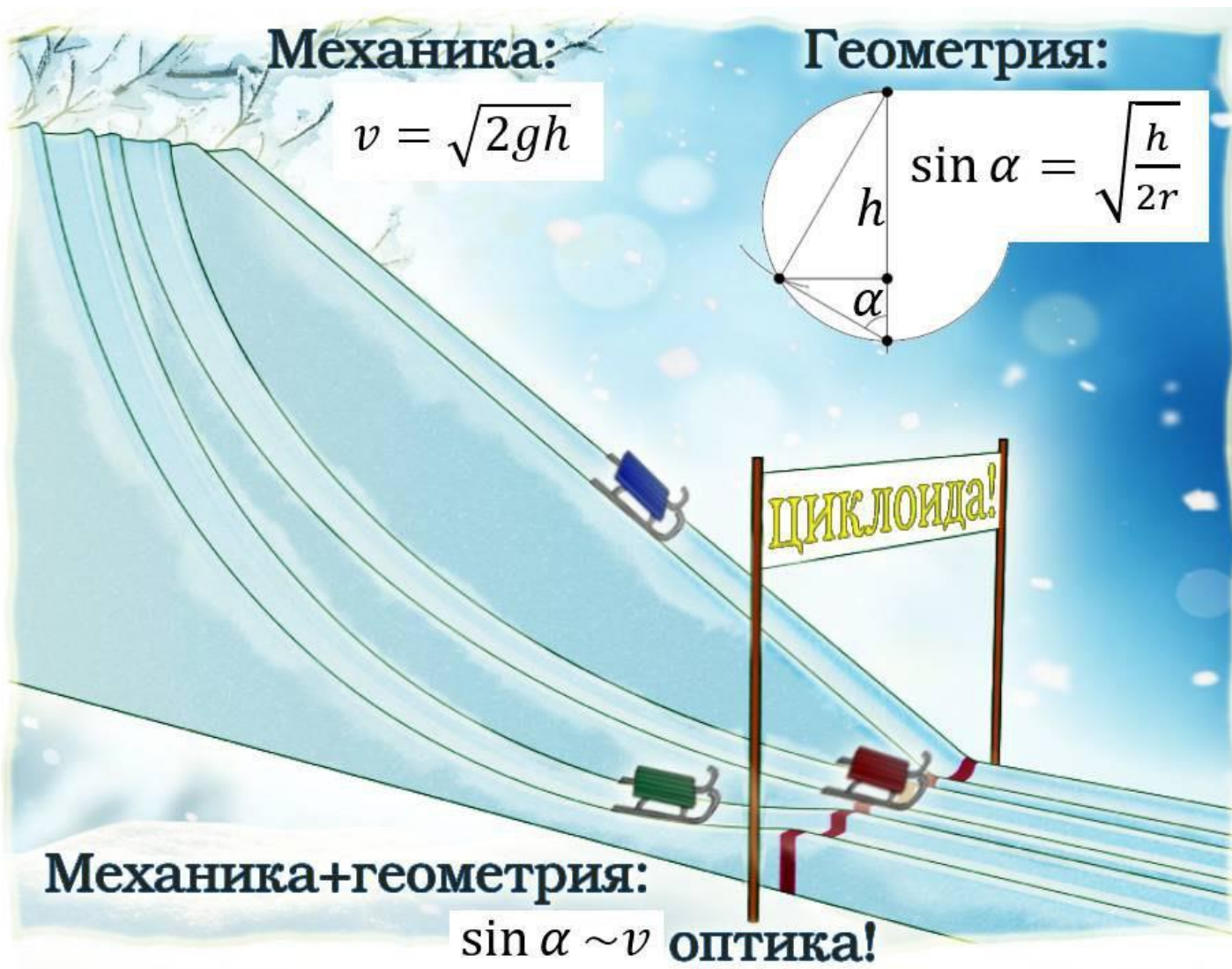


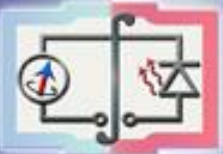
1662



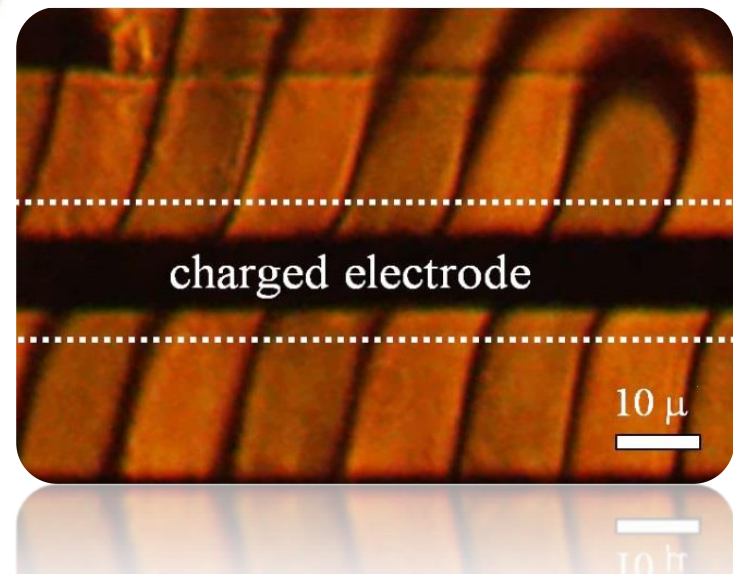
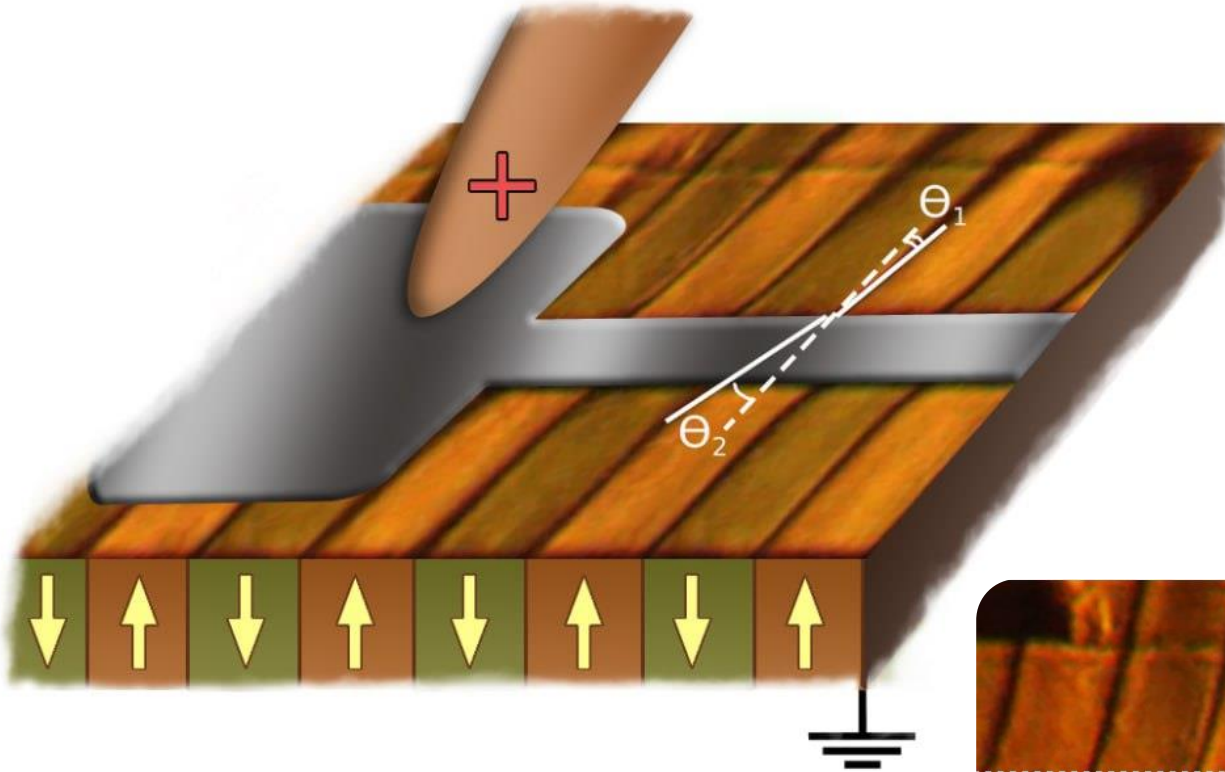


Оптическая аналогия



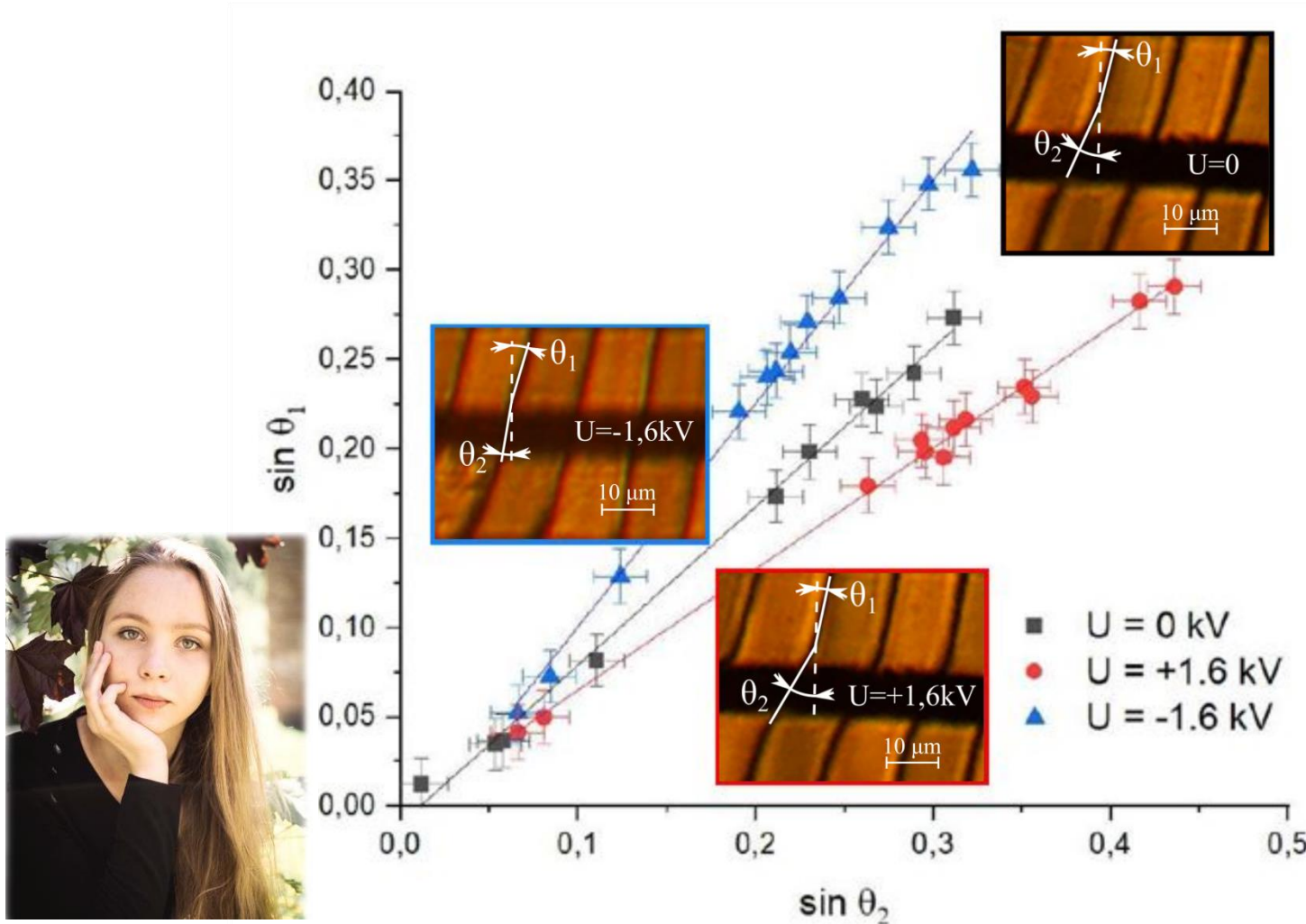


«Преломление» в мире доменов

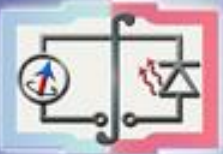




Преломление доменных границ

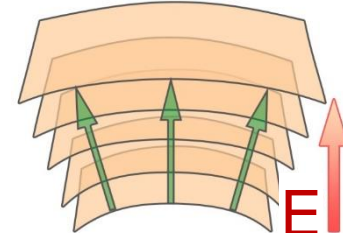


А.А. Подклетнова и др. том 118, № 4, с. 259-262

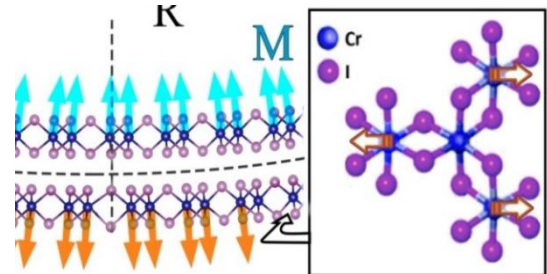


Геометрические идеи в физике материалов

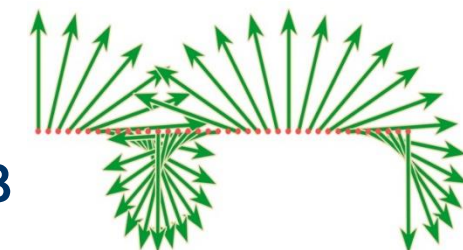
- Нарушение симметрии в материале
=> новые физические эффекты



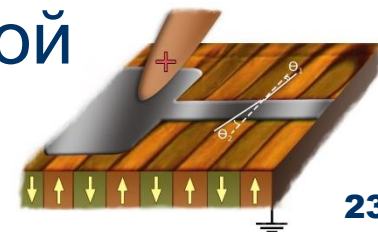
- Неоднородные деформации
=> флексоэлектрический и
флексомагнитный эффекты

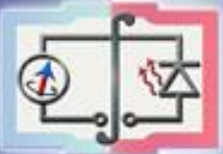


- Спиновые циклоиды =>
возникновение электрич. свойств

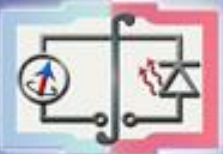


- Задача о ходе луча в геометрической
оптике => задача о минимизации
энергии границ

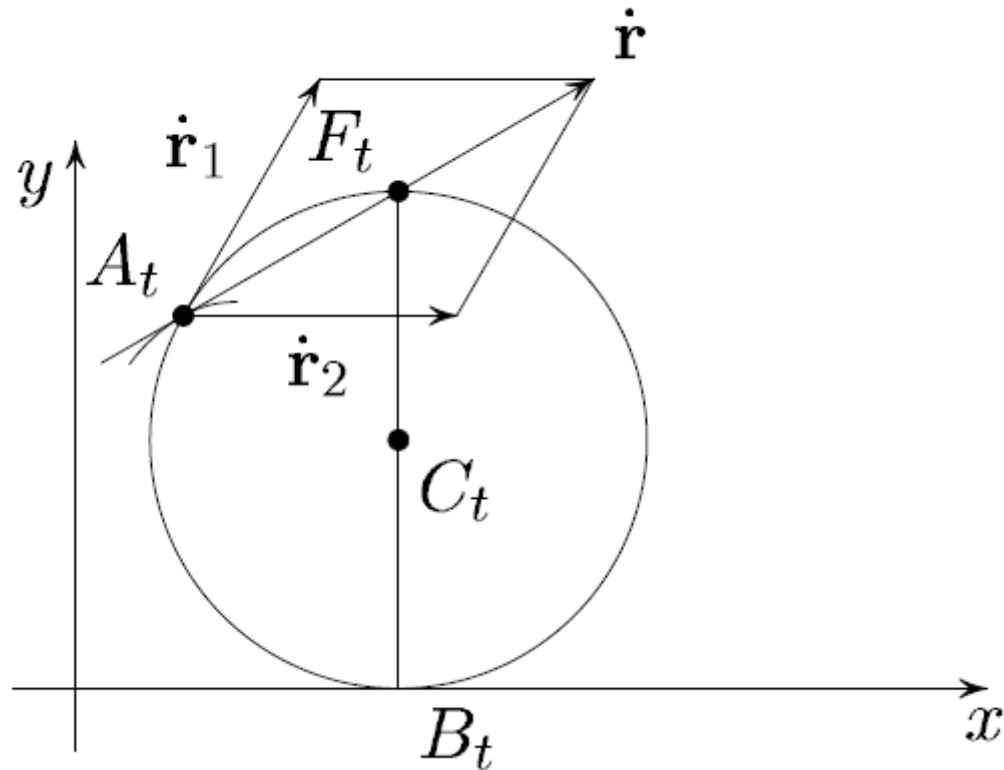




Спасибо за внимание!



Сложение скоростей





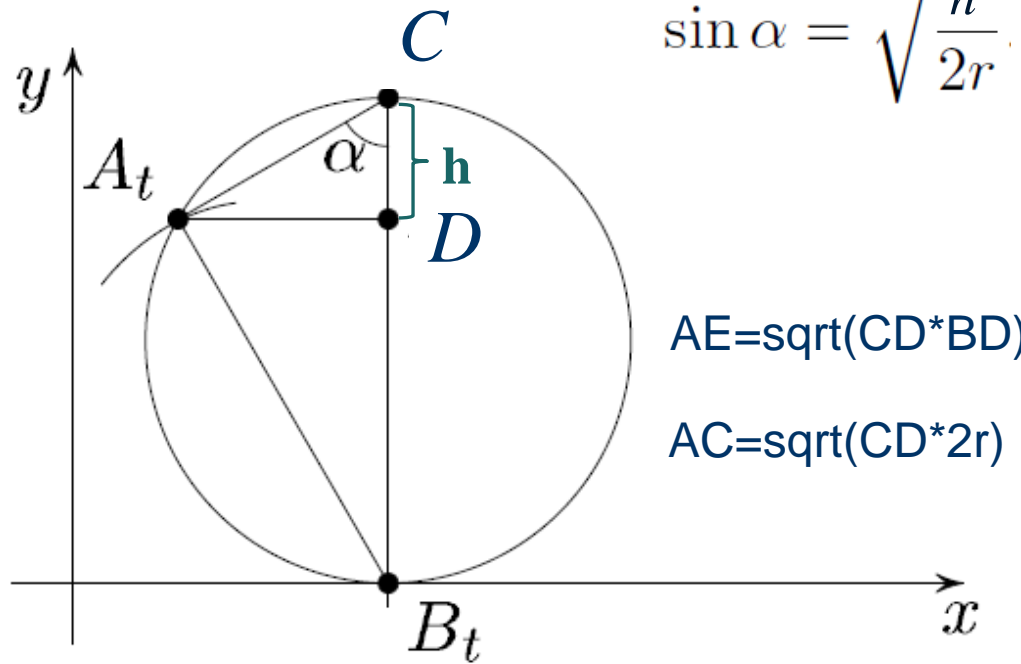
$$v_n = \sqrt{2gh}$$

v_n – скорость падения

h – высота

g – ускорение свободного падения

$$\sin \alpha = \sqrt{\frac{h}{2r}}$$

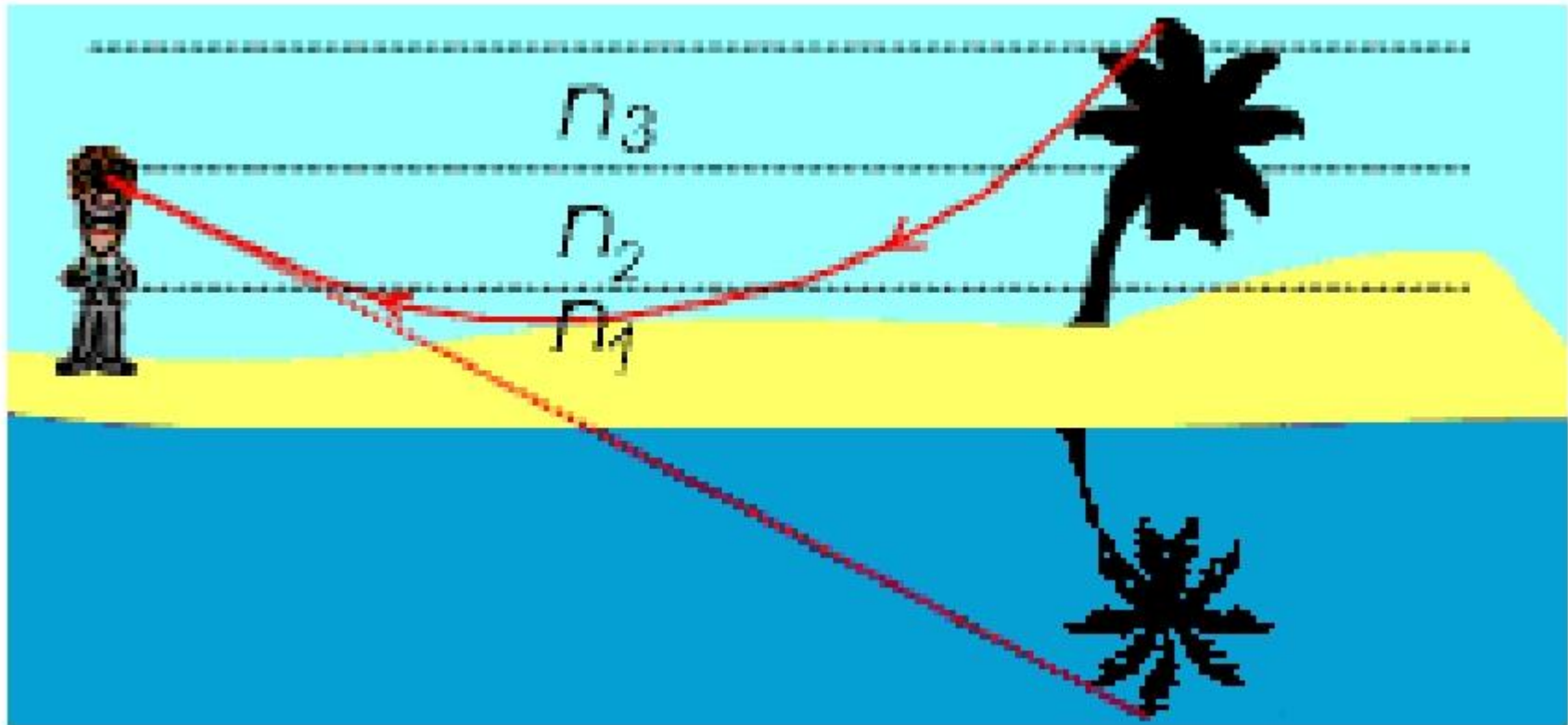


$$AE = \sqrt{CD \cdot BD}$$

$$AC = \sqrt{CD^2 + BD^2} = \sqrt{2r^2} = r\sqrt{2}$$



Причем здесь мираж?





г.Москва, ул.Искры, д.31
8-925-220-45-70 Сергей
8-926-358-88-00 Игорь

qwerty

ИНТЕРНЕТ
ПЕРВОКЛАССНЫЙ!



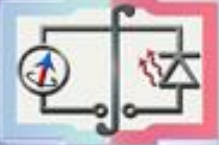
100 + 200 ·
МБИТ/С · ДНЕЙ
= 300
РУБ/МЕС

+7 (495) 500 00 44 www.qwerty.ru

* Предложение действует с 01.09.2015 г. по 30.11.2015 г. только для новых абонентов. Подробные условия на сайте и в тарифах.

дня

ИНТЕРНЕТ + **БЕСПЛАТНОЕ ЦИФРОВОЕ ТВ**



г.Москва, ул.Искры, д.31
8-925-220-45-70 Сергей
8-926-358-88-00 Игорь

ИНТЕРНЕТ
ПЕРВОКЛАССНЫЙ!

qwerty

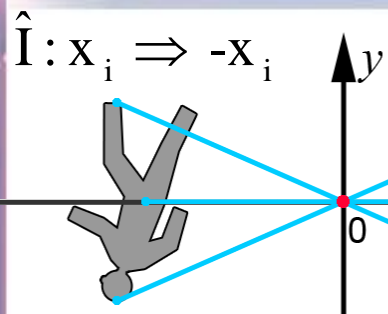
100 + 200 ·
МЕТ/С · ДНЕЙ
= 300
РУБ/МЕС.

+7 (495) 500 00 44 www.qwerty.ru

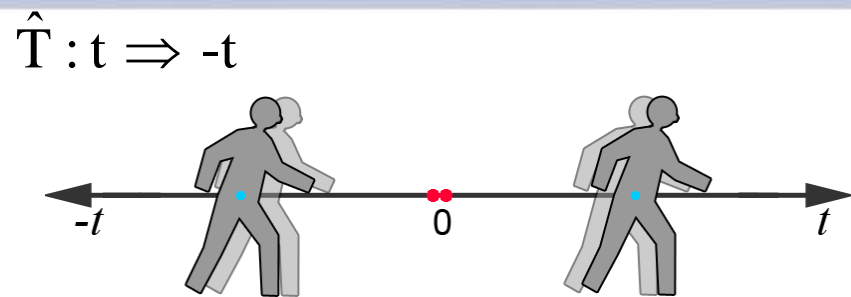
* Предложение действует с 21.09.2015 г. по 26.11.2015 г. только для новых абонентов. Подробные условия на сайте и в тарифах.

ИНТЕРНЕТ + БЕСПЛАТНОЕ ЦИФРОВОЕ ТВ

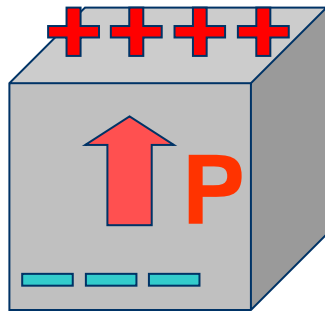
Полярные и аксиальные векторы



Инверсия пространства

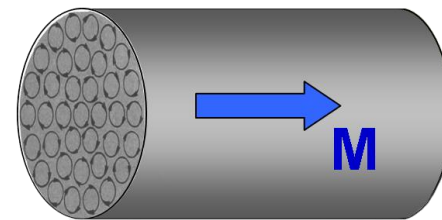


Инверсия времени



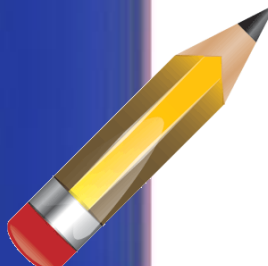
P-нечётный: $\hat{I} \mathbf{P} = -\mathbf{P}$

T-чётный: $\hat{T} \mathbf{P} = +\mathbf{P}$



P-чётный: $\hat{I} \mathbf{M} = +\mathbf{M}$

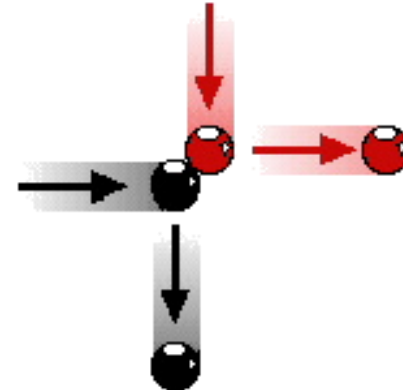
T-нечётный: $\hat{T} \mathbf{M} = -\mathbf{M}$





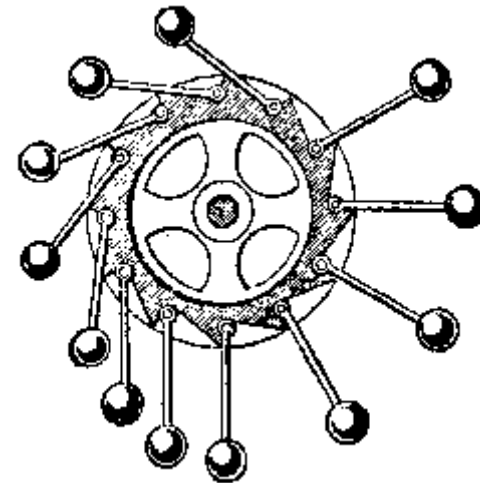
Симметрия механических законов

$$\vec{r}(t) = \vec{r}_0 + \vec{V}_0 \cdot t + \frac{\vec{a} \cdot t^2}{2}$$



$$\sum \vec{F} = m \vec{a}$$

$$\sum \vec{M} = J \frac{d\vec{\Omega}}{dt}$$





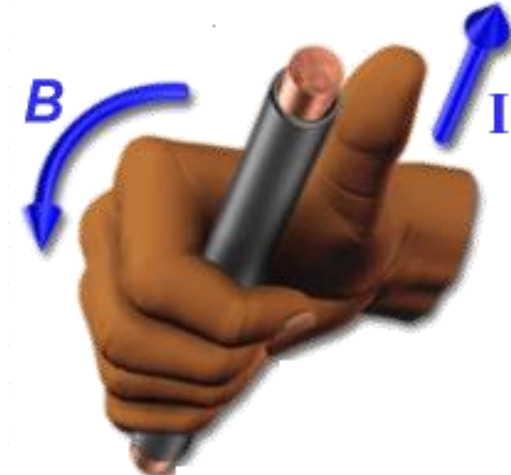
Симметрия законов электромагнетизма

$$\mathbf{F}_L = q[\mathbf{V} \times \mathbf{B}]$$

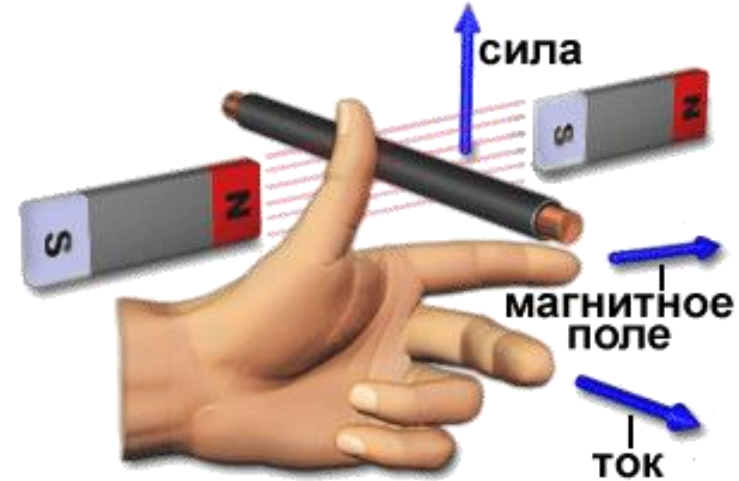
$$\frac{\partial \mathbf{B}}{\partial t} \Leftrightarrow -[\nabla \times \mathbf{E}]$$

$$\frac{\partial \mathbf{D}}{\partial t} \Leftrightarrow [\nabla \times \mathbf{H}]$$

Правило правой руки



Правило левой руки



Local multiferroicity of domain walls

1983: V. G. Bar'yakhtar, V. A. L'vov, D. A. Yablonskii, JETP Lett. 37, 673

Письма в ЖЭТФ, том 37, вып. 12, стр. 565 – 567

20 июня 1983 г.

ТЕОРИЯ НЕОДНОРОДНОГО МАГНИТОЭЛЕКТРИЧЕСКОГО ЭФФЕКТА

В.Г.Бар'яктар, В.А.Л'вов, Д.А.Яблонский

Предсказано существование электрической поляризации магнито-упорядоченных сред в области магнитной неоднородности, в частности внутри ломанных границ.

В тех случаях, когда в однородном магнитном кристалле имеется равновесная плотность электрической поляризации P , зависящая от состояния магнитной подсистемы, говорят о наличии в таком кристалле магнитоэлектрического (МЭ) эффекта (см., например, ^{1, 2}). Это явление тесно связано с магнитной симметрией системы ³. Перечень классов магнитной симметрии, допускающих наличие МЭ эффекта приведен в ⁴.

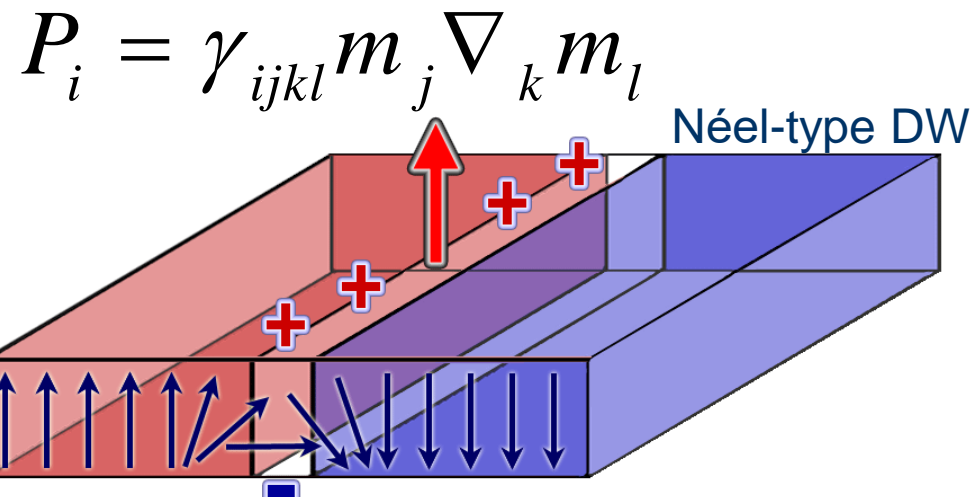
Если в силу каких-либо причин в магнитном кристалле образуется магнитная неоднородность, то группа его магнитной симметрии сужается (в случае неоднородности общего вида – до единичной группы). Это приводит к тому, что в области магнитной неоднородности возникает электрическая поляризация $P(r)$, симметрия пространственного распределения которой определяется симметрией магнитной неоднородности. Назовем такое явление неоднородным МЭ эффектом, а рассматриваемый обычно ^{1–4} МЭ эффект будем называть однородным. Подчеркнем, что указанный эффект должен иметь место в магнитных кристаллах любой симметрии (в том числе и не допускающих однородного МЭ эффекта). Возникновение электрической поляризации, связанной с наличием неоднородности (не обязательно магнитной природы), является весьма общим эффектом. Хорошо известен, в частности, флексоэлектрический эффект в щелевых кристаллах ⁵.

Если характерные размеры неоднородности λ намного превосходят размеры элементарной магнитной ячейки, то неоднородный МЭ эффект можно описать феноменологически. В случае ферромагнитного (ФМ) кристалла для этого нужно ввести в рассмотрение координатно зависящую плотность намагниченности $M(r)$. Вообще говоря, МЭ взаимодействия имеют как короткодействующую, так и дальнодействующую часть. В данной работе рассмотрим только случаи, в которых вкладом дальнодействующих сил в неоднородный МЭ эффект можно пренебречь. Тогда, ограничиваясь слагаемыми не выше второй степени по M_α ($\alpha = x, y, z$), и воспользовавшись малостью параметра a/λ (a – характерный радиус убывания МЭ взаимодействий), связь между поляризацией и намагниченностью запишем в следующем виде:

$$P_i(r) = f_{i,\alpha\beta}^{(0)} M_\alpha M_\beta + f_{ik,\alpha\beta}^{(1)} M_\alpha \frac{\partial M_\beta}{\partial x_k} + \frac{1}{2} \tilde{f}_{ikl,\alpha\beta}^{(2)} \frac{\partial M_\alpha}{\partial x_k} \frac{\partial M_\beta}{\partial x_l} + \frac{1}{2} f_{ikl,\alpha\beta}^{(2)} M_\alpha \frac{\partial^2 M_\beta}{\partial x_k \partial x_l} \quad (1)$$

Inhomogeneous ME interaction

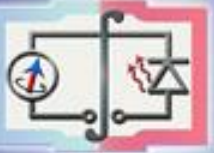
Magnetic inhomogeneity =>
Symmetry lowering =>
electric polarization



© Издательство „Наука“, Письма в ЖЭТФ, 1983 г.

565

E. Stefanovskii, Ferroelectrics 1994; A. Khalfina, M. Shamsutdinov, Ferroelectrics 2002; M. Mostovoy, PRL, 96, 067601 (2006); I. Dzyaloshinskii EPL 83 67001 (2008)



Inverted role of polar and magnetic vector

2019: D.M.Juraschek et al., Phys. Rev. Lett. **123**, 127601 (2019)

PHYSICAL REVIEW LETTERS 123, 127601 (2019)

Dynamical Magnetic Field Accompanying the Motion of Ferroelectric Domain Walls

Dominik M. Juraschek,^{1,*} Quintin N. Meier,¹ Morgan Trassin,¹ Susan E. Trolier-McKinstry,² Christian L. Degen,³ and Nicola A. Spaldin¹

¹Department of Materials, ETH Zurich, CH-8093 Zurich, Switzerland

²Materials Science and Engineering Department and Materials Research Institute, The Pennsylvania State University, University Park, Pennsylvania 16802, USA

³Department of Physics, ETH Zurich, CH-8093 Zurich, Switzerland

(Received 25 April 2019; published 17 September 2019)

The recently proposed dynamical multiferroic effect describes the generation of magnetization from temporally varying electric polarization. Here, we show that the effect can lead to a magnetic field at moving ferroelectric domain walls, where the rearrangement of ions corresponds to a rotation of ferroelectric polarization in time. We develop an expression for the dynamical magnetic field, and calculate the relevant parameters for the example of 90° and 180° domain walls, as well as for polar skyrmions, in BaTiO₃, using a combination of density functional theory and phenomenological modeling. We find that the magnetic field reaches the order of several μT at the center of the wall, and we propose two experiments to measure the effect with nitrogen-vacancy center magnetometry.

DOI: 10.1103/PhysRevLett.123.127601

The domain walls that separate different orientations of electric polarization in ferroelectric materials have long been of interest because their motion governs the process of ferroelectric switching in an electric field [1]. Recently, a range of unexpected behaviors has been discovered at domain walls that do not occur in the bulk of the domains, suggesting additional interest in domain walls as functional entities in their own right [2]. These include electrical conductivity [3–7] or even superconductivity [8] in otherwise insulating systems, ferrielectricity [9], as well as magnetoelectricity [10–14], strongly anisotropic magnetoresistance [15], and intriguing dualities between domain walls and the domains themselves [16].

Of particular interest for this work is the electric polarization that has been shown to arise at certain magnetic domain walls in otherwise nonpolar materials [17–20]. The local wall polarization is a consequence of the spatially varying magnetization at the magnetic domain wall, and is described by $\mathbf{P} \sim \mathbf{M} \times (\nabla_{\mathbf{r}} \times \mathbf{M})$ [21,22]. This mechanism is well established for the case of bulk multiferroics, in which a macroscopic ferroelectric polarization is generated via a spin spiral [23–26]. Here we describe the reciprocal effect, in which dynamical magnetization may arise at moving ferroelectric domain walls in otherwise nonmagnetic materials. This phenomenon has its origin in the recently described dynamical multiferroic effect [27], which describes magnetization generated from temporally varying electric polarization. The magnetization is given by $\mathbf{M} \sim \mathbf{P} \times \partial_t \mathbf{P}$ [28], and the mechanism has been proposed to lead to new behaviors, including a phonon Zeeman effect [27], exotic quantum criticality [29], and phonon orbital magnetism [30].

Here, we discuss the link between dynamical multiferroicity and ferroelectric domain wall functionality by showing theoretically that the motion of ferroelectric domain walls can be accompanied by a dynamical magnetic field. After extending the formalism of dynamical multiferroicity to the case of domain wall motion, we present numerical results for the prototypical ferroelectric barium titanate (BaTiO₃), based on first-principles calculations combined with phenomenological modeling using experimental parameters. Finally, we discuss the possibility of detecting the dynamical magnetic field experimentally using nitrogen-vacancy center magnetometry.

Theoretical formalism.—We begin by deriving an expression for the dynamical magnetic field at ferroelectric domain walls. Our derivation extends the recently developed microscopic theory for calculating the magnetic moments of optical phonons within the dynamical multiferroicity framework [27] to the case of moving ionic moments at ferroelectric domain walls. The input parameters in the expression that we obtain can be computed using density functional theory.

The ionic magnetic moment \mathbf{m} of a unit cell is given by

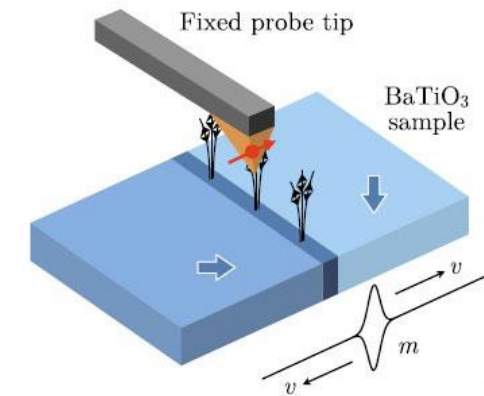
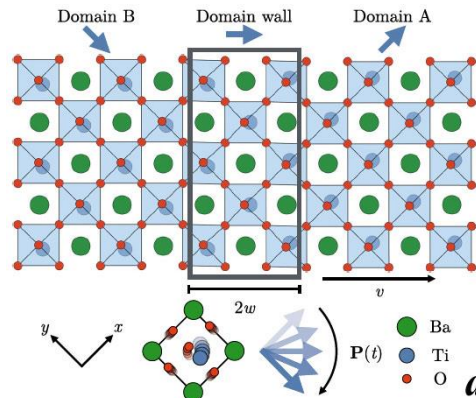
$$\mathbf{m} = \sum_i \mathbf{m}_i = \sum_i \gamma_i \mathbf{L}_i, \quad (1)$$

where \mathbf{m}_i and \mathbf{L}_i are the magnetic moment and the angular momentum arising from the motion of ion i , and the sum runs over all ions in the unit cell. $\gamma_i = e \mathbf{Z}_i^*/(2M_i)$ is the gyromagnetic ratio tensor of the ion given by the elementary charge e , the Born effective charge tensor \mathbf{Z}_i^* , and the atomic mass M_i .

Dynamic ME coupling

Polarization derivative =>
T-odd =>
Magnetization

$$m_i = \gamma_{ijk} P_j \partial P_k / \partial t$$



Inverted plot fairytale

2019: D.M.Juraschek et al., Phys. Rev. Lett. **123**, 127601 (2019)

PHYSICAL REVIEW LETTERS 123, 127601 (2019)

Dynamical Magnetic Field Accompanying the Motion of Ferroelectric Domain Walls

Dominik M. Juraschek,^{1,†} Quinton Christian,¹ Christian...
¹Department of Materials Science and Engineering Department of Physics, University of...
²Department of Physics, University of...
✉ (Received 2018-08-16, revised 2019-01-15, accepted 2019-01-15)

The recently proposed dynamical multiferroicity to the case of domain wall motion, we present numerical results for the prototypical ferroelectric titanate (BaTiO_3), based on first-principles calculations combined with phenomenological modeling using experimental parameters. Finally, we discuss the possibility of detecting the dynamical magnetic field experimentally using nitrogen-vacancy center magnetometry.

The domain walls that separate different orientations of electric polarization in ferroelectric materials

DOI: 10.1103/PhysRevLett.123.127601

The ionic magnetic moment \mathbf{m} of a unit cell is given by

$$\mathbf{m} = \sum_i \mathbf{m}_i = \sum_i \gamma_i \mathbf{L}_i, \quad (1)$$

where \mathbf{m}_i and \mathbf{L}_i are the magnetic moment and the angular momentum arising from the motion of ion i , and the sum runs over all ions in the unit cell. $\gamma_i = e\mathbf{Z}_i^*/(2M_i)$ is the gyromagnetic ratio tensor of the ion given by the elementary charge e , the Born effective charge tensor \mathbf{Z}_i^* , and the atomic mass M_i .

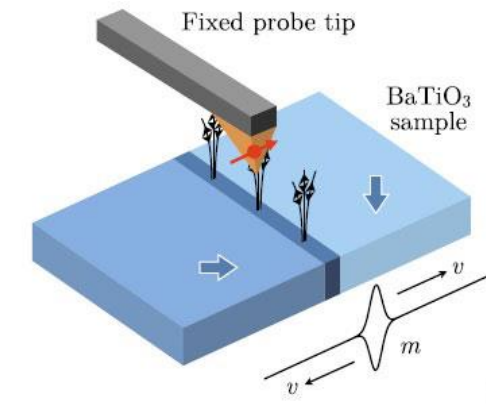
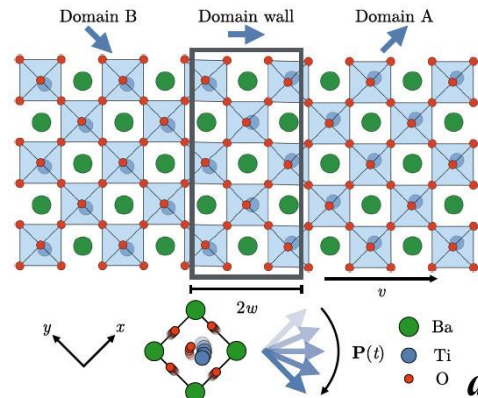


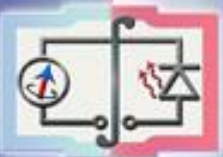
The recently described dynamical multiferroic effect [27], which describes magnetization generated from temporally varying electric polarization. The magnetization is given by $\mathbf{M} \sim \mathbf{P} \times \partial_t \mathbf{P}$ [28], and the mechanism has been proposed to lead to new behaviors, including a phonon Zeeman effect [27], exotic quantum criticality [29], and phonon orbital magnetism [30].

Dynamic ME coupling

Polarization derivative =>
T-odd =>
Magnetization

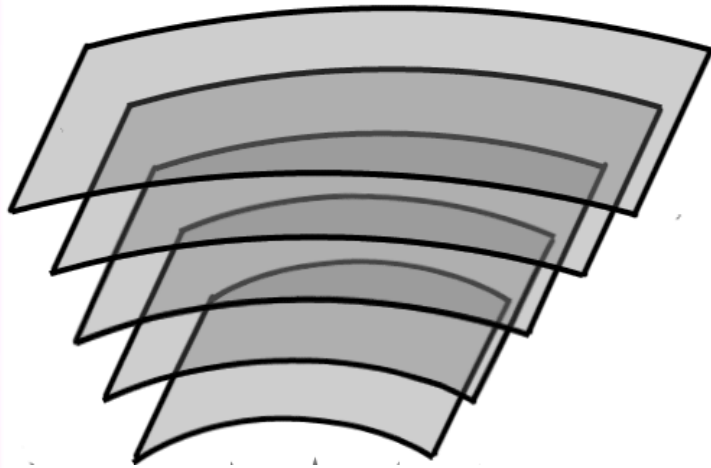
$$m_i = \gamma_{ijk} P_j \partial P_k / \partial t$$



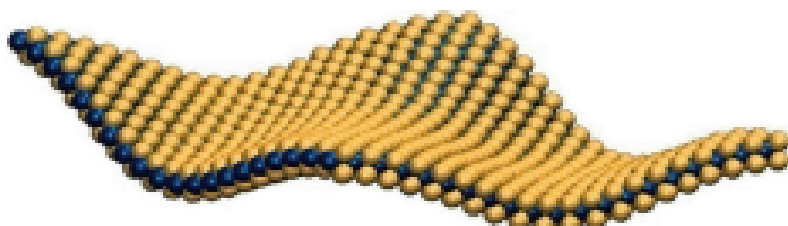


Два типа неоднородных деформаций

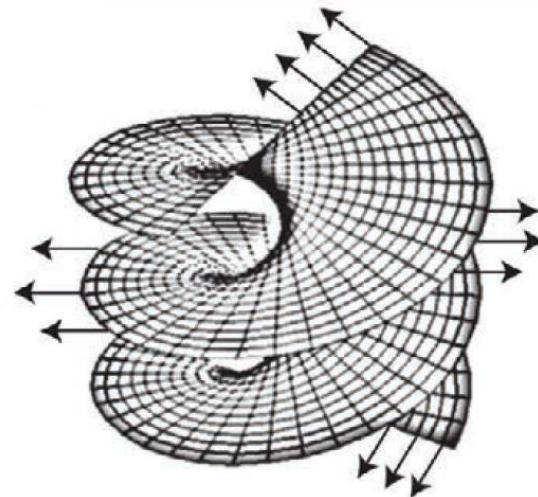
Изгиб



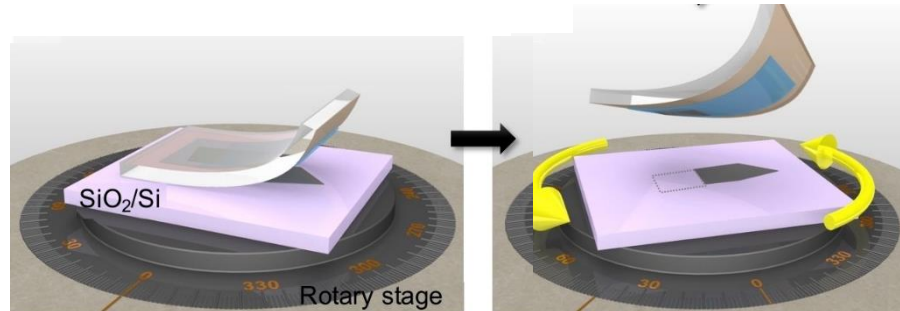
**Flexible
electronics**



Скручивание



Twistronics



Tear-and-stack



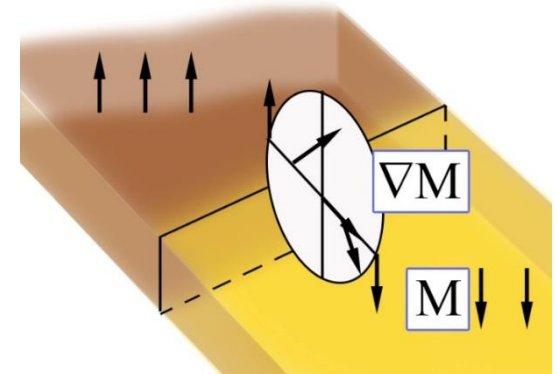
Local ferroelectricity

Inhomogeneous magnetoelectric effect

$$P \sim m \nabla \cdot m$$

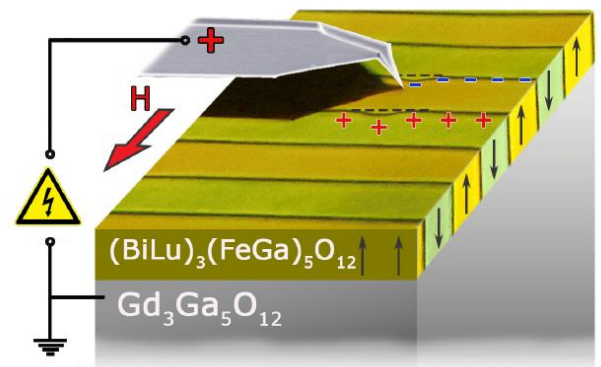
(electric polarization of Neel-type wall)

[V. G. Bar'yakhtar et al, JETP Lett. 37, 673 (1983)]



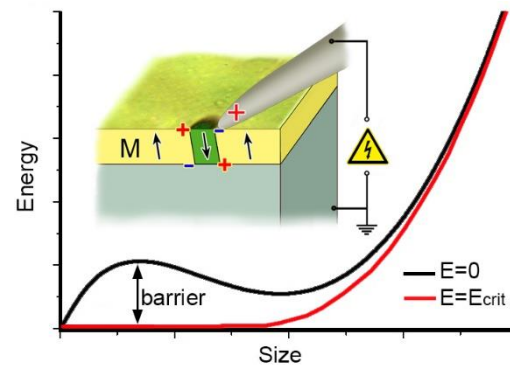
Coulomb interaction of domain wall and tip electrode:

1. DW motion



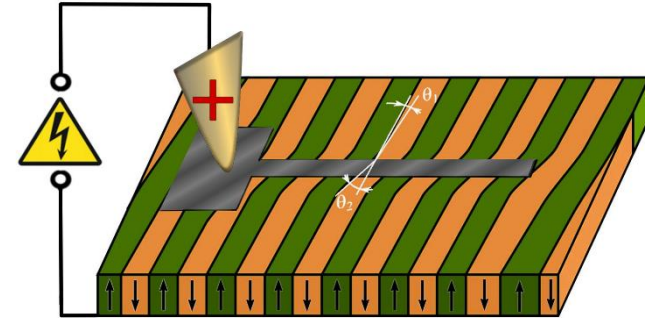
JETP Lett. 2007;
Phys. Rev. B, 104, 144407 (2021)

2. Bubble domain nucleation



JETP Lett. 2016;

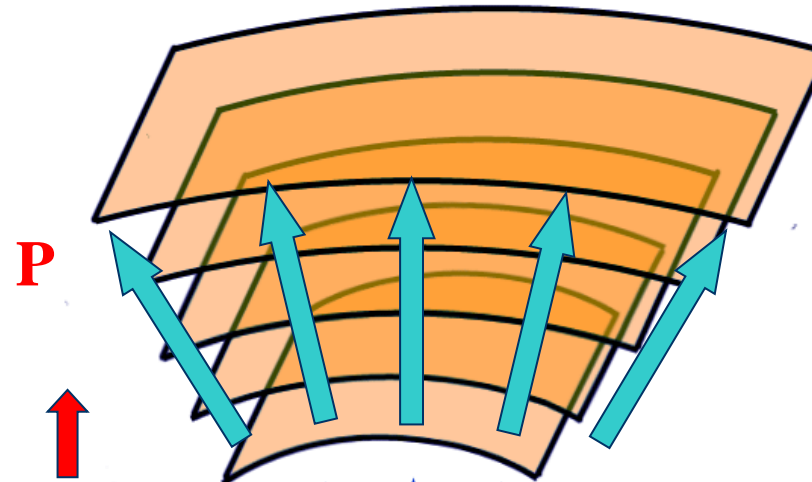
3. DW "refraction"



JETP Lett. 118 n.4 (2023)



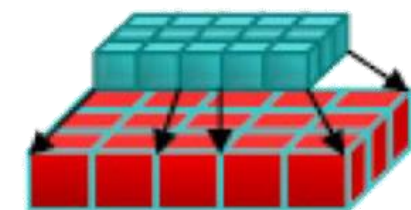
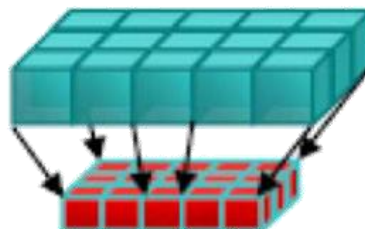
Epitaxial strain as a source of flexo-effects



Compressive strain



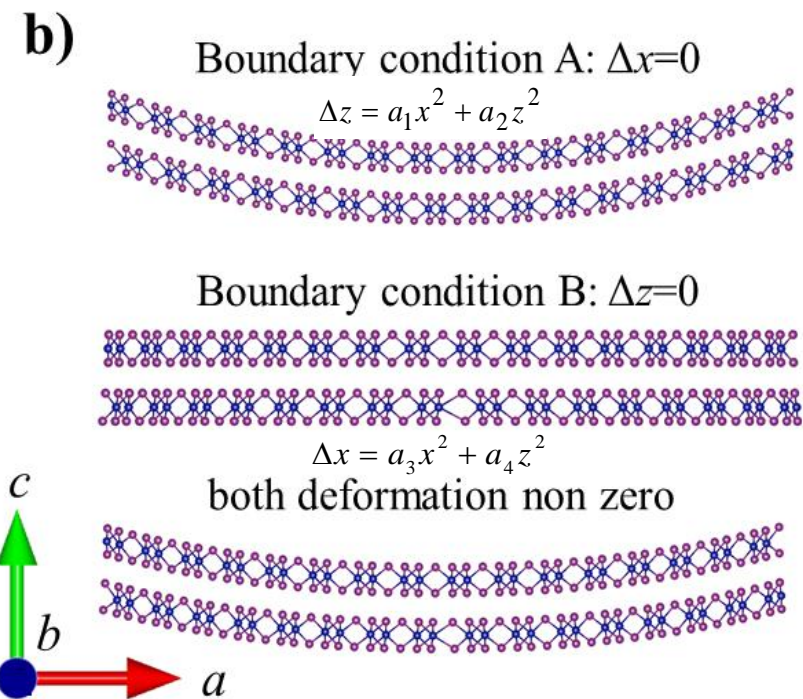
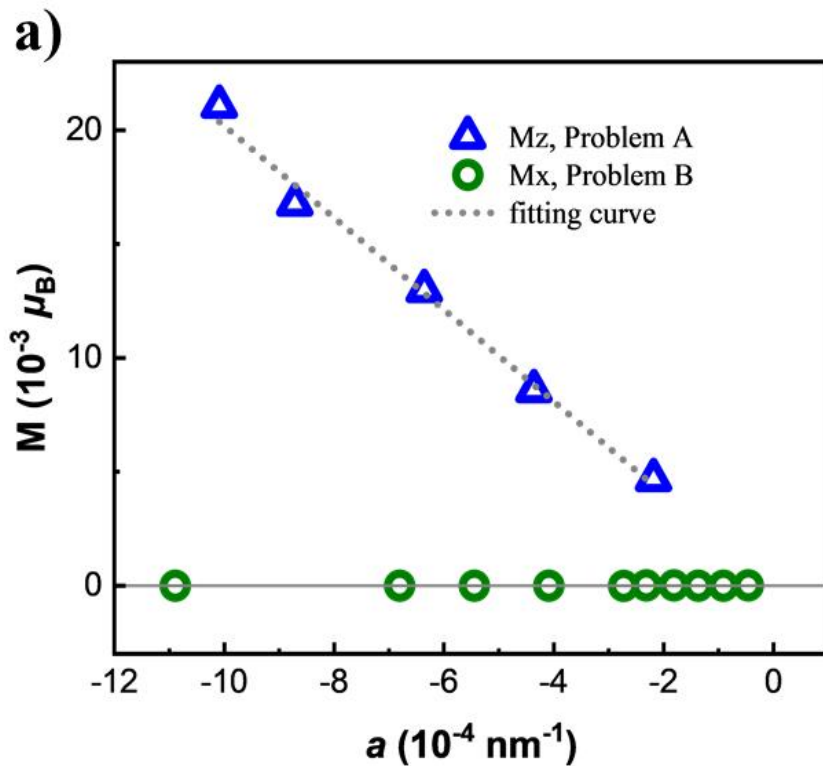
Tensile strain





Флексомагнитный эффект

CrI₃ bilayer as an 2D-antiferromagnet

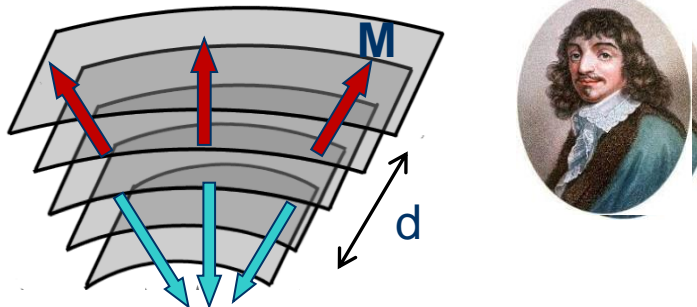


Flexomagnetic effect = $200 \mu_B \text{ \AA}$

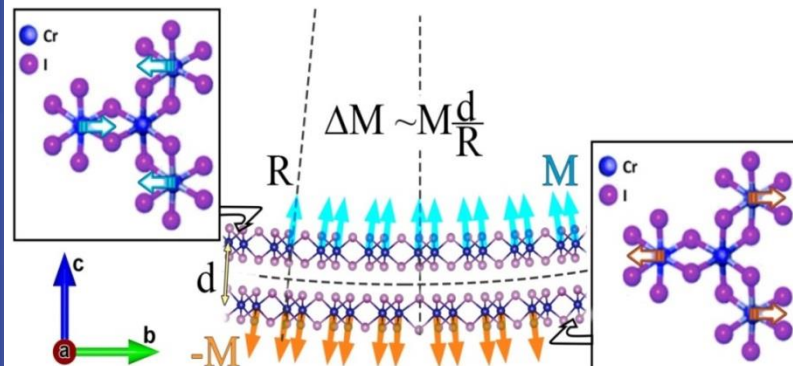
The estimates of the flexomagnetism



«Geometrical» standard



Bilayer CrI₃



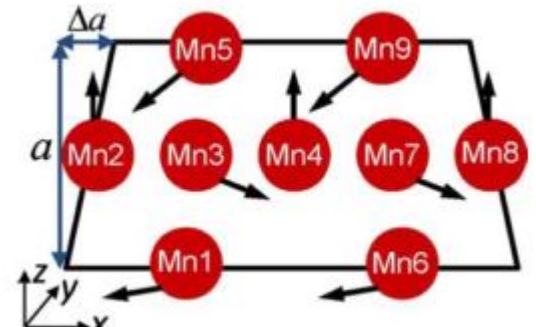
Lei Qiao, Ren Wei, A.S. Kaminskiy, A. Pyatakov et al,
Phys. Rev. B, 109, 014410 (2024)

Flexomagnetic effect $\sim M \times d$

$$\frac{\Delta M}{M} \sim \frac{d}{R}$$

[Flexomagnetic effect] = μ_B Å

Antiperovskite Mn₃GaN

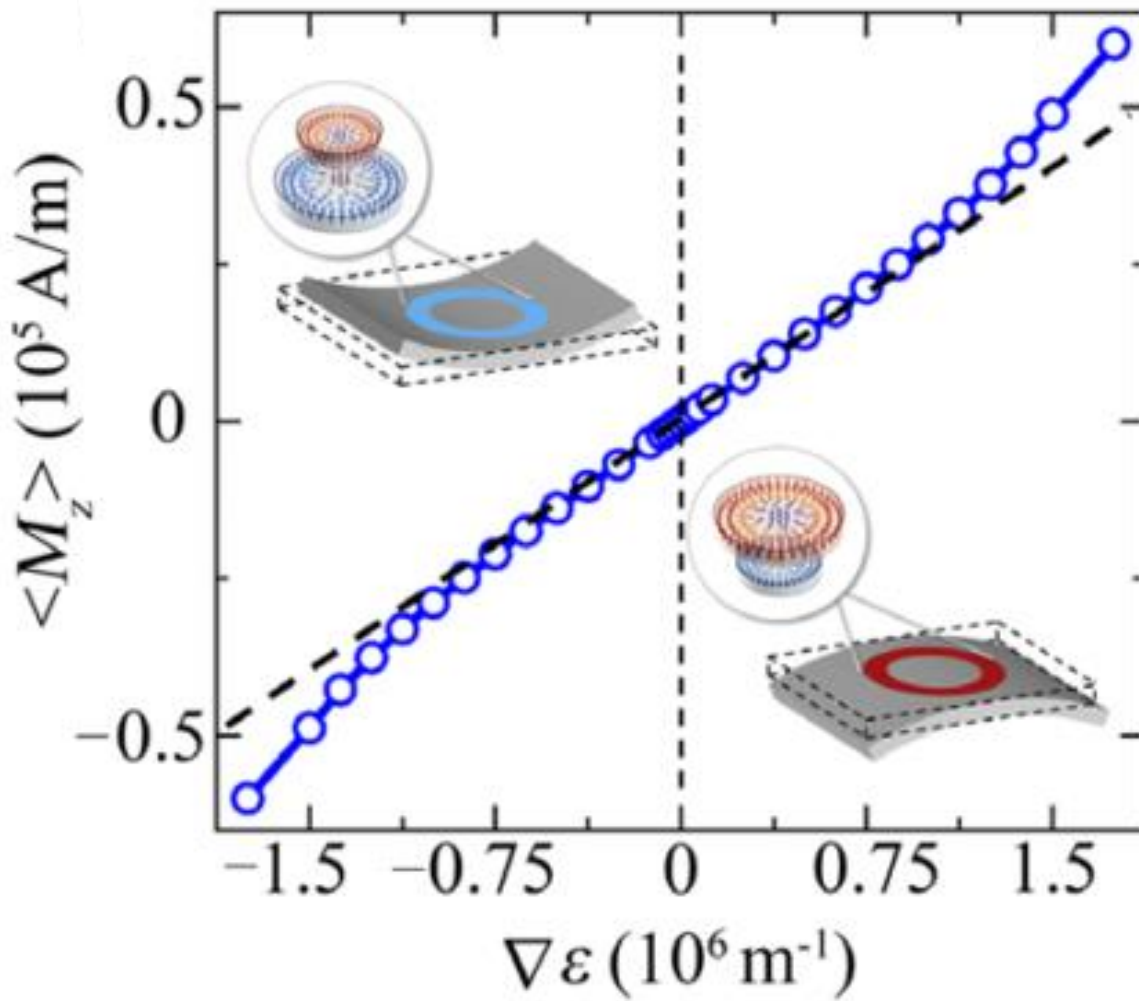


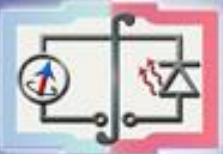
Flexomagnetic effect = $2 \mu_B$ Å

P. Lukashev, R. Sabirianov,
Phys. Rev. B 82, 094417 (2010)



“Topologically enhanced” flexomagnetic effect





Электромагнетизм и магнитоэлектричество

- **Только** в динамике

$$\frac{\partial \mathbf{B}}{\partial t} \Rightarrow -[\nabla \times \mathbf{E}]$$

$$\frac{\partial \mathbf{D}}{\partial t} \Rightarrow [\nabla \times \mathbf{H}]$$

- И в вакууме
и в веществе

- И в динамике

и в статике

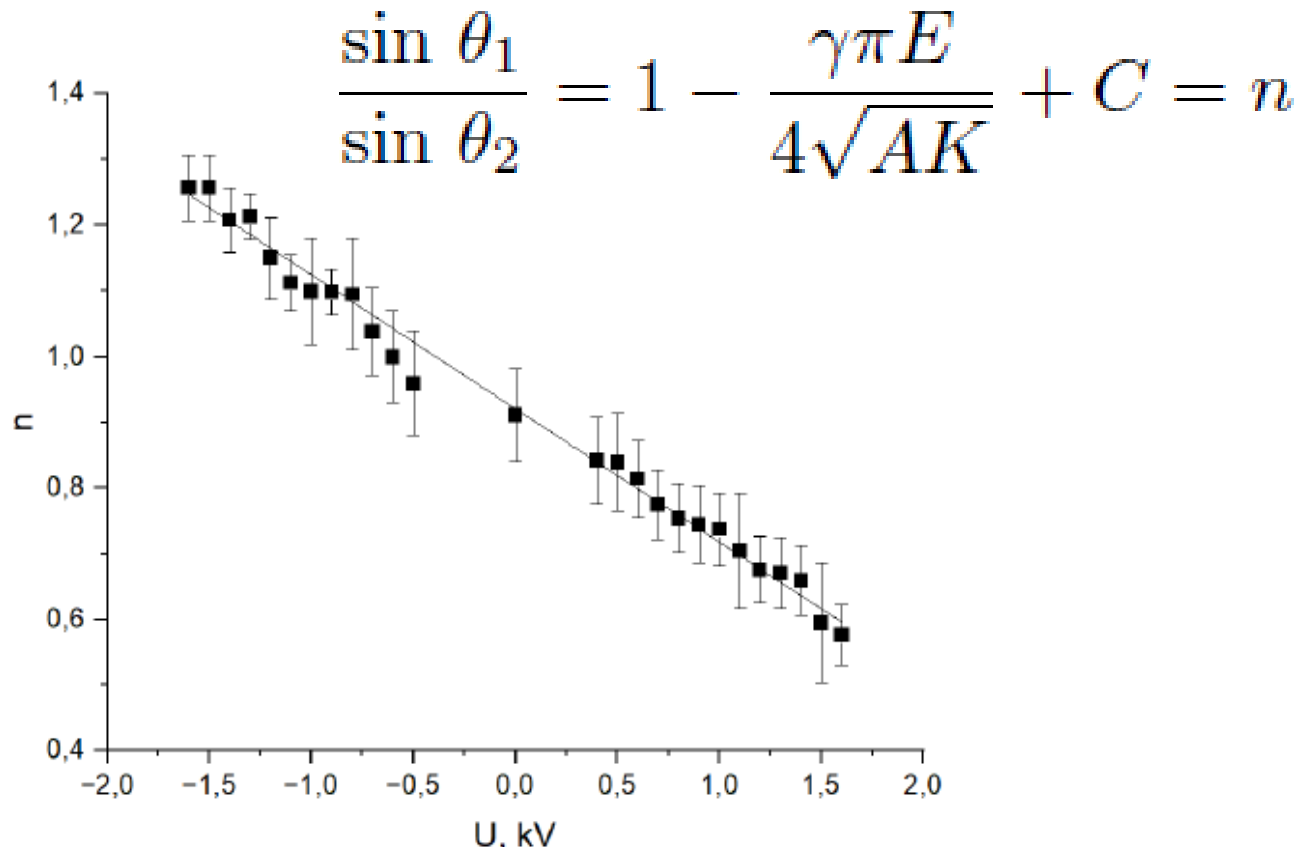
$$\mathbf{H} \Rightarrow \mathbf{P}$$

$$\mathbf{E} \Rightarrow \mathbf{M}$$

- **Только**
в веществе



Зависимость показателя преломления от Е



$$\sigma_{DW} = \sqrt{(A/K)} = 0.01 \text{ erg/cm}^2$$

$$M=5G \Rightarrow 2\pi M^2/K \ll 1$$

$$\sigma_{ME} = \pi \gamma E_{max} \sim 0.003 \text{ erg/cm}^2$$

Поверхностное натяжение в магнетизме

Обменная энергия

$$W_{exch} = A \cdot \sum_{\alpha=x,y,z} (\nabla \mathbf{m}_\alpha)^2$$

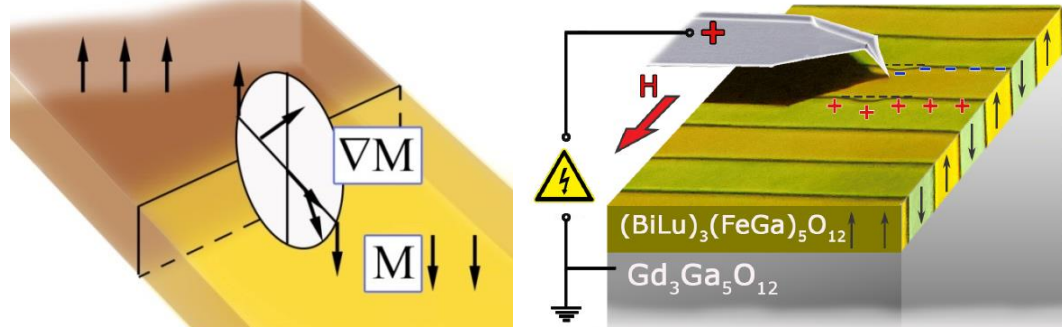
Энергия анизотропии $w_{an} = K \cdot (\mathbf{m}_z)^2$

Поверхностная плотность энергии

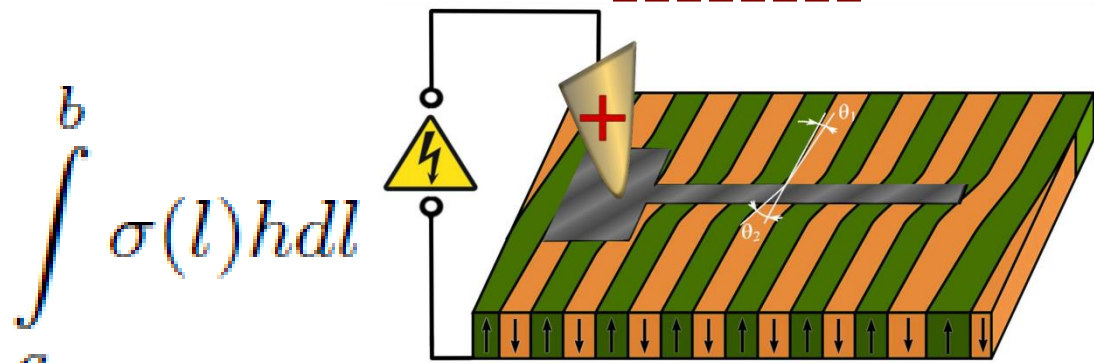
Минимизация функционала:

Магнитоэлектрический вклад

$$w_{ME} = \gamma \mathbf{E} \cdot (\mathbf{m} \cdot (\nabla \cdot \mathbf{m}) - (\mathbf{m} \cdot \nabla) \mathbf{m})$$



$$\sigma_{DW} = 4\sqrt{AK_u} [-\pi\gamma E]$$



$$W = \int_a^b \sigma(l) h dl$$



Ниша стрейнтроники



Goggle data center (Netherlands)



Facebook Arctic data center (Sweden)

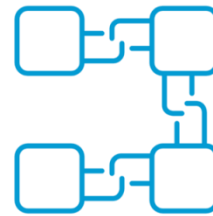
BIG DATA



1987 2 Terrabytes
1997 60 Petabytes
2025 =>200 Zettabytes



30 Goggle searches
boiling 1 liter (Theo Rasing)

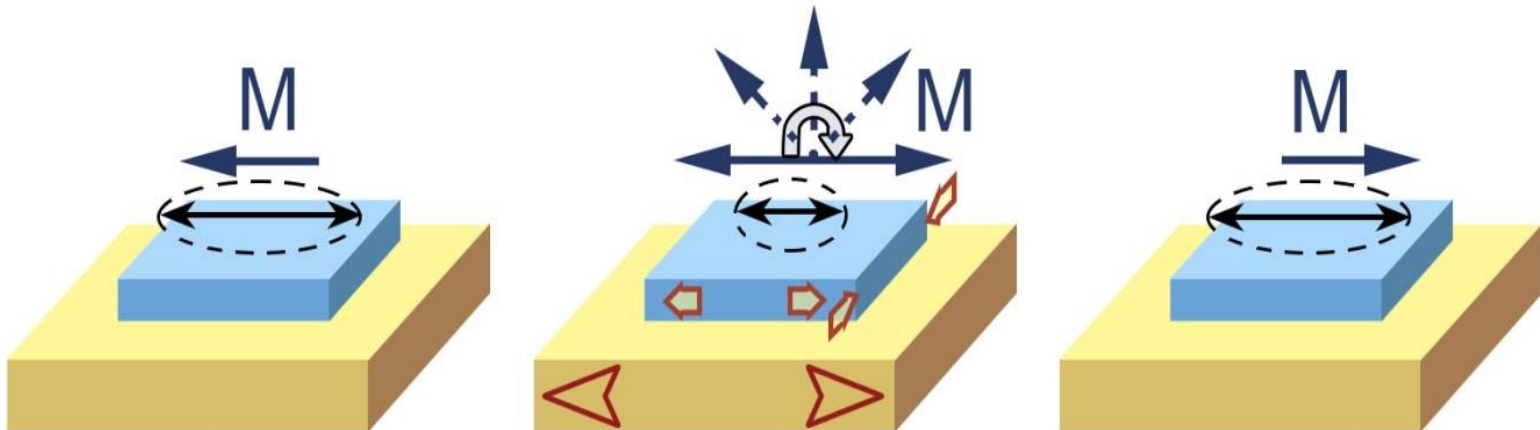


Blockchain

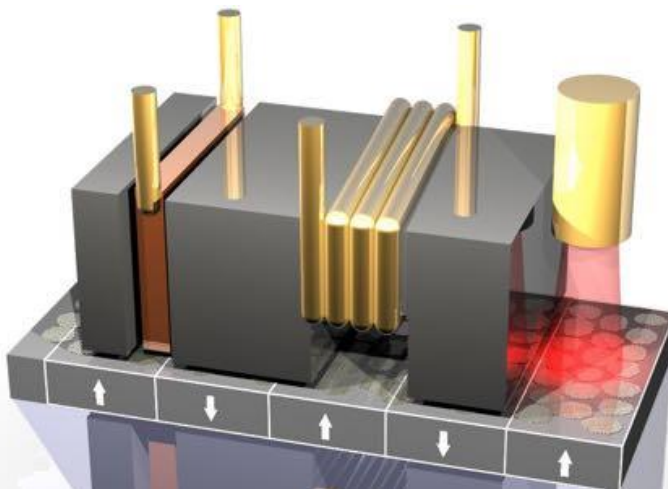
2020 => 10^{15} Вт*ч
2025 => 10^{16} Вт*ч



Strain-assisted switching of magnetization

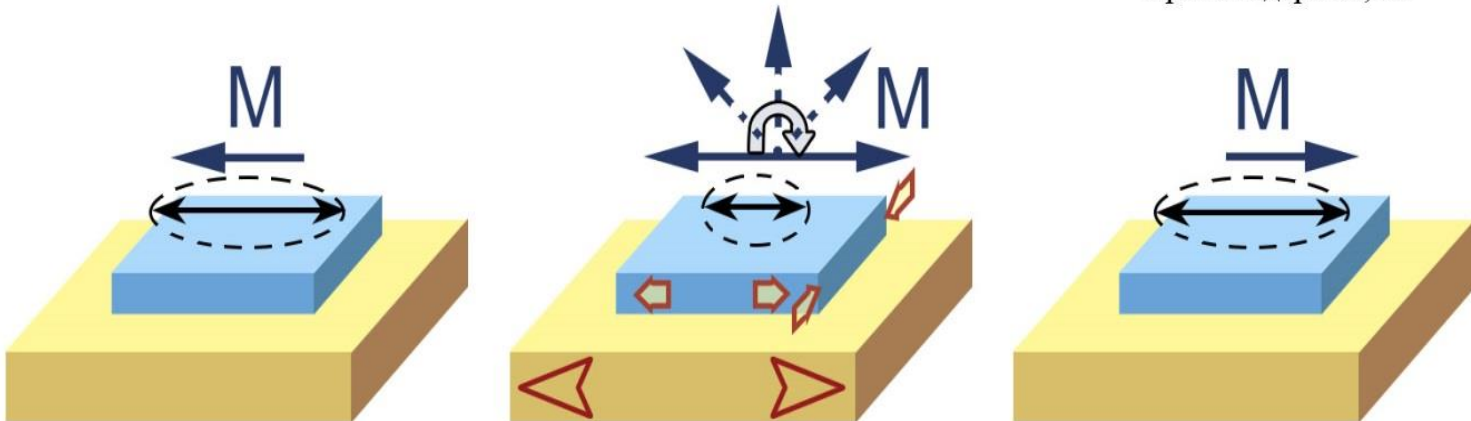
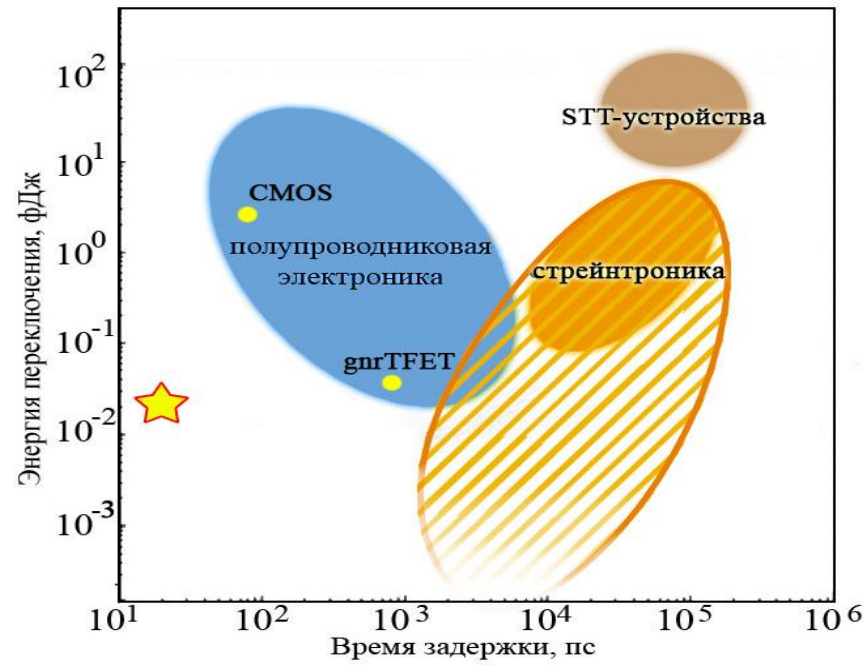
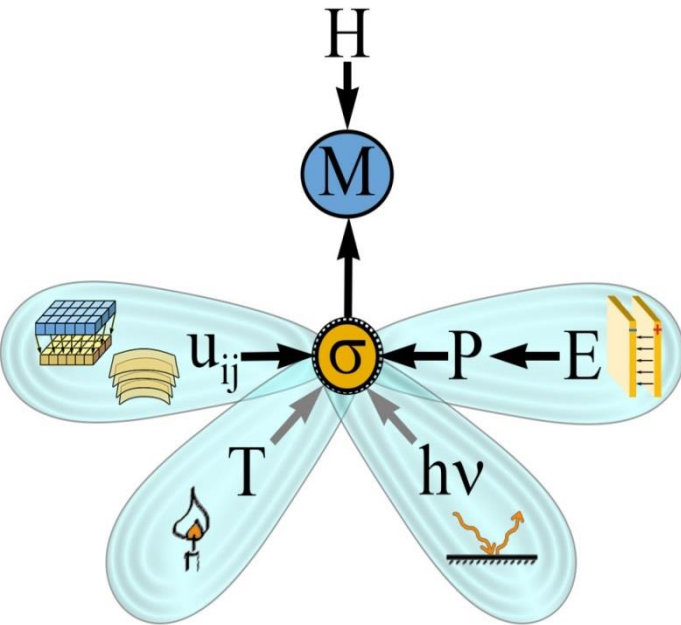


2008: Y Li, YQ Li, Strain-assisted spin manipulation in a quantum well, Eur.Phys.J. B, 63, 493
2009: Th. Hauet et al Strain-assisted magnetic recording, US20100259846A1



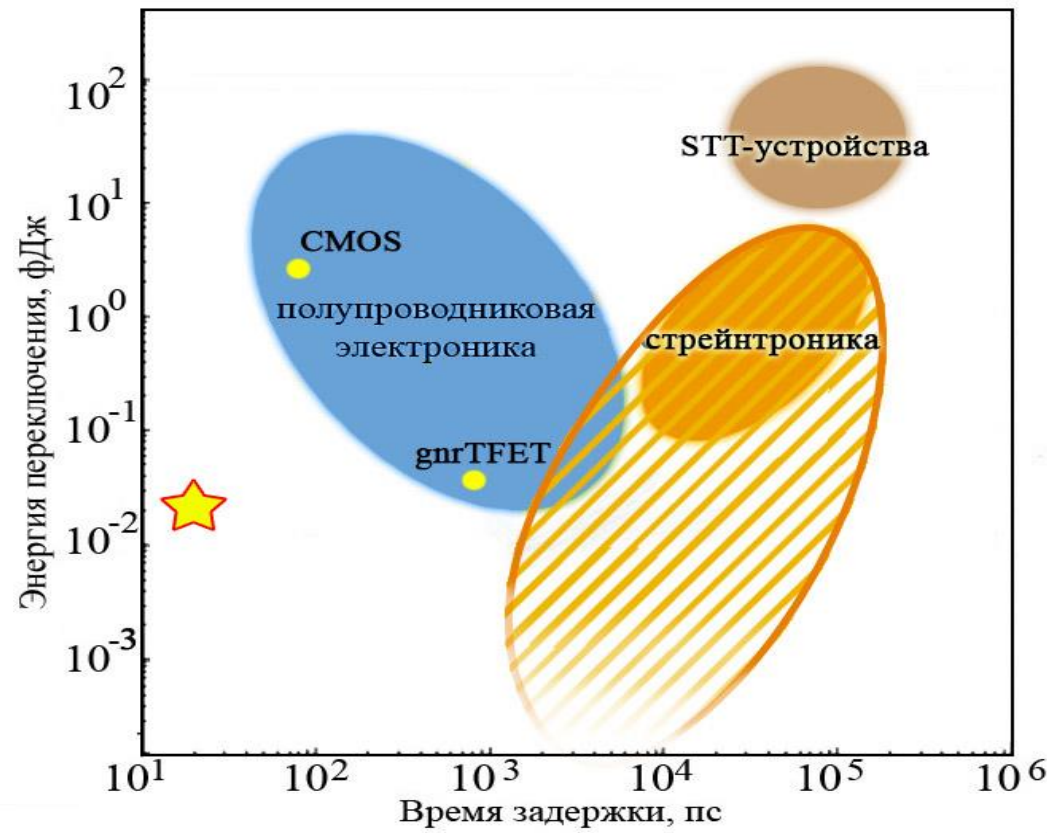
Heat-Assisted Magnetic Recording (“20TB+ HAMR”)

Стрейнтроника





Niche of Straintronics

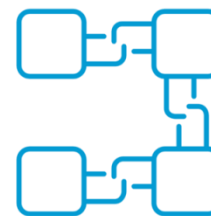


BIG DATA



=> 10^{16} Wh

=> 1aJ (250kT)

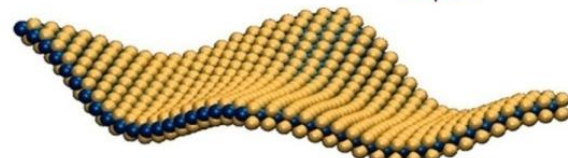
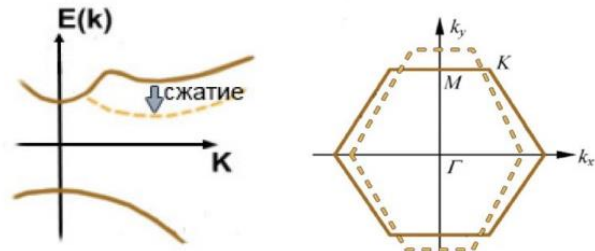


Blockchain

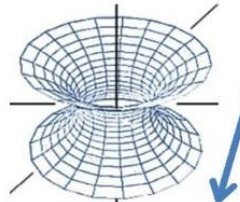


Две ветви стрейнtronики

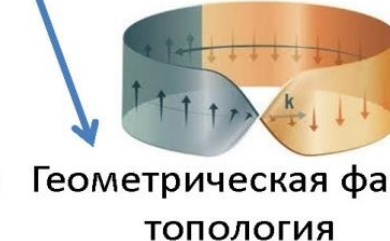
Стрейнtronика полупроводников и 2D материалов



Механическая модификация
электронной структуры

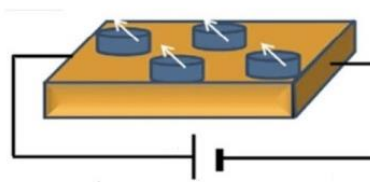


Физ. моделирование
ОТО

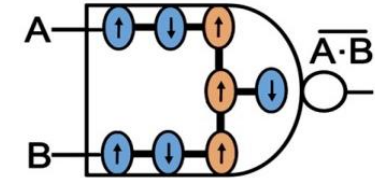


Геометрическая фаза,
топология

Магнитная стрейнtronика



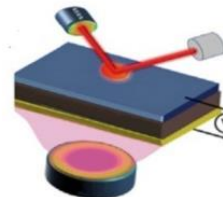
Устройства
магнитной памяти



Магнитные
логические схемы

Гибридная спинtronика-страйнtronика

Фото-
страйнtronика
(light mediated)

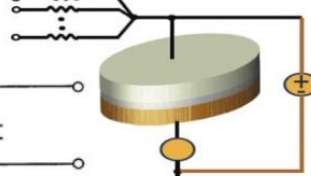


Новые электр.
компоненты

$$\bullet \text{---} \bullet \\ d\varphi = Tdq$$

↓

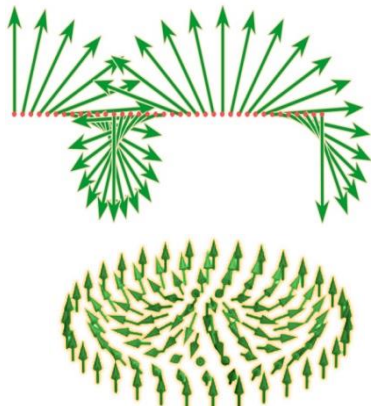
Нейроморфная
страйнtronика



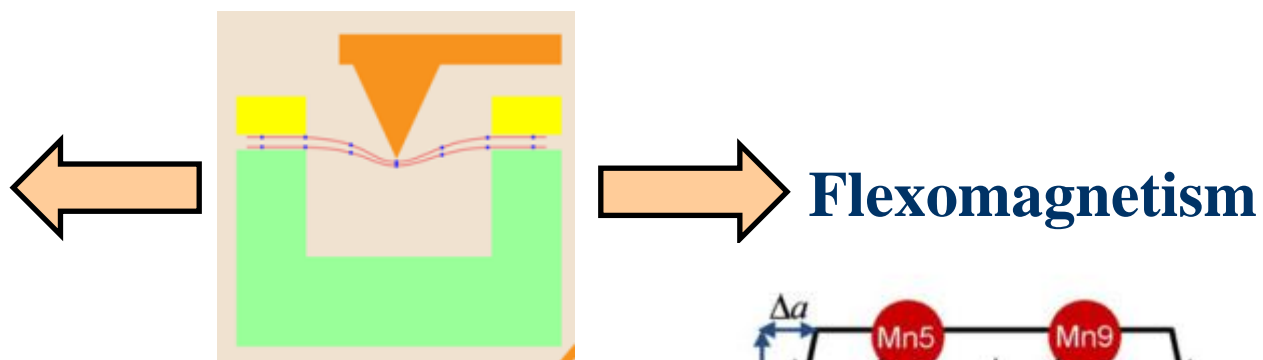
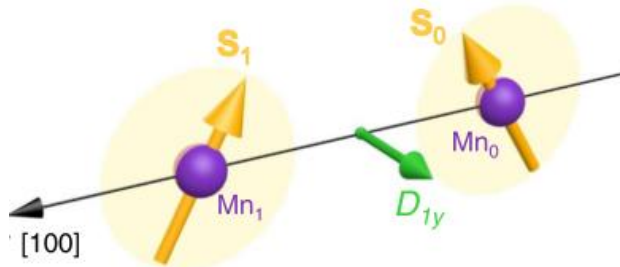
А.А. Бухараев, А.К. Звездин, А.П. Пятаков, Ю.К. Фетисов
«Страйнtronика — новое направление микро- и наноэлектроники и науки о
материалах» т. 188, с. 1288–1330 (2018)

Summary and outlook: New horizons of straintronics

Spin
flexoelectricity

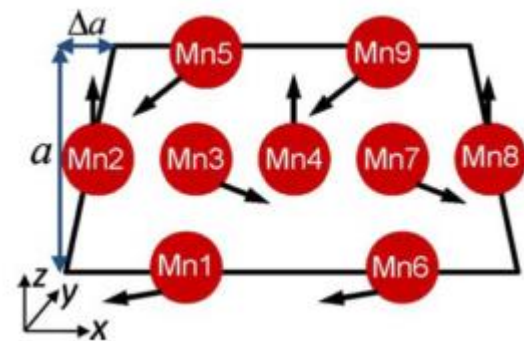


Antisymmetrical exchange
(DMI)

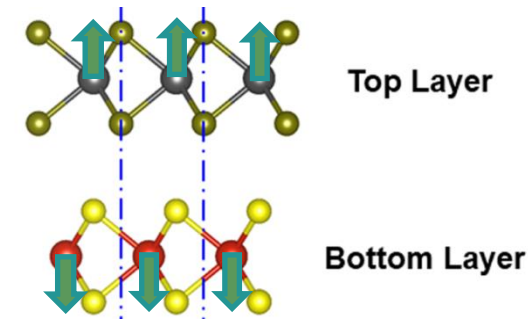


Mechanical Control:

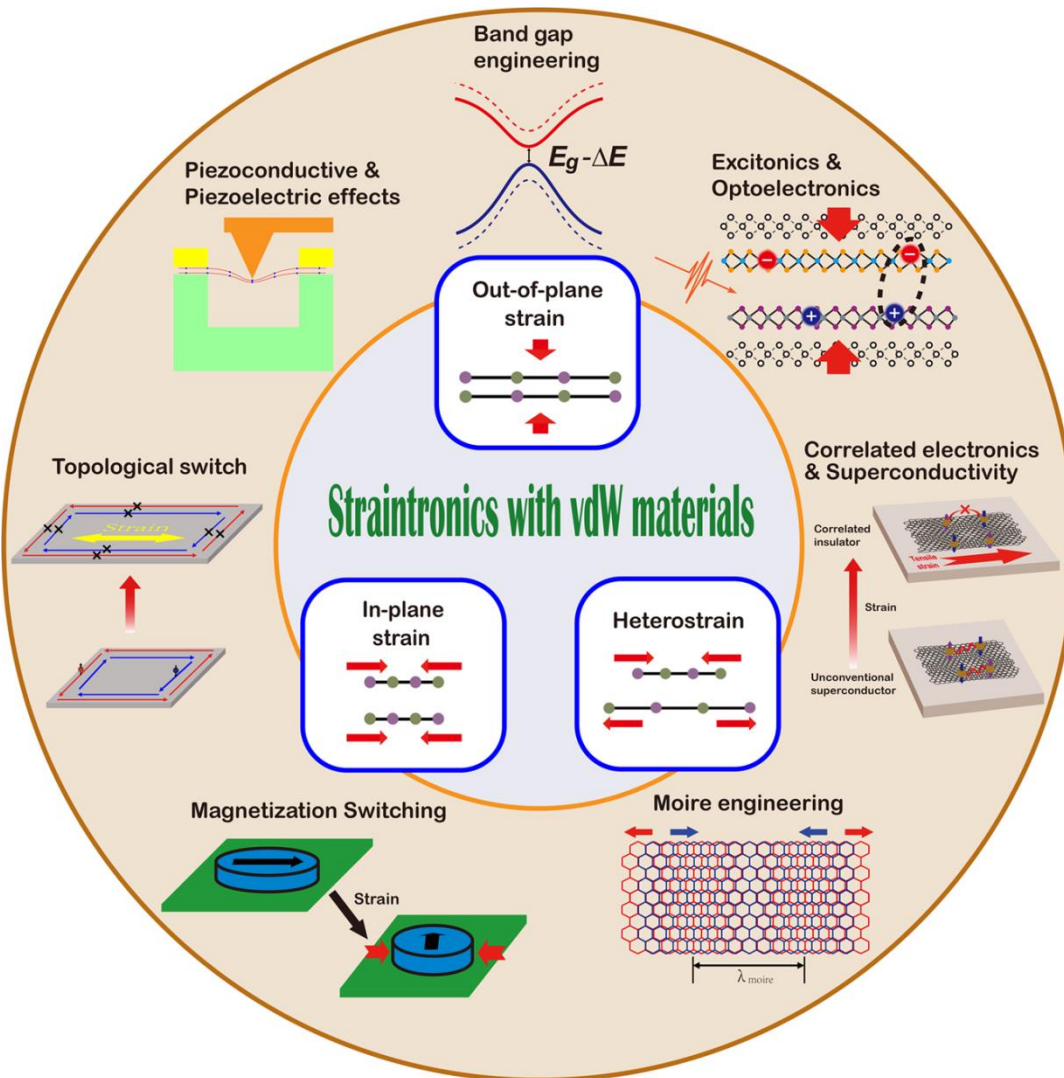
- Magnetization
- Magnetoresistance
- Magnon propagation
- Skyrmion propagation



Symmetrical exchange
(Heisenberg)



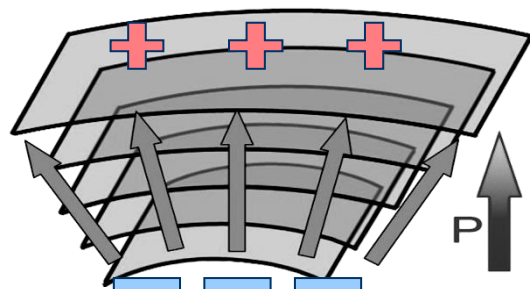
New horizons of straintronics





Spin flexoelectricity vs flexomagnetism

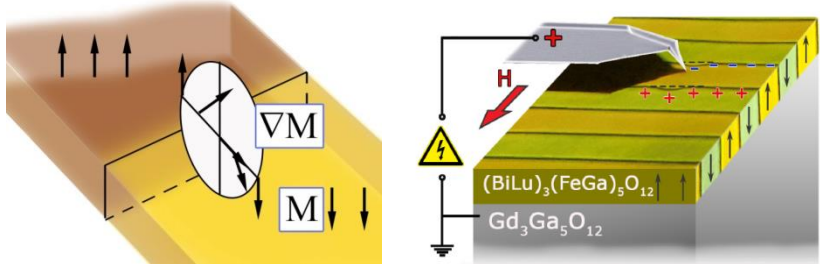
Flexoelectric



$$\mathbf{P} \sim \mathbf{m} \nabla \cdot \mathbf{m}$$

Theory: A. Sparavigna et al, PRB **50**, 2953

V. G. Bar'yakhtar et al,
JETP Lett. **37**, 673 (1983) as "Inhomog. ME"



Experiment: A.S. Logginov et al,
JETP Lett. V.86, n.2, p.115 (2007)

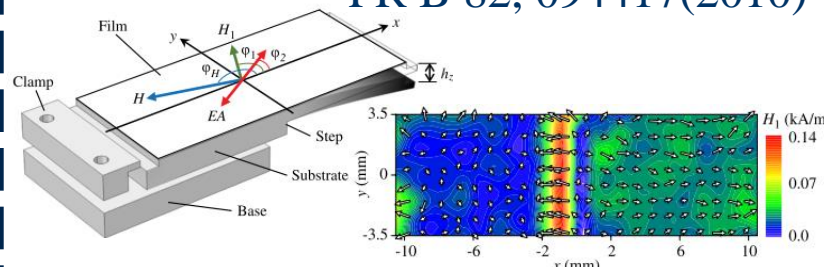
Flexomagnetic



$$\mathbf{M} \sim \nabla \sigma$$

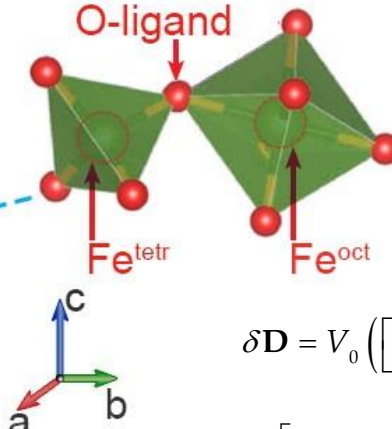
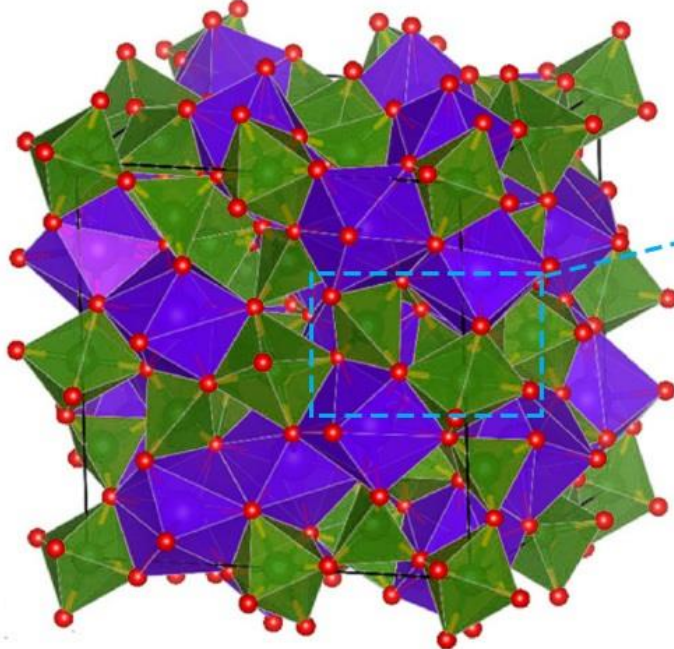
Anal. theory: E.A. Eliseev et al,
Phys. Rev. B **79**, 165433 (2009)

Ab initio: P. Lukashev, R. Sabirianov,
PR B **82**, 094417(2010)



Experiment:
B. Belyaev et al, Phys. Status Solidi,\
RRL 2019, 1900467

Spin structure chirality defined by strain gradient



ME constant:

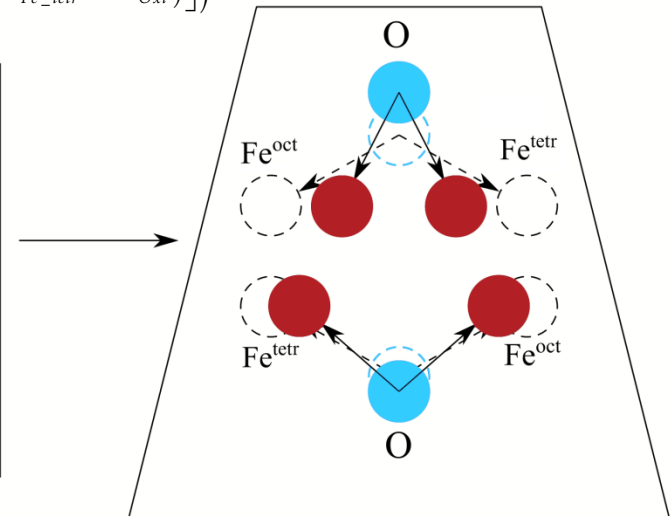
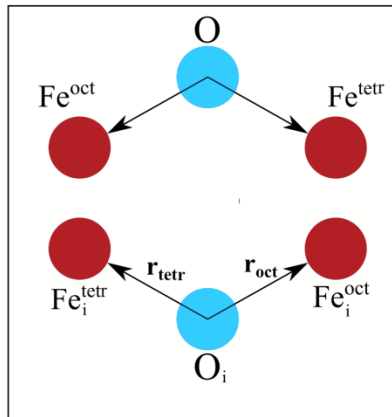
$$\gamma = \frac{NV_0(\mathbf{r}_{oct} - \mathbf{r}_{tetr})^2 |\mathbf{r}_{oct} + \mathbf{r}_{tetr}|}{4a^2} \nabla \varepsilon$$

Strain gradient $\sim 0.3 \mu\text{m}^{-1}$

$$\mathbf{D}_i = V_0 [\mathbf{r}_{oct} \times \mathbf{r}_{tetr}]$$

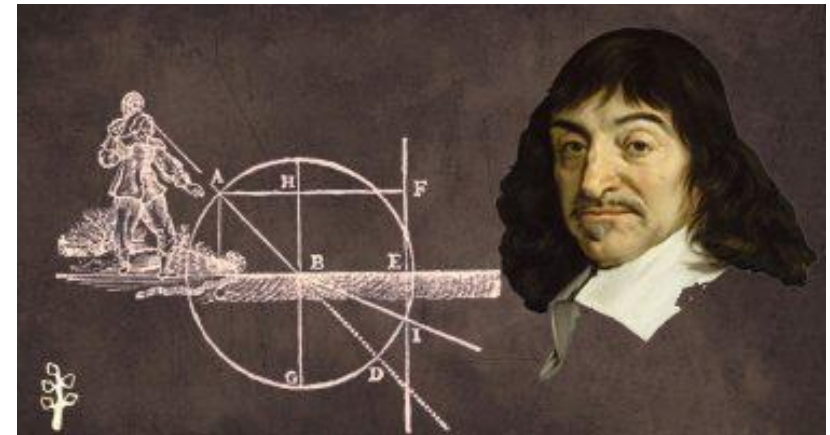
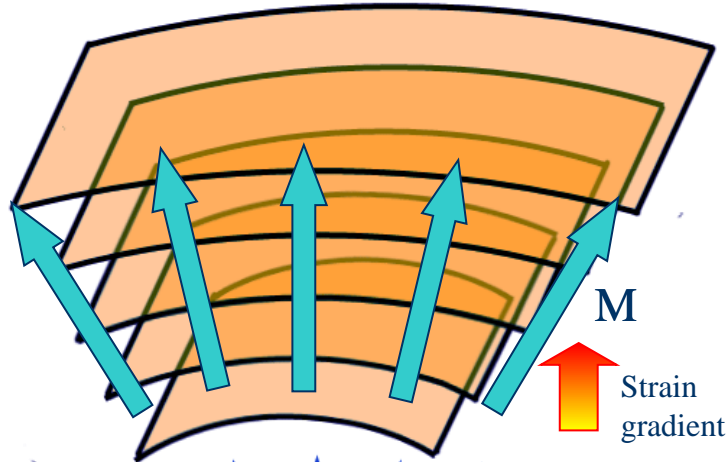
$$W = \sum_i (\delta \mathbf{D}_i \cdot [\mathbf{s}_i \times \mathbf{s}_{i+1}])$$

$$\begin{aligned} \delta \mathbf{D} = V_0 & \left([(\delta \mathbf{r}_{Fe_oct} - \delta \mathbf{r}_{Oxi}) \times (\mathbf{r}_{Fe_tetr} + \delta \mathbf{r}_{Fe_tetr} - \delta \mathbf{r}_{Oxi})] + \right. \\ & \left. + [\mathbf{r}_{Fe_oct} \times (\delta \mathbf{r}_{Fe_tetr} - \delta \mathbf{r}_{Oxi})] \right) \end{aligned}$$

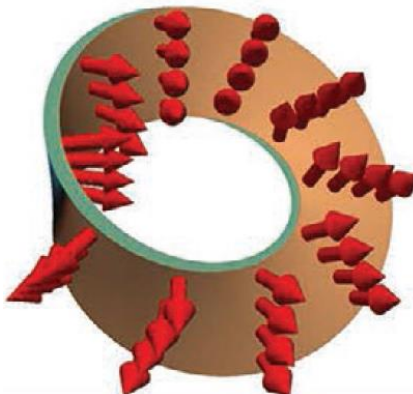


Geometry defined magnetic structures

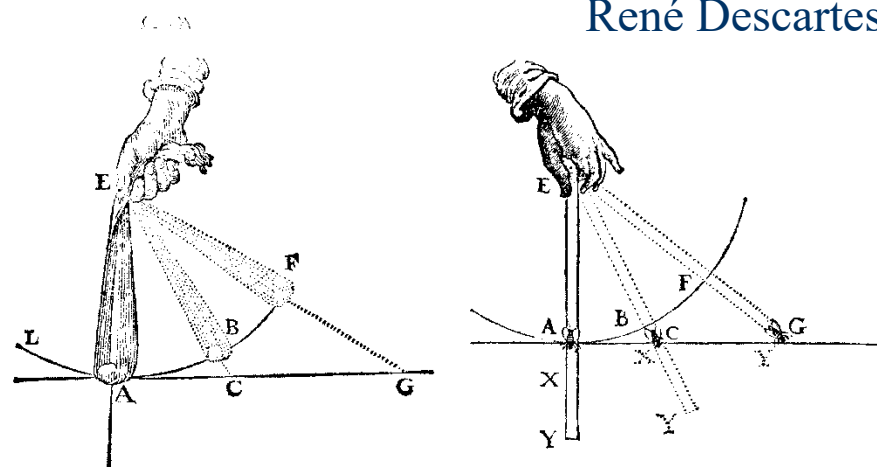
Curvature-induced effects

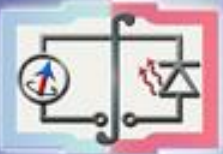


Topologically protected domain wall



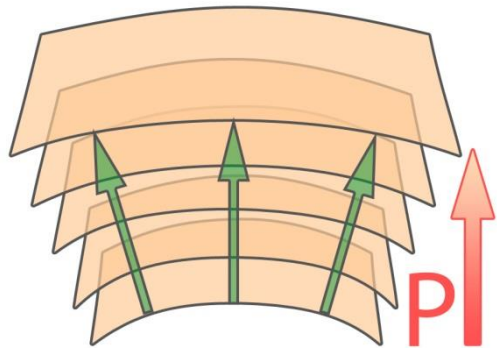
"Toute ma Physique n'est que géométrie"
René Descartes





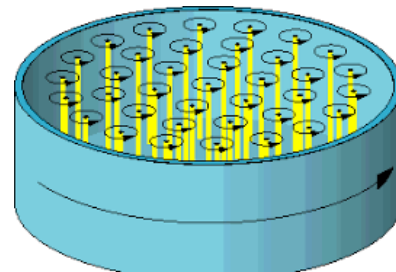
Flexoelectric effects

Solid crystals



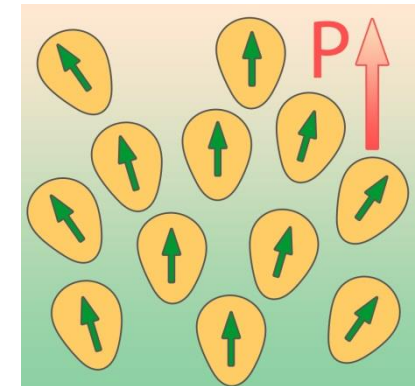
Flexoelectricity

Superfluid He



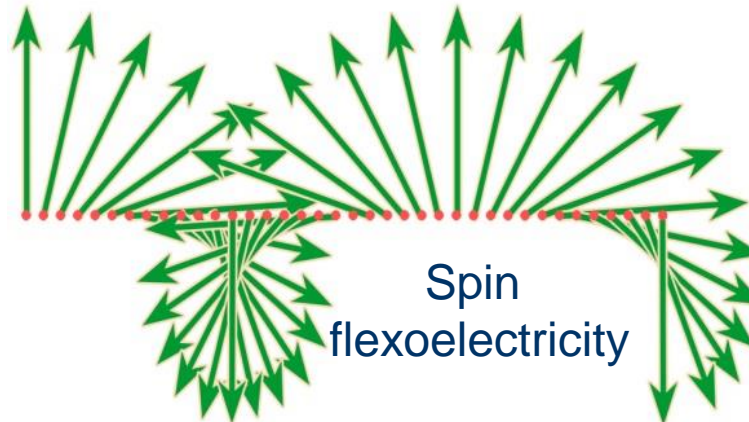
G.E. Volovik,
JETP Lett, **39**, 200 (1984)

Liquid crystals



Yu. P. Bobylev, S. A. Pikin,
Sov. Tech. Phys. Lett.
5, 430 (1979)

Magnetic crystals



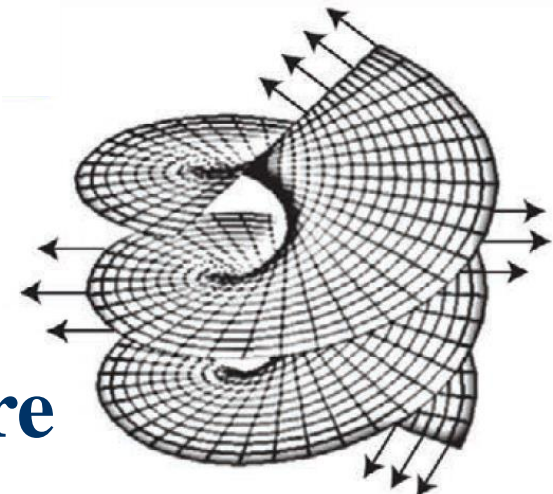
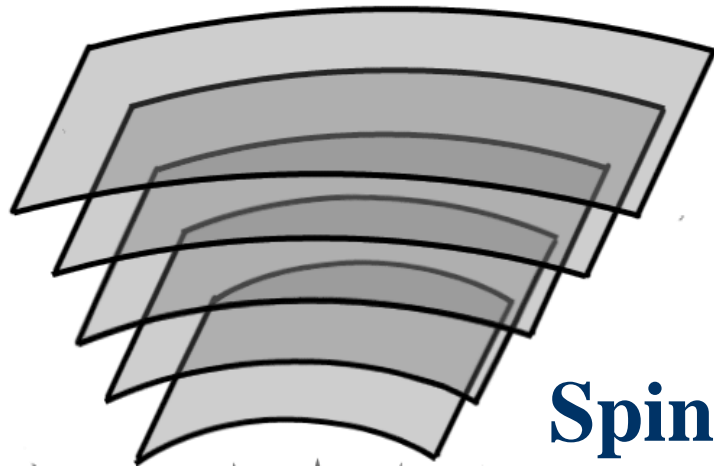
Spin
flexoelectricity

A. Sparavigna, A. Strigazzi, and A. Zvezdin Phys. Rev. B 50, 2953 (1994)

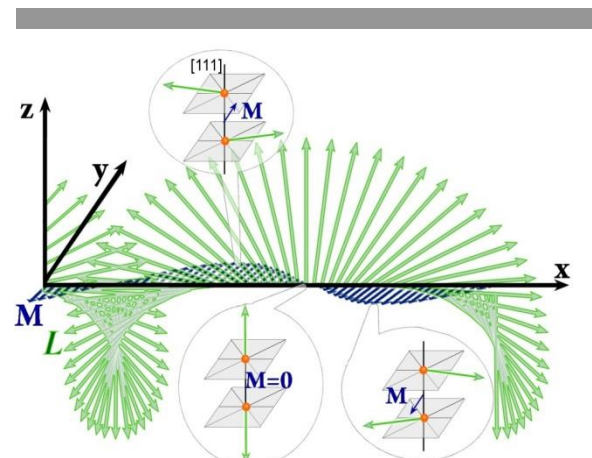


Geometry defined magnetic structures

Two types of distortion

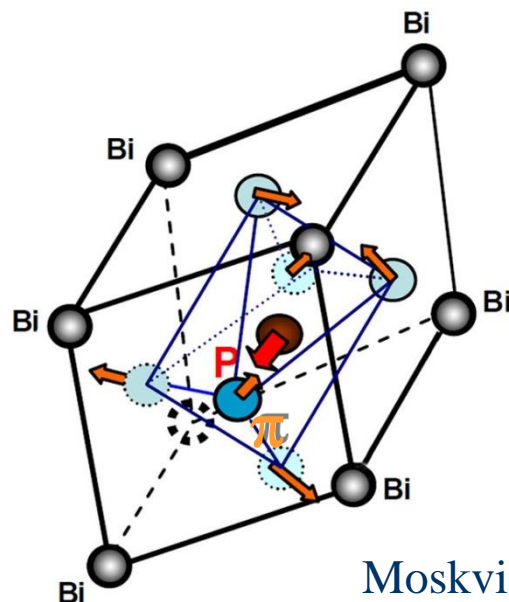


Spin structure in BiFeO_3



Structural distortions in BiFeO₃

Polar distortions P, π



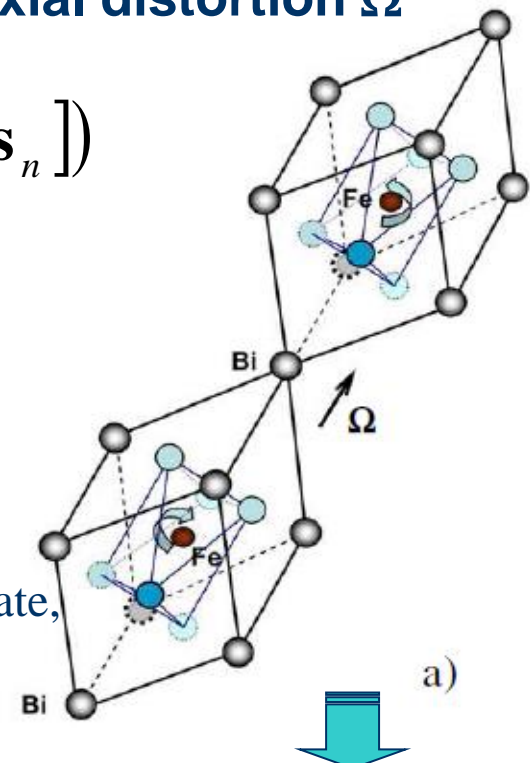
$$H = \frac{1}{2} \sum_n^{N=6} (\mathbf{D}_n \cdot [\mathbf{s}_0 \times \mathbf{s}_n])$$

$$\mathbf{D} = V_0 [\mathbf{r}_1 \times \mathbf{r}_2]$$

Phys. Rev. 126, 896 (1962)

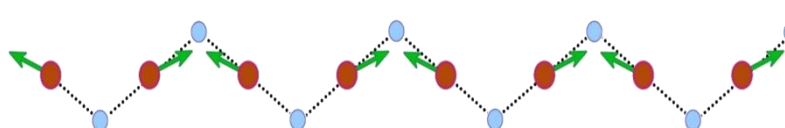
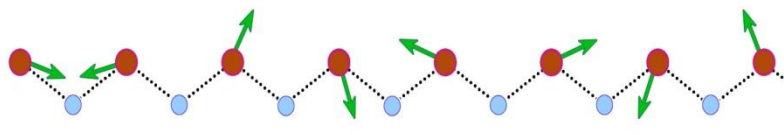
Moskovin A.S./ Physics of the Solid State,
1970,v.12,p.3208

Axial distortion Ω

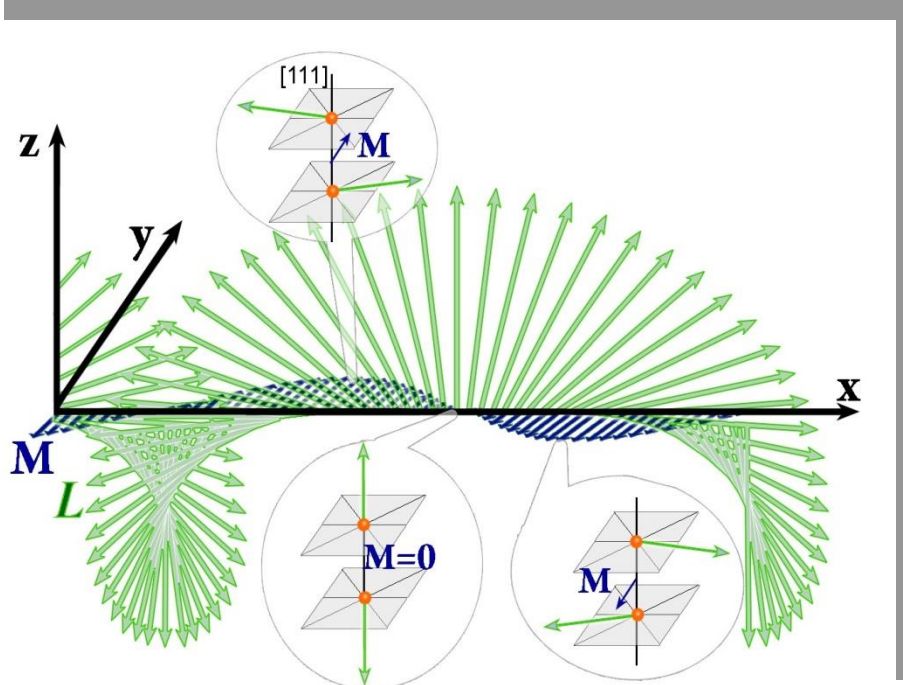


Spin cycloid ⇔ Coexistence! ⇔ Weak ferromagnetism

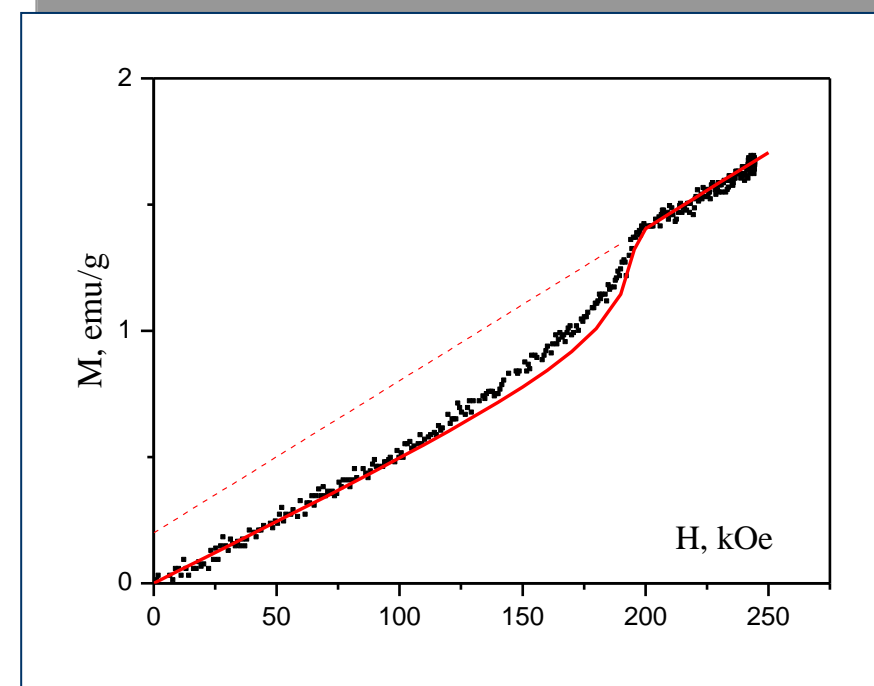
A. Zvezdin, A. Pyatakov, EPL, 99, 57003



BiFeO₃: hidden magnetization

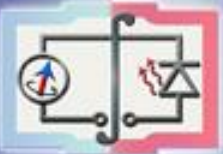


Spin canting $\sim 1^\circ$

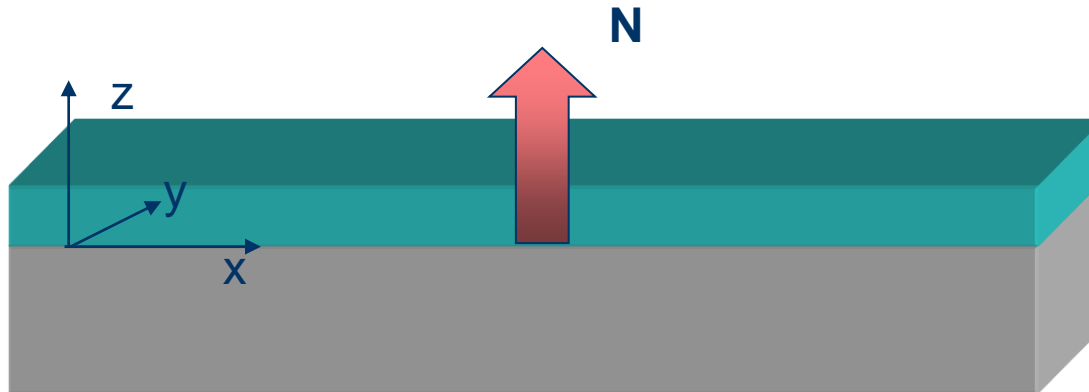


A.M. Kadomtseva et al. JETP Letters, v. 79, p. 571-581 (2004)

Masashi Tokunaga et al, J. Phys. Soc. Japan, **79**, 064713 (2010)



Surface flexomagnetoelectric effect



$$F_{Flexo} = -\gamma \mathbf{N} \cdot \left[\mathbf{n} (\nabla \mathbf{n}) - (\mathbf{n} \cdot \nabla) \mathbf{n} \right]$$

\mathbf{n} – order parameter

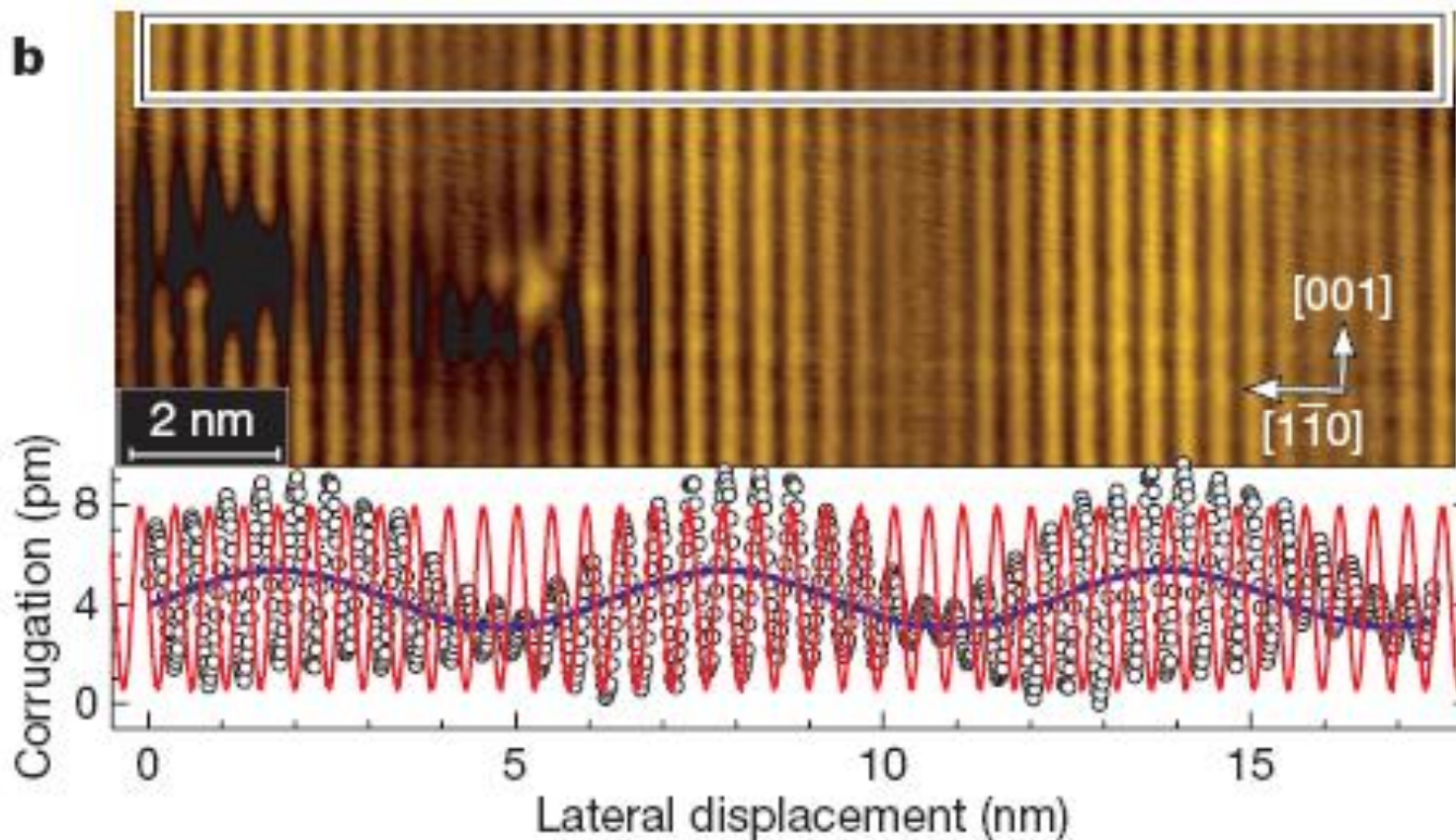
Cycloidal structure: $K \ll Aq^2$ $\mathbf{n} = (\sin [2\pi/\lambda x], 0, \cos[2\pi/\lambda x])$

$\lambda = 4\pi A/\gamma$, where A is (exchange) stiffness



Chiral M-ordering in monolayers

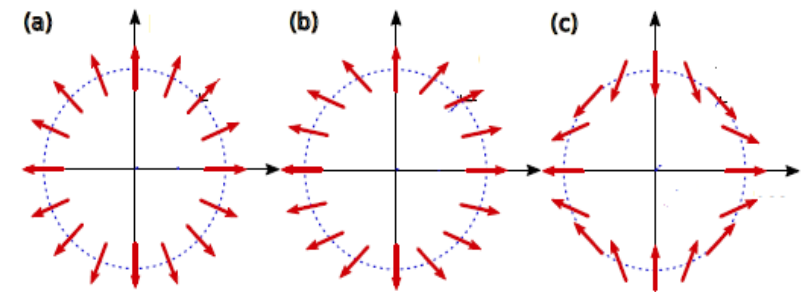
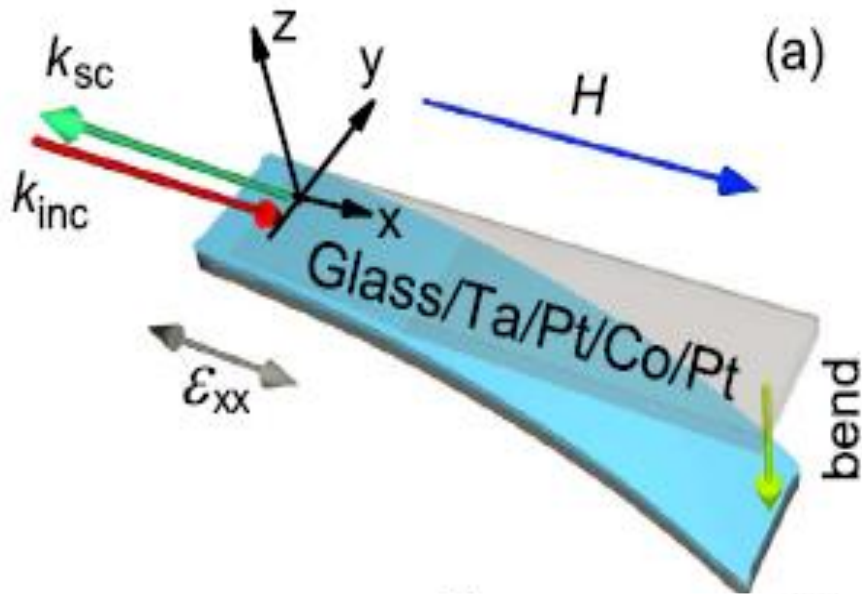
b



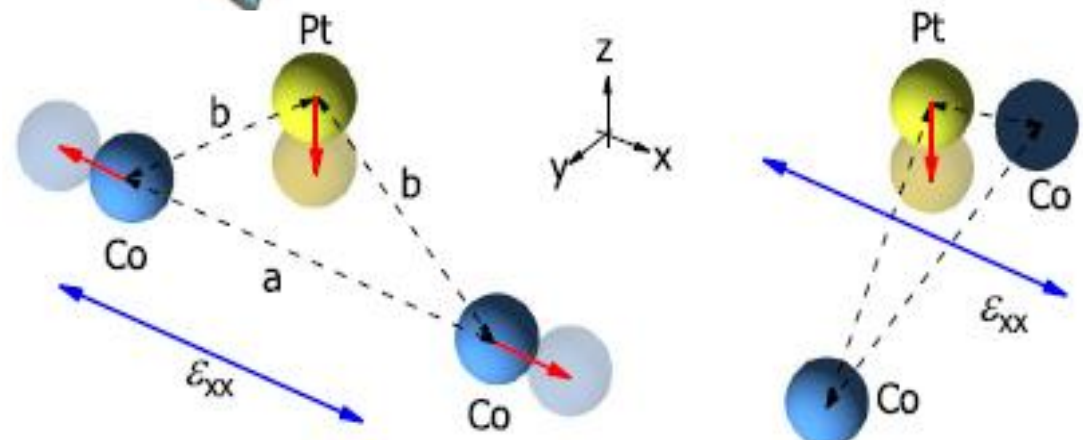
1 ML Mn/W(110) M. Bode, M. Heide, K.von Bergman et al, Nature, 447, 190 (2007)

2 ML Fe/W(110) M. Heide, G. Bihlmayer, and S. Blügel, Phys. Rev. B 78, 140403(R) (2008)

Анизотропия, наведенная растяжением

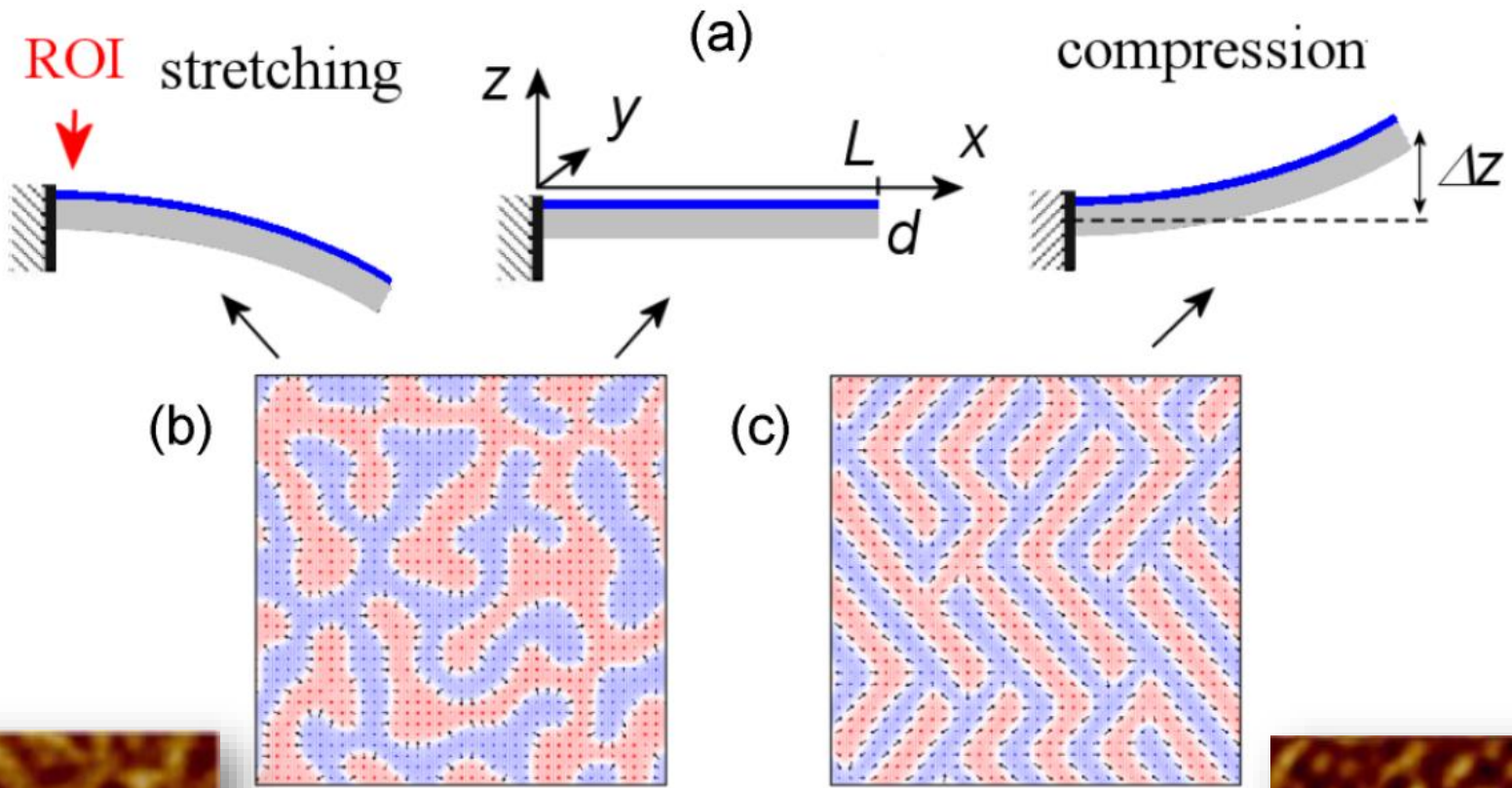


L. Camosi et al,
Phys. Rev. B 95, 214422 (2017)

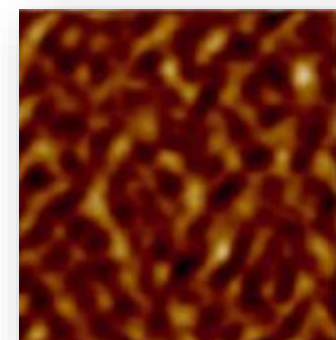
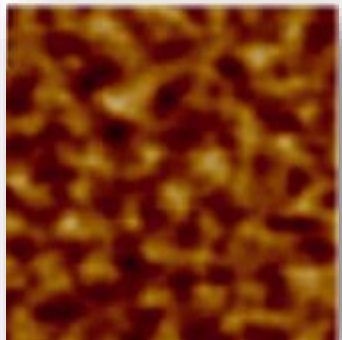


N.S. Gusev et al, PRL, 124, 157202 (2020)

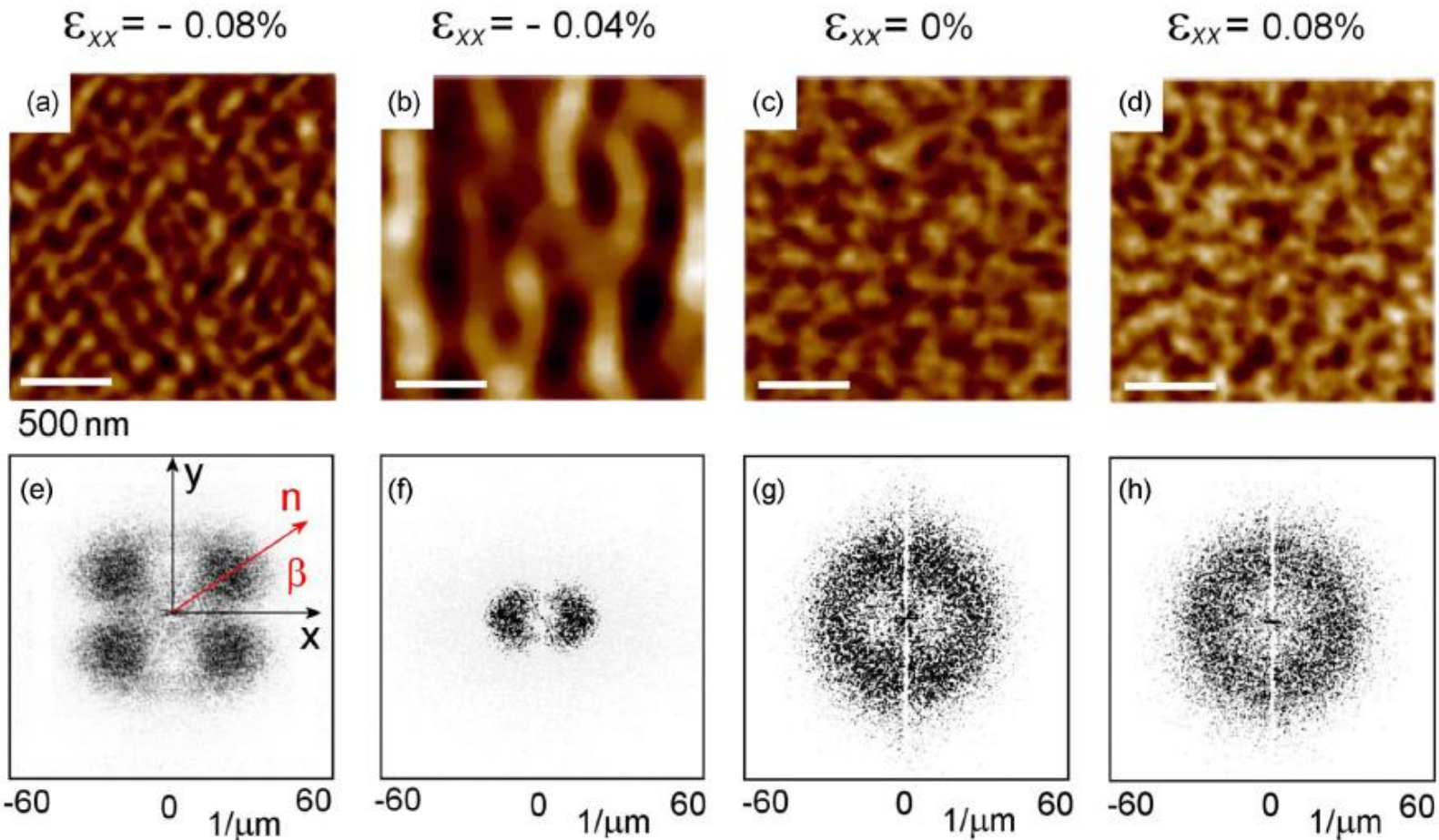
Изменение доменной структуры при изгибе



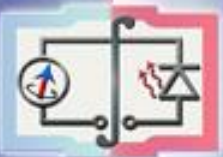
M. V. Sapozhnikov, et al,
Zigzag domains caused by strain-induced
anisotropy of the Dzyaloshinskii-Moriya
interaction, Phys. Rev. B 105, 024405



Изменение доменной структуры при изгибе

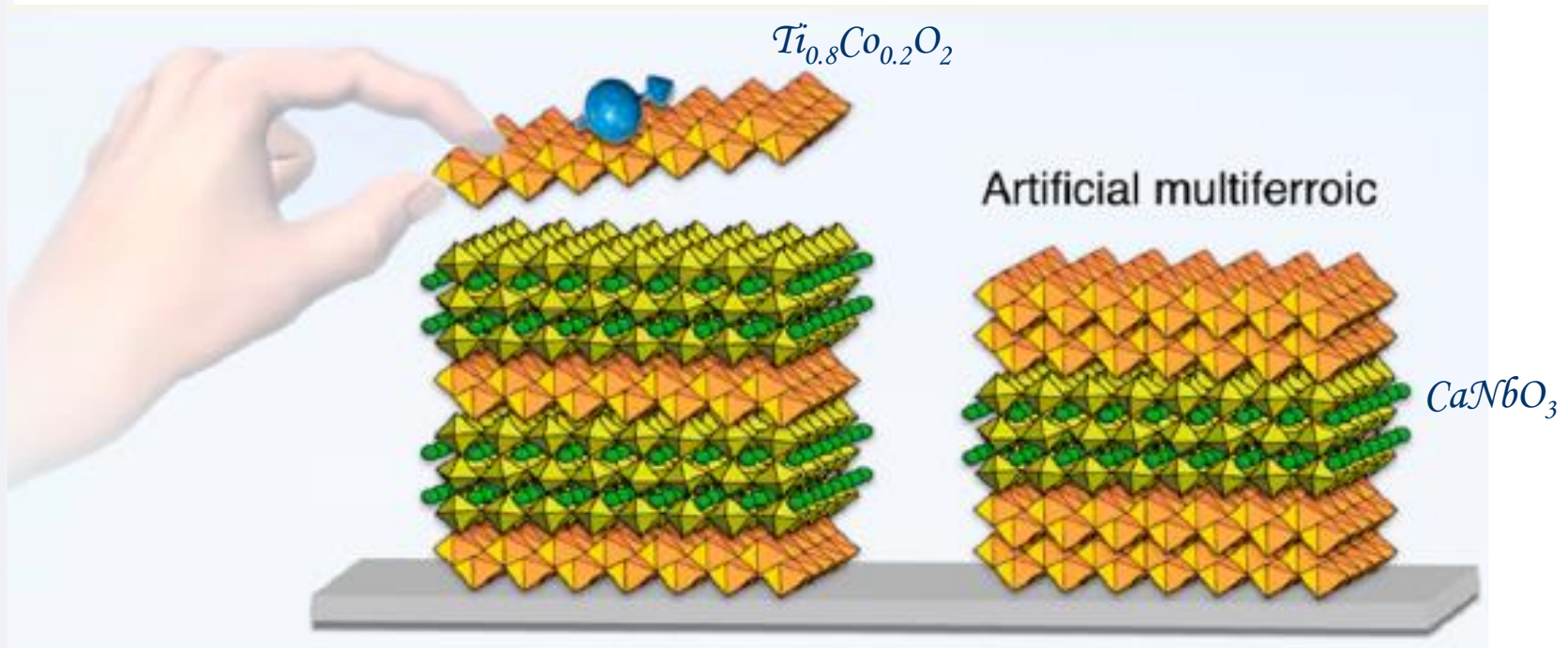


M. V. Sapozhnikov, et al, Phys. Rev. B 105, 024405



Сверхрешетки

«Магнитоэлектрический конструктор»

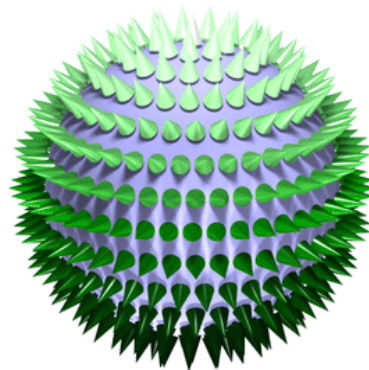


B.-W. Li, M. Osada, Y. Ebina et al,
Coexistence of Magnetic Order and Ferroelectricity at 2D Nanosheet Interfaces
J. Am. Chem. Soc. 138, 7621 (2016)

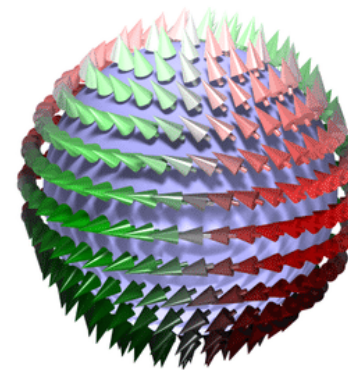


Скирмион и антискирмион

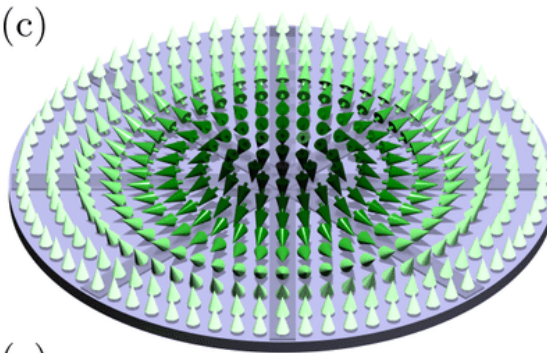
(a)



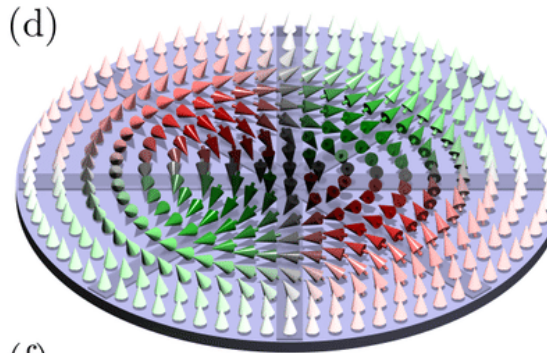
(b)



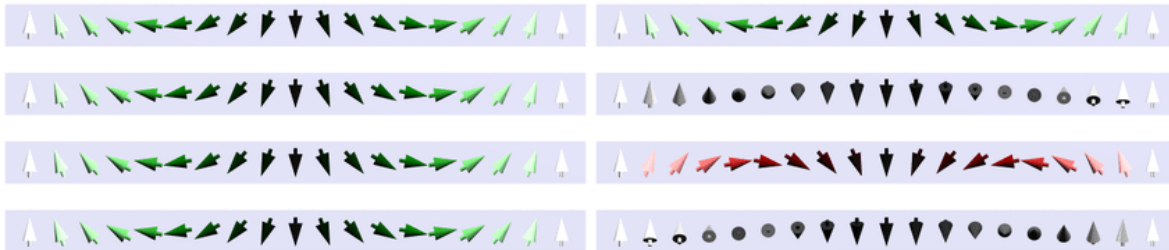
(c)



(d)



(e)



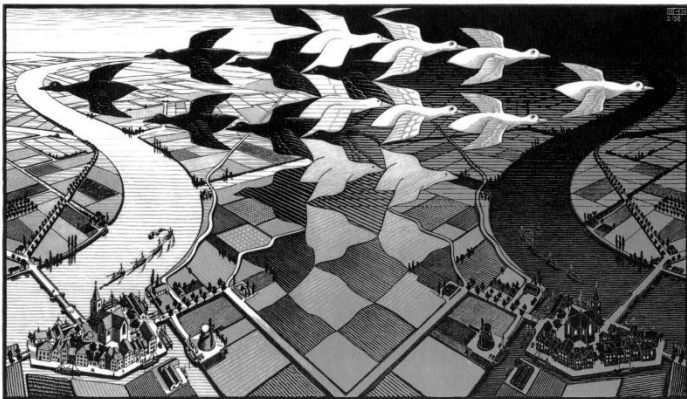
(f)

Hoffmann, M et al. *Nat Commun* 8, 308 (2017).

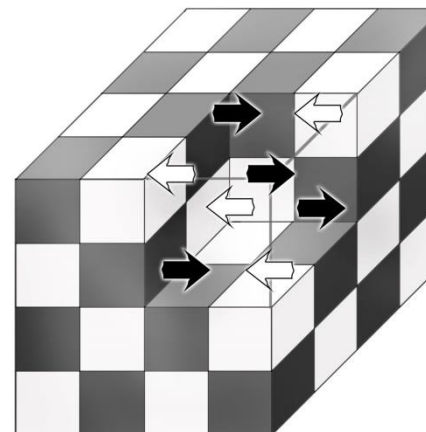


Магнитоэлектрическая взаимосвязь

Симметрия: Р- и Т-нечетные среды

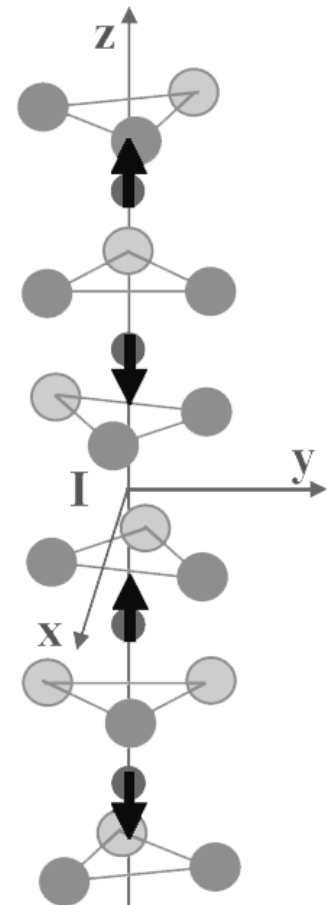


Морис Эшер «День и ночь» 1938



$$\mathbf{L} = \mathbf{S}_1 - \mathbf{S}_2$$

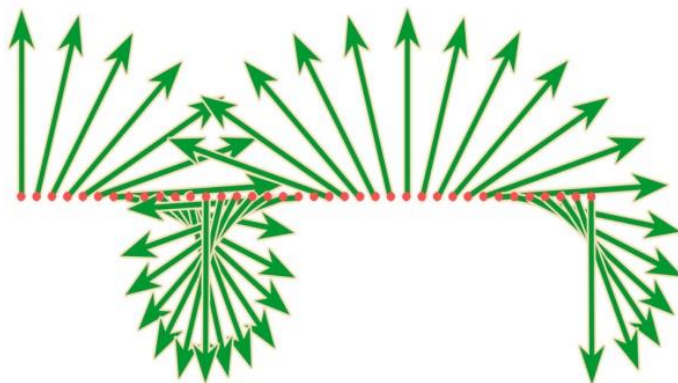
$$M_i L_j P_k$$



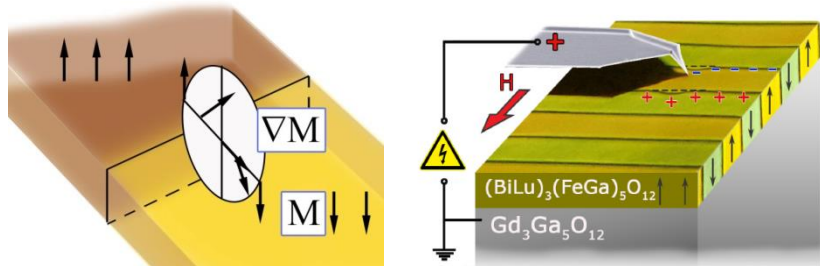


Spin flexoelectricity vs flexomagnetism

Flexomagnetoelectric



Term “flexomagnetoelectric”:
A.K. Zvezdin, A.P. Pyatakov,
Phys. Status Solidi B **246**, 1956 (2009)

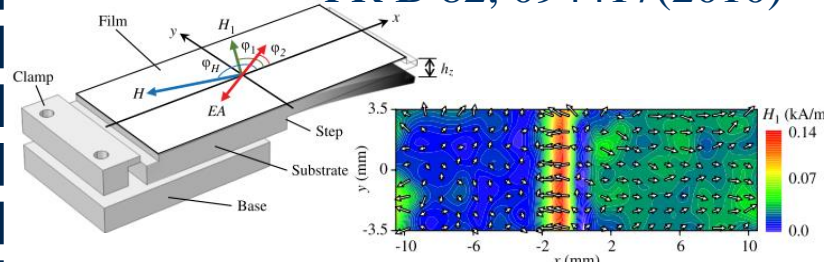


Experiment: A.S. Logginov et al,
JETP Lett. V.86, n.2, p.115 (2007)

Flexomagnetic



Anal. theory: E.A. Eliseev et al,
Phys. Rev. B 79, 165433 (2009)
Ab initio: P. Lukashev, R. Sabirianov,
PR B 82, 094417(2010)

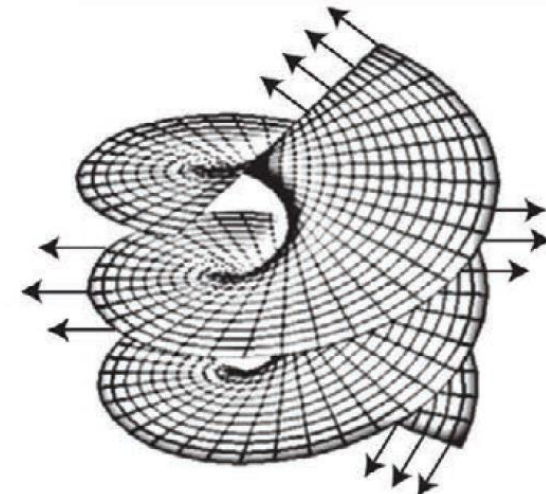
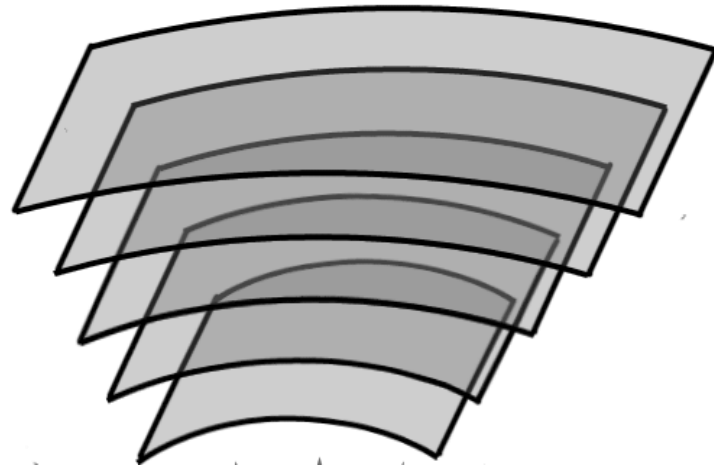


Experiment:
B. Belyaev et al, Phys. Status Solidi,\
RRL 2019, 1900467

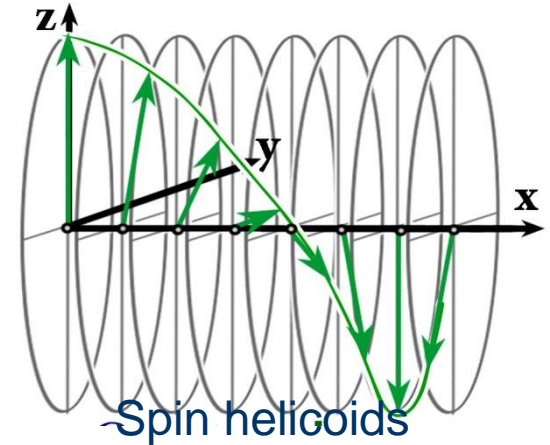
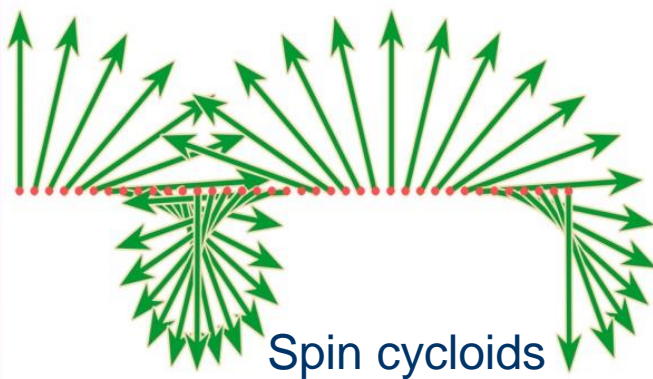


Geometry defined magnetic structures

Two types of distortion



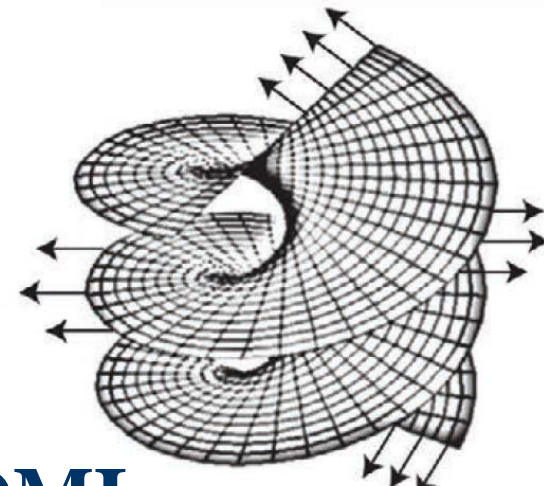
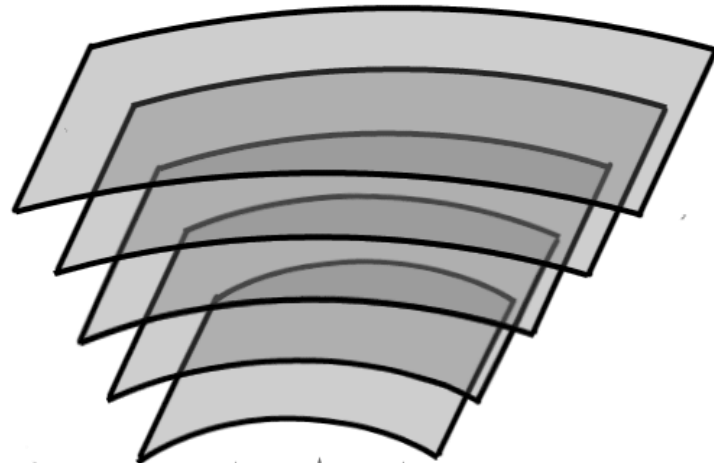
Two types of spin structures





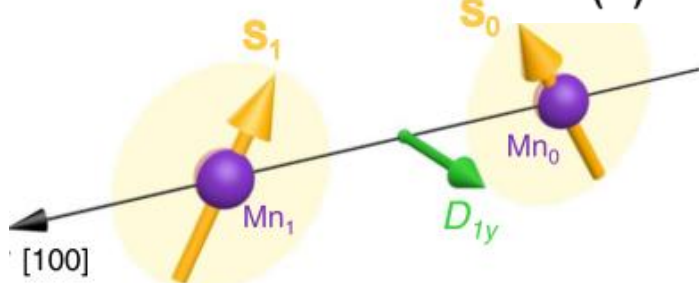
Geometry defined magnetic structures

Two types of distortion

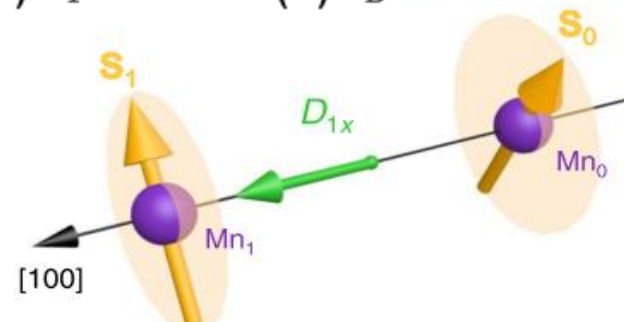


Two types of DMI

$$\mathbf{D}^E(s) = -2A\tau(s)\mathbf{e}_T - 2A\kappa(s)\mathbf{e}_B -$$



cycloid interaction

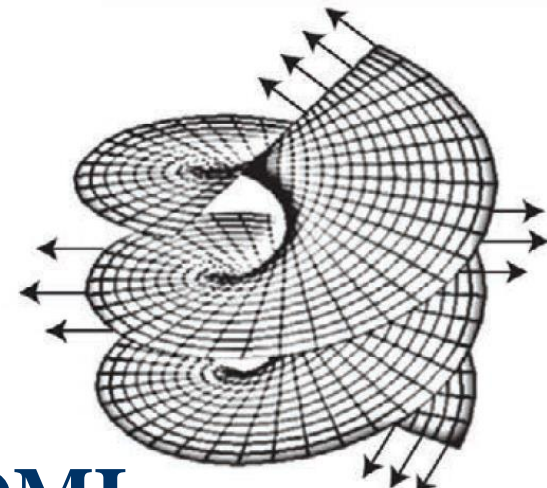
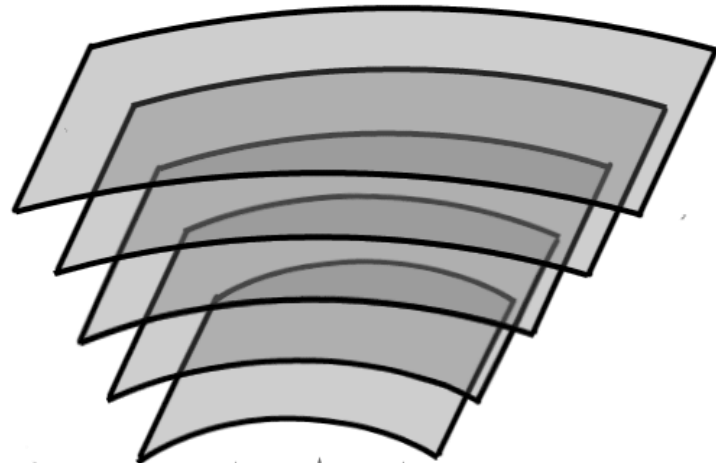


helicoid interaction



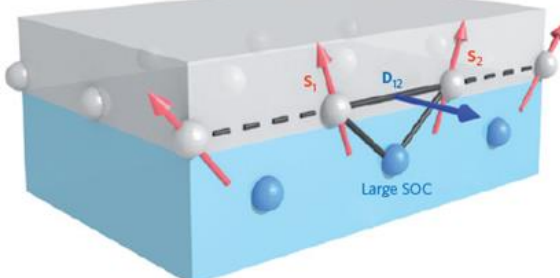
Geometry defined magnetic structures

Two types of distortion

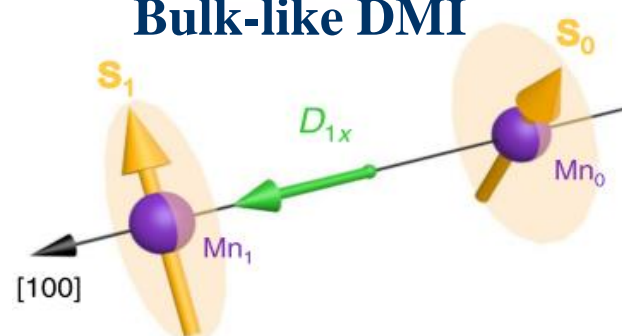


Two types of DMI

Interface-induced DMI



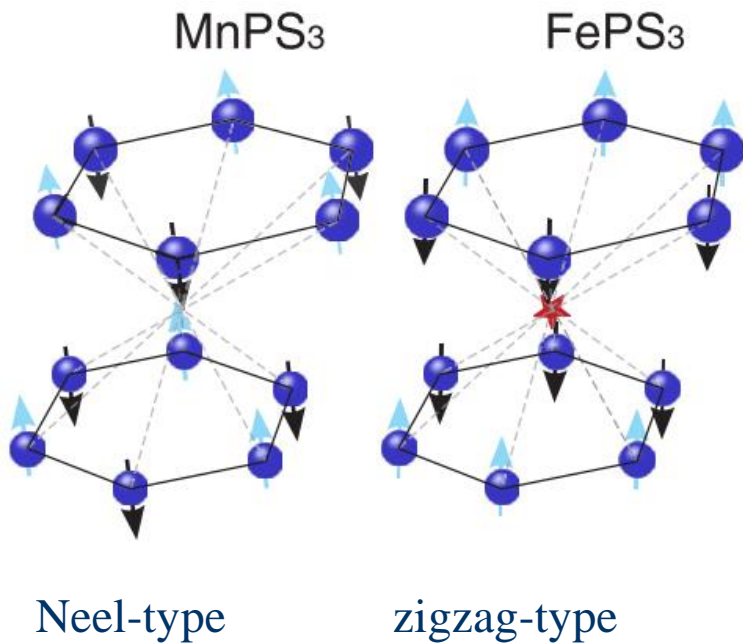
Bulk-like DMI





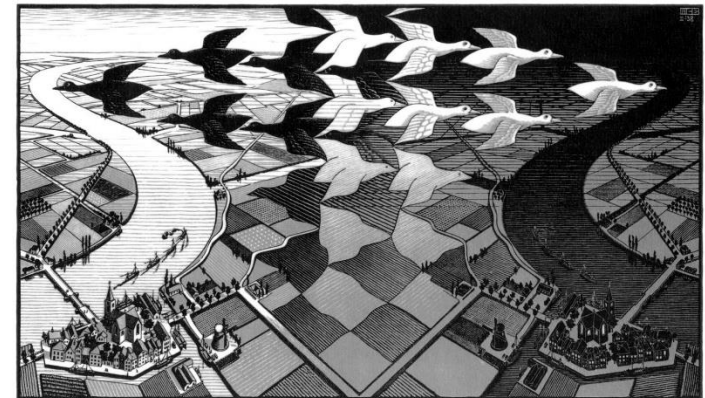
Antiferromagnetic order and ME effect

AFM ordering in 2D materials



PRL, 124, 027601 (2020)

AFM bridges the gap between E and M



Maurits C. Escher «Day and night» 1938

$$\mathbf{L} = \mathbf{S}_1 - \mathbf{S}_2$$

$$M_i L_j P_k$$